

Table E-33. **Above-lap position (Configuration 1). Base mode at 2.462 GHz.** The SARs measured for the 3Com Model SL-3040 Cardbus Card inserted into HP Pavillion host computer.

$$\text{1-g SAR} = 0.749 \text{ W/kg}$$

a. At depth of 1 mm

1.009	1.082	1.091	1.080	1.043
1.122	1.173	1.168	1.167	1.093
1.172	1.198	1.226	1.208	1.132
1.161	1.226	1.244	1.220	1.150
1.114	1.154	1.197	1.161	1.115

b. At depth of 3 mm

0.818	0.867	0.873	0.858	0.831
0.896	0.935	0.930	0.922	0.867
0.934	0.959	0.972	0.953	0.897
0.925	0.973	0.984	0.962	0.911
0.890	0.921	0.949	0.925	0.881

c. At depth of 5 mm

0.653	0.683	0.687	0.669	0.650
0.704	0.732	0.727	0.714	0.676
0.732	0.755	0.756	0.737	0.698
0.724	0.758	0.765	0.744	0.709
0.699	0.722	0.739	0.724	0.683

d. At depth of 7 mm

0.515	0.531	0.532	0.515	0.502
0.545	0.565	0.560	0.544	0.519
0.565	0.585	0.578	0.561	0.536
0.559	0.582	0.585	0.567	0.543
0.541	0.558	0.566	0.560	0.522

e. At depth of 9 mm

0.404	0.410	0.409	0.394	0.385
0.420	0.434	0.429	0.412	0.397
0.434	0.449	0.438	0.423	0.410
0.429	0.445	0.445	0.430	0.414
0.415	0.428	0.431	0.431	0.397

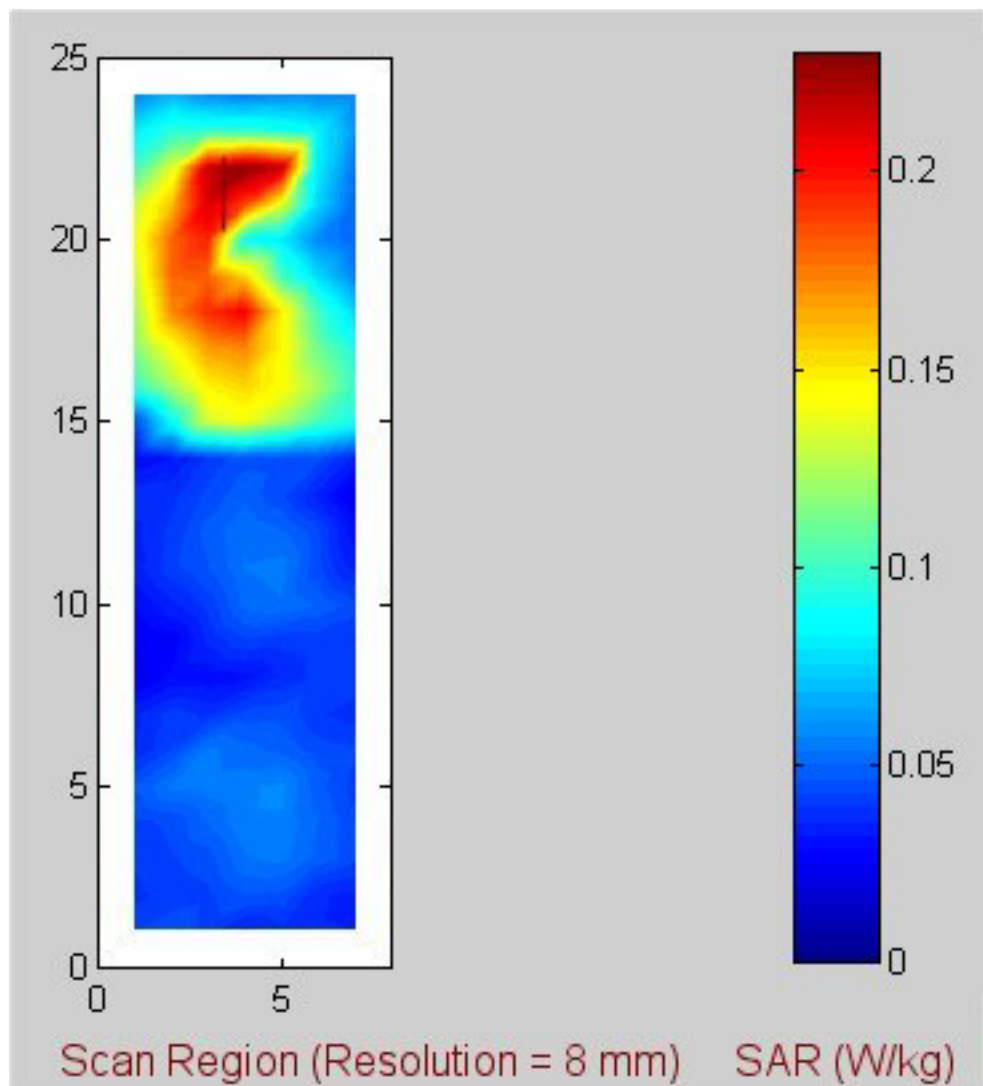


Fig. E-34. Coarse scan for the highest SAR region for the 3Com Model SL-3040 Cardbus Card inserted in HP Pavilion host computer. **802.11b band, frequency = 2.412 GHz, base mode.**

Table E-34. **Edge-on position (Configuration 2). Base mode at 2.412 GHz.** The SARs measured for the 3Com Model SL-3040 Cardbus Card inserted into HP Pavilion host computer.

$$1\text{-g SAR} = 0.196 \text{ W/kg}$$

a. At depth of 1 mm

0.282	0.300	0.276	0.257	0.231
0.299	0.293	0.308	0.275	0.243
0.325	0.294	0.272	0.296	0.252
0.312	0.300	0.263	0.293	0.304
0.255	0.260	0.277	0.269	0.289

b. At depth of 3 mm

0.232	0.244	0.228	0.211	0.190
0.247	0.239	0.247	0.227	0.209
0.259	0.244	0.234	0.245	0.212
0.249	0.243	0.225	0.239	0.246
0.208	0.214	0.228	0.223	0.242

c. At depth of 5 mm

0.190	0.197	0.186	0.172	0.155
0.202	0.193	0.196	0.187	0.179
0.204	0.201	0.200	0.201	0.178
0.196	0.194	0.190	0.194	0.197
0.168	0.175	0.186	0.184	0.202

d. At depth of 7 mm

0.156	0.158	0.151	0.139	0.126
0.165	0.155	0.154	0.153	0.152
0.160	0.164	0.169	0.164	0.148
0.152	0.155	0.158	0.156	0.158
0.135	0.142	0.151	0.151	0.168

e. At depth of 9 mm

0.128	0.127	0.122	0.112	0.103
0.134	0.126	0.121	0.126	0.128
0.125	0.135	0.142	0.134	0.124
0.118	0.125	0.131	0.127	0.127
0.109	0.115	0.123	0.126	0.141

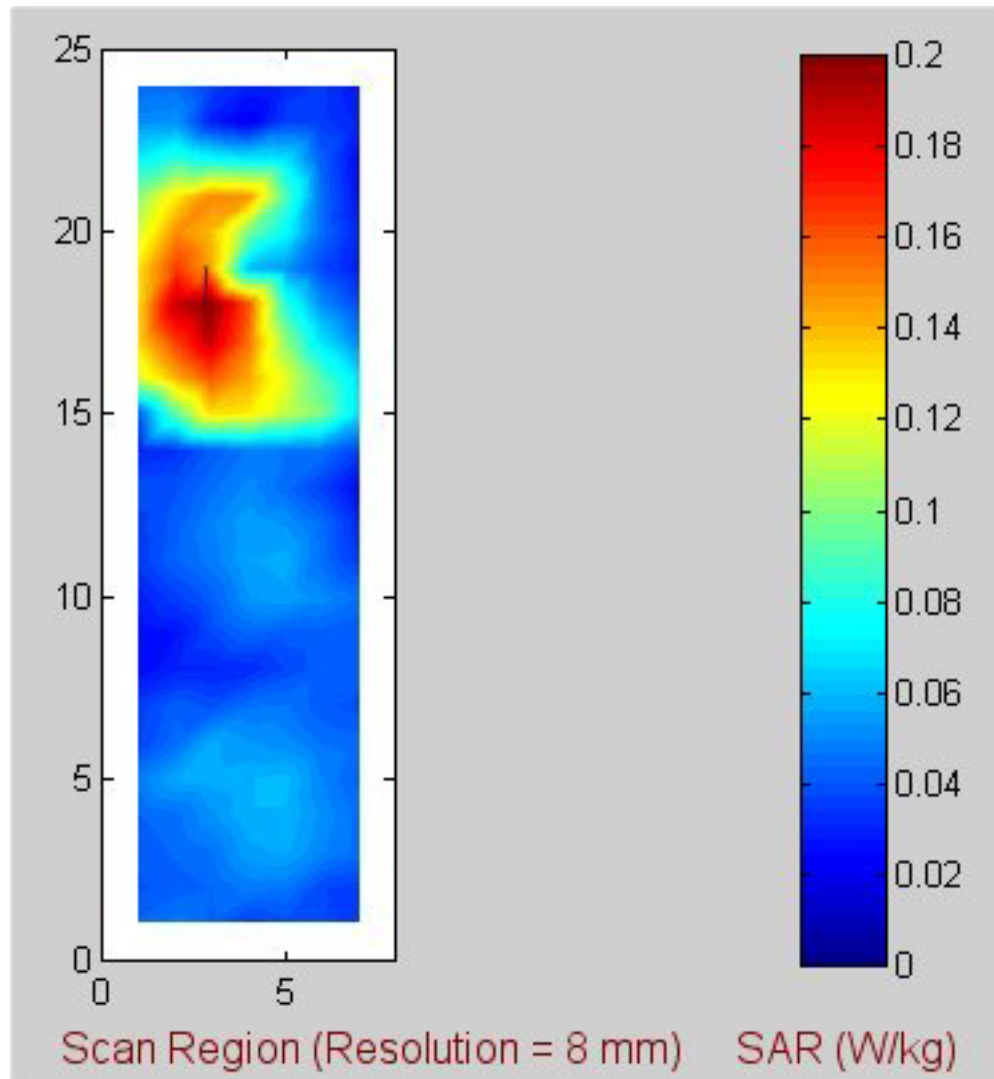


Fig. E-35. Coarse scan for the highest SAR region for the 3Com Model SL-3040 Cardbus Card inserted in HP Pavilion host computer. **802.11b band, frequency = 2.437 GHz, base mode.**

Table E-35. **Edge-on position (Configuration 2). Base mode at 2.437 GHz.** The SARs measured for the 3Com Model SL-3040 Cardbus Card inserted into HP Pavilion host computer.

$$\text{1-g SAR} = 0.174 \text{ W/kg}$$

a. At depth of 1 mm

0.244	0.241	0.272	0.269	0.240
0.252	0.262	0.236	0.251	0.244
0.254	0.249	0.257	0.255	0.249
0.256	0.257	0.258	0.249	0.243
0.246	0.264	0.264	0.248	0.247

b. At depth of 3 mm

0.194	0.196	0.221	0.215	0.200
0.204	0.210	0.199	0.207	0.203
0.205	0.201	0.208	0.208	0.205
0.211	0.213	0.211	0.204	0.202
0.203	0.218	0.217	0.208	0.209

c. At depth of 5 mm

0.151	0.157	0.177	0.169	0.164
0.162	0.165	0.165	0.168	0.167
0.163	0.160	0.167	0.169	0.167
0.172	0.174	0.170	0.166	0.167
0.166	0.178	0.177	0.174	0.175

d. At depth of 7 mm

0.116	0.124	0.140	0.132	0.134
0.128	0.128	0.135	0.135	0.136
0.128	0.127	0.133	0.137	0.135
0.139	0.142	0.135	0.135	0.136
0.136	0.146	0.144	0.146	0.147

e. At depth of 9 mm

0.088	0.098	0.108	0.104	0.109
0.100	0.099	0.109	0.108	0.110
0.099	0.100	0.106	0.111	0.109
0.113	0.115	0.107	0.110	0.111
0.112	0.120	0.118	0.123	0.124

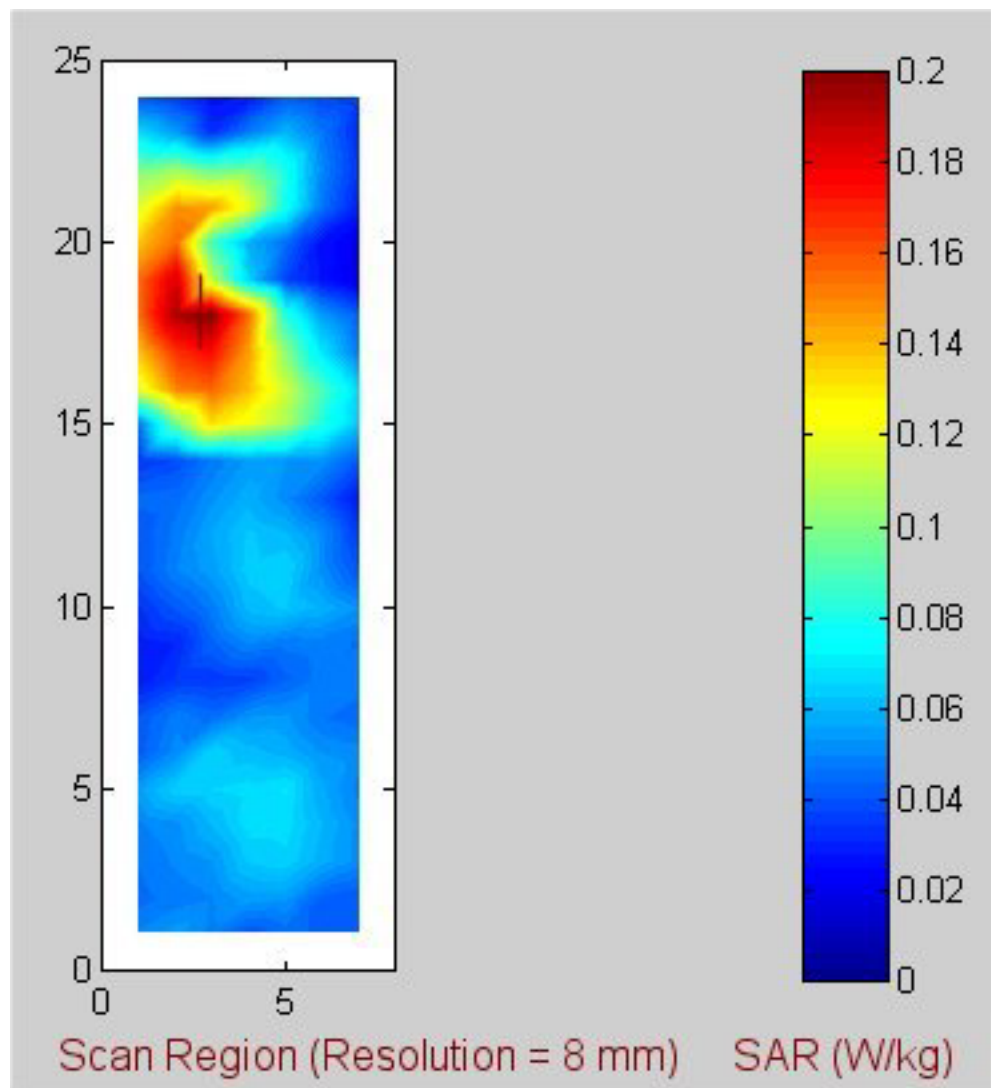


Fig. E-36. Coarse scan for the highest SAR region for the 3Com Model SL-3040 Cardbus Card inserted in HP Pavilion host computer. **802.11b band, frequency = 2.462 GHz, base mode.**

Table E-36. **Edge-on position (Configuration 2). Base mode at 2.462 GHz.** The SARs measured for the 3Com Model SL-3040 Cardbus Card inserted into HP Pavilion host computer.

$$1\text{-g SAR} = 0.179 \text{ W/kg}$$

a. At depth of 1 mm

0.247	0.264	0.279	0.270	0.260
0.262	0.275	0.270	0.247	0.263
0.249	0.252	0.258	0.266	0.248
0.262	0.274	0.254	0.249	0.235
0.254	0.254	0.272	0.267	0.253

b. At depth of 3 mm

0.199	0.213	0.226	0.220	0.215
0.215	0.223	0.219	0.206	0.214
0.202	0.207	0.214	0.216	0.205
0.214	0.224	0.210	0.204	0.196
0.210	0.211	0.220	0.222	0.211

c. At depth of 5 mm

0.158	0.170	0.180	0.177	0.175
0.173	0.178	0.175	0.170	0.173
0.162	0.168	0.175	0.174	0.168
0.173	0.181	0.172	0.165	0.163
0.173	0.174	0.177	0.183	0.175

d. At depth of 7 mm

0.124	0.134	0.142	0.140	0.142
0.138	0.140	0.138	0.139	0.138
0.129	0.135	0.142	0.139	0.136
0.140	0.145	0.140	0.133	0.135
0.141	0.143	0.142	0.151	0.146

e. At depth of 9 mm

0.096	0.106	0.111	0.111	0.115
0.110	0.109	0.108	0.113	0.110
0.102	0.108	0.115	0.112	0.110
0.114	0.115	0.113	0.107	0.113
0.116	0.118	0.115	0.126	0.122

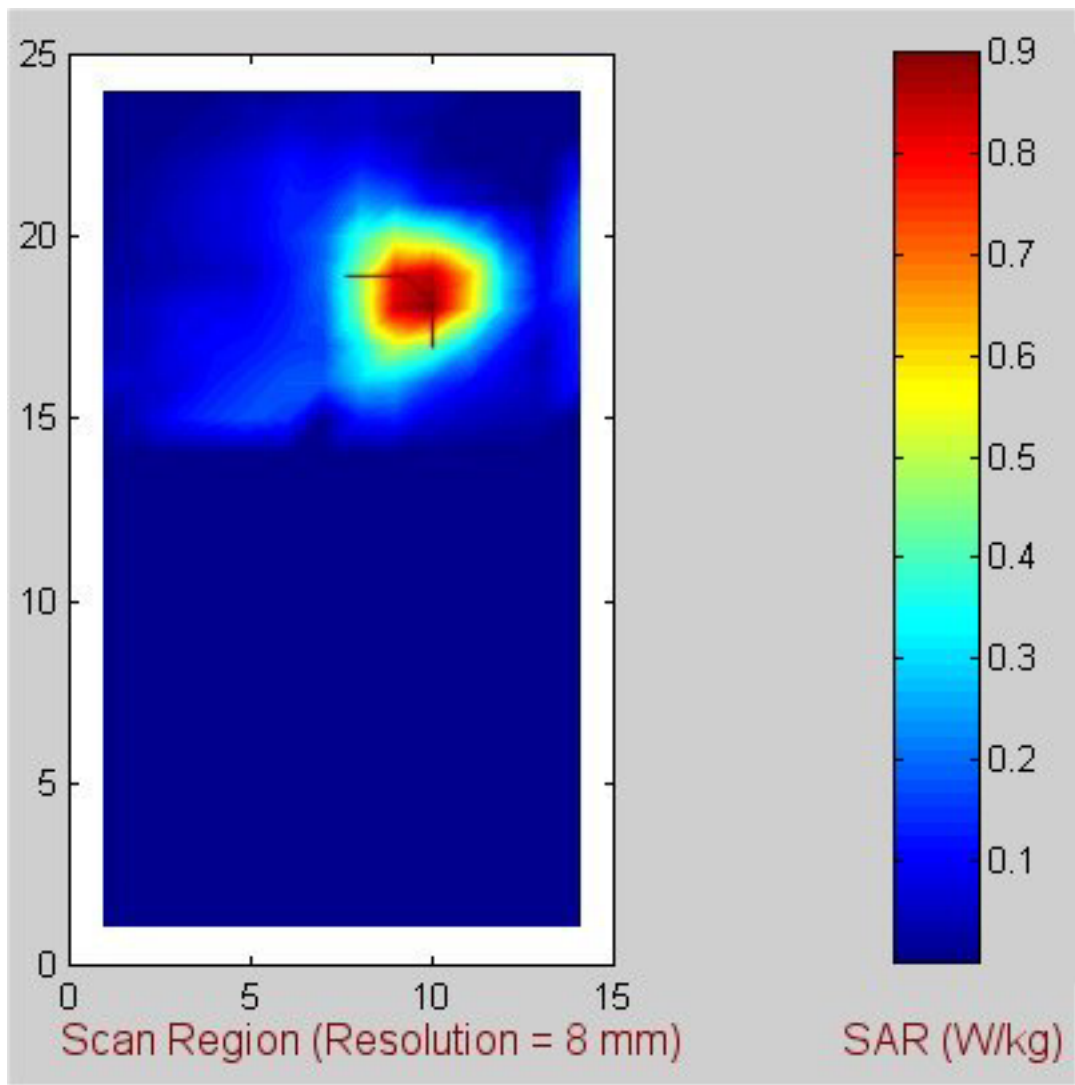


Fig. E-37. Coarse scan for the highest SAR region for the 3Com Model SL-3040 Cardbus Card inserted in HP Pavilion host computer. **802.11g band, frequency = 2.412 GHz, base mode.**

Table E-37. **Above-lap position (Configuration 1). Base mode at 2.412 GHz.** The SARs measured for the 3Com Model SL-3040 Cardbus Card inserted into HP Pavillion host computer.

$$\text{1-g SAR} = 0.763 \text{ W/kg}$$

a. At depth of 1 mm

1.132	1.199	1.231	1.233	1.182
1.159	1.226	1.251	1.260	1.217
1.137	1.204	1.234	1.237	1.189
1.035	1.109	1.165	1.171	1.099
0.928	0.999	1.032	1.058	1.036

b. At depth of 3 mm

0.915	0.968	0.985	0.980	0.942
0.931	0.983	1.005	1.002	0.970
0.917	0.967	0.990	0.983	0.951
0.836	0.895	0.931	0.934	0.884
0.760	0.811	0.837	0.856	0.833

c. At depth of 5 mm

0.729	0.770	0.775	0.765	0.739
0.736	0.776	0.795	0.783	0.760
0.728	0.765	0.781	0.768	0.748
0.666	0.713	0.733	0.732	0.700
0.615	0.651	0.669	0.683	0.659

d. At depth of 7 mm

0.574	0.604	0.602	0.590	0.571
0.575	0.605	0.620	0.603	0.588
0.572	0.597	0.607	0.593	0.581
0.525	0.561	0.569	0.567	0.549
0.494	0.517	0.531	0.541	0.516

e. At depth of 9 mm

0.450	0.472	0.465	0.453	0.439
0.447	0.470	0.482	0.462	0.453
0.447	0.465	0.470	0.456	0.450
0.413	0.440	0.441	0.438	0.430
0.397	0.412	0.422	0.428	0.402

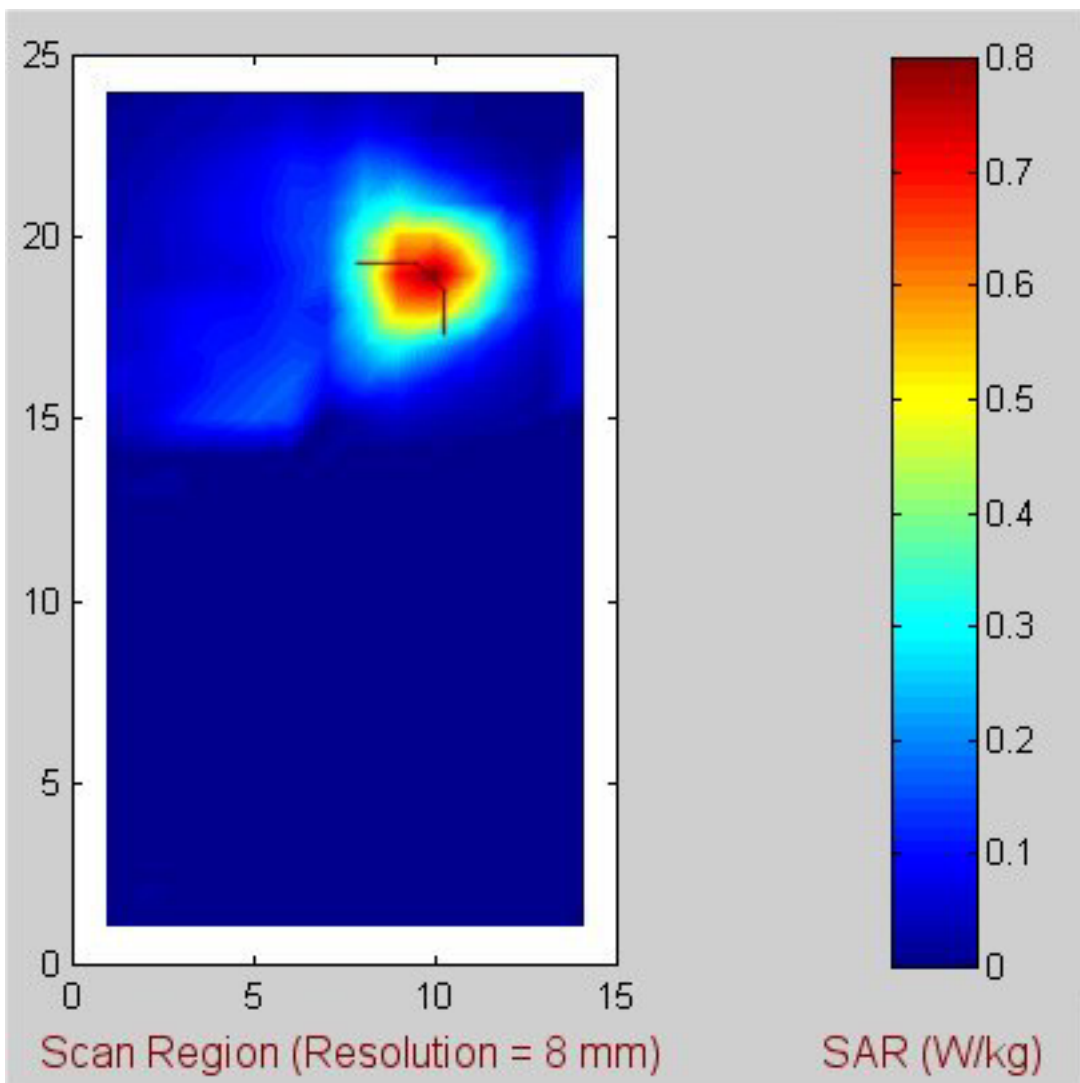


Fig. E-38. Coarse scan for the highest SAR region for the 3Com Model SL-3040 Cardbus Card inserted in HP Pavillion host computer. **802.11g band, frequency = 2.437 GHz, base mode.**

Table E-38. **Above-lap position (Configuration 1). Base mode at 2.437 GHz.** The SARs measured for the 3Com Model SL-3040 Cardbus Card inserted into HP Pavilion host computer.

$$1\text{-g SAR} = 0.719 \text{ W/kg}$$

a. At depth of 1 mm

0.968	1.006	1.065	1.057	1.022
1.038	1.126	1.154	1.150	1.090
1.076	1.158	1.159	1.164	1.113
1.083	1.154	1.168	1.168	1.102
0.993	1.071	1.106	1.116	1.063

b. At depth of 3 mm

0.788	0.817	0.853	0.846	0.814
0.834	0.897	0.915	0.913	0.870
0.867	0.921	0.922	0.924	0.885
0.864	0.917	0.929	0.922	0.878
0.802	0.861	0.883	0.884	0.846

c. At depth of 5 mm

0.632	0.654	0.672	0.666	0.637
0.660	0.702	0.712	0.712	0.683
0.687	0.719	0.720	0.720	0.691
0.677	0.715	0.725	0.714	0.687
0.638	0.682	0.694	0.688	0.663

d. At depth of 7 mm

0.501	0.518	0.522	0.516	0.492
0.516	0.541	0.546	0.547	0.529
0.538	0.554	0.555	0.553	0.531
0.524	0.549	0.557	0.544	0.531
0.502	0.533	0.538	0.529	0.513

e. At depth of 9 mm

0.395	0.408	0.403	0.398	0.378
0.401	0.415	0.416	0.418	0.407
0.419	0.424	0.425	0.423	0.407
0.405	0.420	0.425	0.413	0.408
0.394	0.416	0.415	0.406	0.397

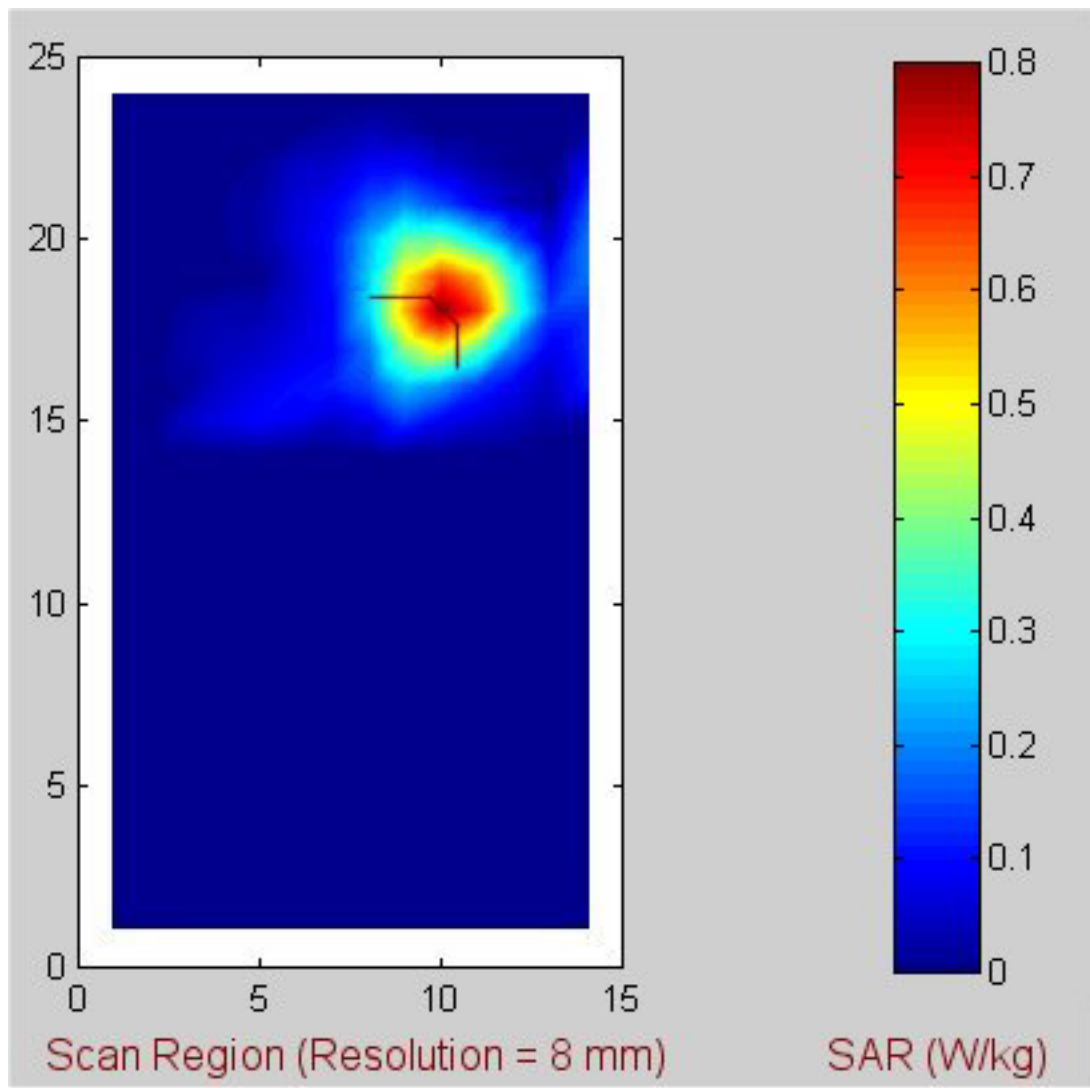


Fig. E-39. Coarse scan for the highest SAR region for the 3Com Model SL-3040 Cardbus Card inserted in HP Pavilion host computer. **802.11g band, frequency = 2.462 GHz, base mode.**

Table E-39. **Above-lap position (Configuration 1). Base mode at 2.462 GHz.** The SARs measured for the 3Com Model SL-3040 Cardbus Card inserted into HP Pavilion host computer.

$$1\text{-g SAR} = 0.690 \text{ W/kg}$$

a. At depth of 1 mm

0.970	0.997	1.046	1.045	1.034
1.027	1.071	1.105	1.107	1.073
1.050	1.096	1.140	1.139	1.098
1.010	1.069	1.113	1.100	1.068
0.942	1.001	1.078	1.049	1.029

b. At depth of 3 mm

0.778	0.802	0.835	0.836	0.820
0.820	0.855	0.878	0.878	0.849
0.837	0.874	0.905	0.895	0.868
0.808	0.852	0.883	0.870	0.845
0.753	0.800	0.853	0.836	0.818

c. At depth of 5 mm

0.614	0.634	0.655	0.657	0.638
0.644	0.670	0.686	0.683	0.659
0.655	0.684	0.705	0.690	0.673
0.636	0.667	0.687	0.675	0.657
0.591	0.630	0.662	0.656	0.638

d. At depth of 7 mm

0.478	0.495	0.506	0.508	0.488
0.499	0.518	0.526	0.523	0.502
0.506	0.527	0.539	0.522	0.513
0.492	0.515	0.526	0.515	0.502
0.459	0.489	0.506	0.508	0.489

e. At depth of 9 mm

0.369	0.383	0.389	0.390	0.370
0.384	0.397	0.401	0.396	0.379
0.388	0.402	0.409	0.394	0.388
0.378	0.395	0.398	0.390	0.381
0.354	0.378	0.385	0.392	0.372

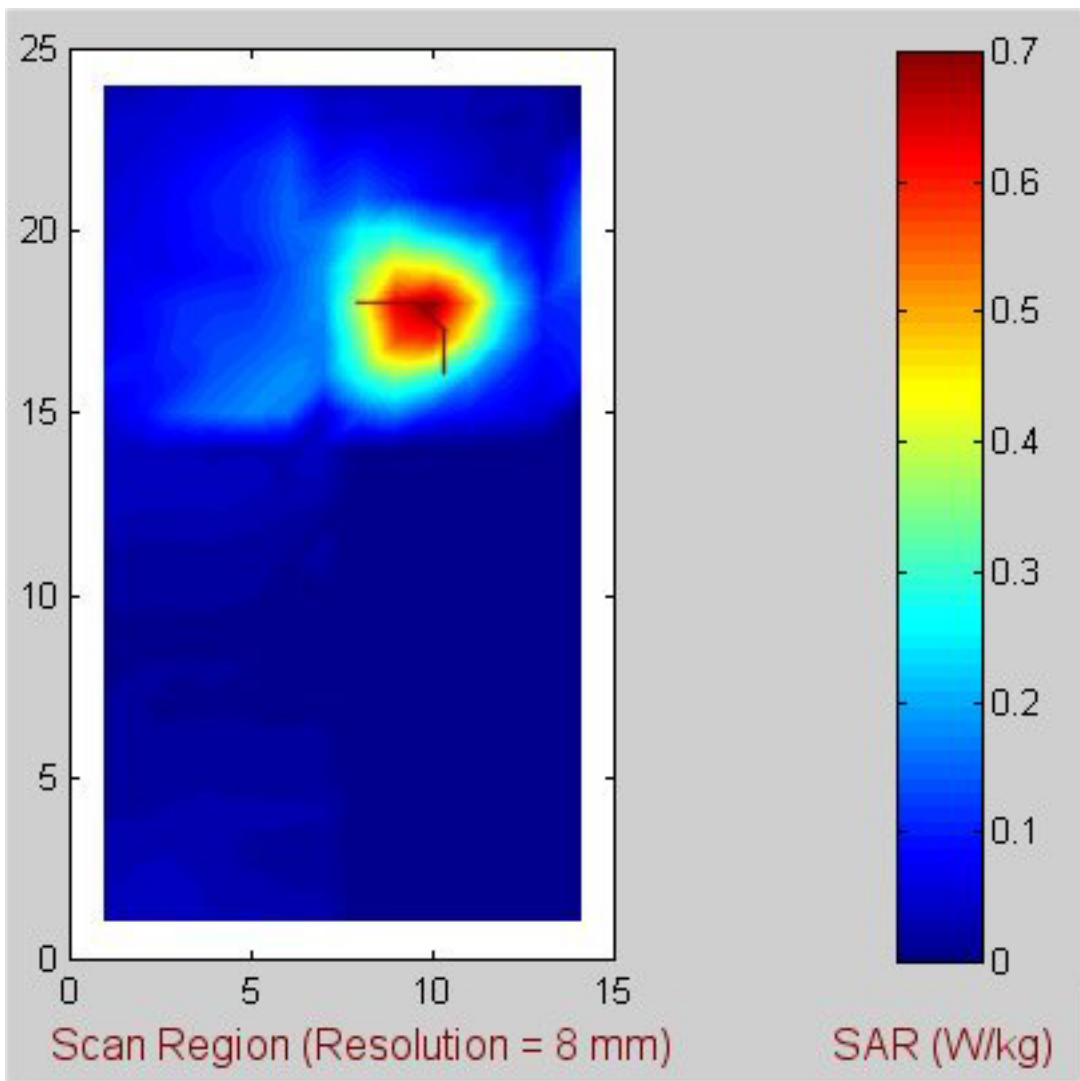


Fig. E-40. Coarse scan for the highest SAR region for the 3Com Model SL-3040 Cardbus Card inserted in HP Pavilion host computer. **802.11g band, frequency = 2.437 GHz, turbo mode.**

Table E-40. **Above-lap position (Configuration 1). Turbo mode at 2.437 GHz.** The SARs measured for the 3Com Model SL-3040 Cardbus Card inserted into HP Pavillion host computer.

$$\text{1-g SAR} = 0.620 \text{ W/kg}$$

a. At depth of 1 mm

0.843	0.853	0.891	0.966	0.879
0.931	1.002	1.025	0.980	0.981
0.865	1.003	1.069	0.977	1.043
0.768	0.994	0.958	0.945	0.966
0.829	0.818	0.893	0.882	0.903

b. At depth of 3 mm

0.683	0.698	0.737	0.780	0.708
0.757	0.802	0.821	0.781	0.784
0.704	0.803	0.837	0.792	0.821
0.651	0.801	0.766	0.756	0.761
0.675	0.671	0.716	0.706	0.713

c. At depth of 5 mm

0.546	0.565	0.602	0.620	0.564
0.605	0.632	0.647	0.611	0.615
0.565	0.633	0.642	0.633	0.634
0.545	0.634	0.603	0.595	0.588
0.543	0.543	0.566	0.556	0.554

d. At depth of 7 mm

0.431	0.454	0.486	0.486	0.445
0.478	0.492	0.503	0.472	0.477
0.447	0.491	0.485	0.500	0.481
0.452	0.494	0.468	0.461	0.449
0.431	0.435	0.442	0.432	0.425

e. At depth of 9 mm

0.340	0.365	0.389	0.379	0.351
0.373	0.381	0.389	0.362	0.368
0.350	0.379	0.366	0.393	0.364
0.372	0.381	0.362	0.356	0.343
0.341	0.346	0.345	0.335	0.326

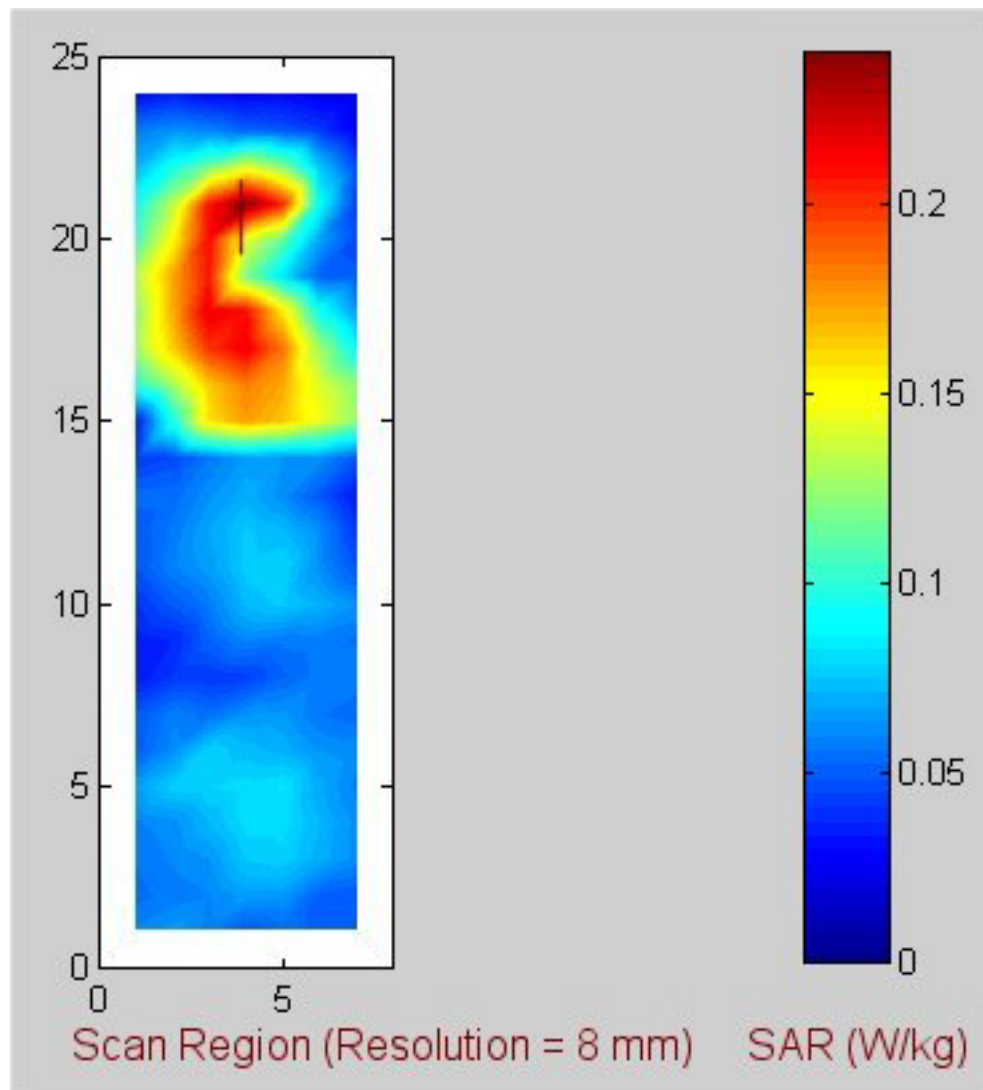


Fig. E-41. Coarse scan for the highest SAR region for the 3Com Model SL-3040 Cardbus Card inserted in HP Pavilion host computer. **802.11g band, frequency = 2.412 GHz, base mode.**

Table E-41. **Edge-on position (Configuration 2). Base mode at 2.412GHz.** The SARs measured for the 3Com Model SL-3040 Cardbus Card inserted into HP Pavillion host computer.

$$\text{1-g SAR} = 0.200 \text{ W/kg}$$

a. At depth of 1 mm

0.316	0.314	0.292	0.280	0.267
0.291	0.289	0.306	0.287	0.278
0.305	0.299	0.285	0.291	0.273
0.272	0.296	0.280	0.298	0.278
0.237	0.244	0.266	0.292	0.284

b. At depth of 3 mm

0.260	0.259	0.238	0.231	0.221
0.241	0.242	0.254	0.241	0.231
0.246	0.242	0.239	0.239	0.229
0.224	0.241	0.230	0.241	0.237
0.194	0.205	0.219	0.243	0.237

c. At depth of 5 mm

0.212	0.211	0.193	0.189	0.181
0.198	0.201	0.210	0.201	0.191
0.196	0.194	0.198	0.195	0.192
0.184	0.195	0.187	0.193	0.200
0.158	0.171	0.180	0.201	0.197

d. At depth of 7 mm

0.172	0.170	0.156	0.154	0.147
0.161	0.166	0.173	0.166	0.157
0.155	0.154	0.164	0.158	0.159
0.150	0.157	0.152	0.155	0.169
0.128	0.143	0.148	0.165	0.163

e. At depth of 9 mm

0.140	0.138	0.127	0.126	0.120
0.131	0.137	0.142	0.138	0.129
0.123	0.123	0.135	0.130	0.133
0.124	0.127	0.125	0.126	0.143
0.104	0.119	0.124	0.137	0.135

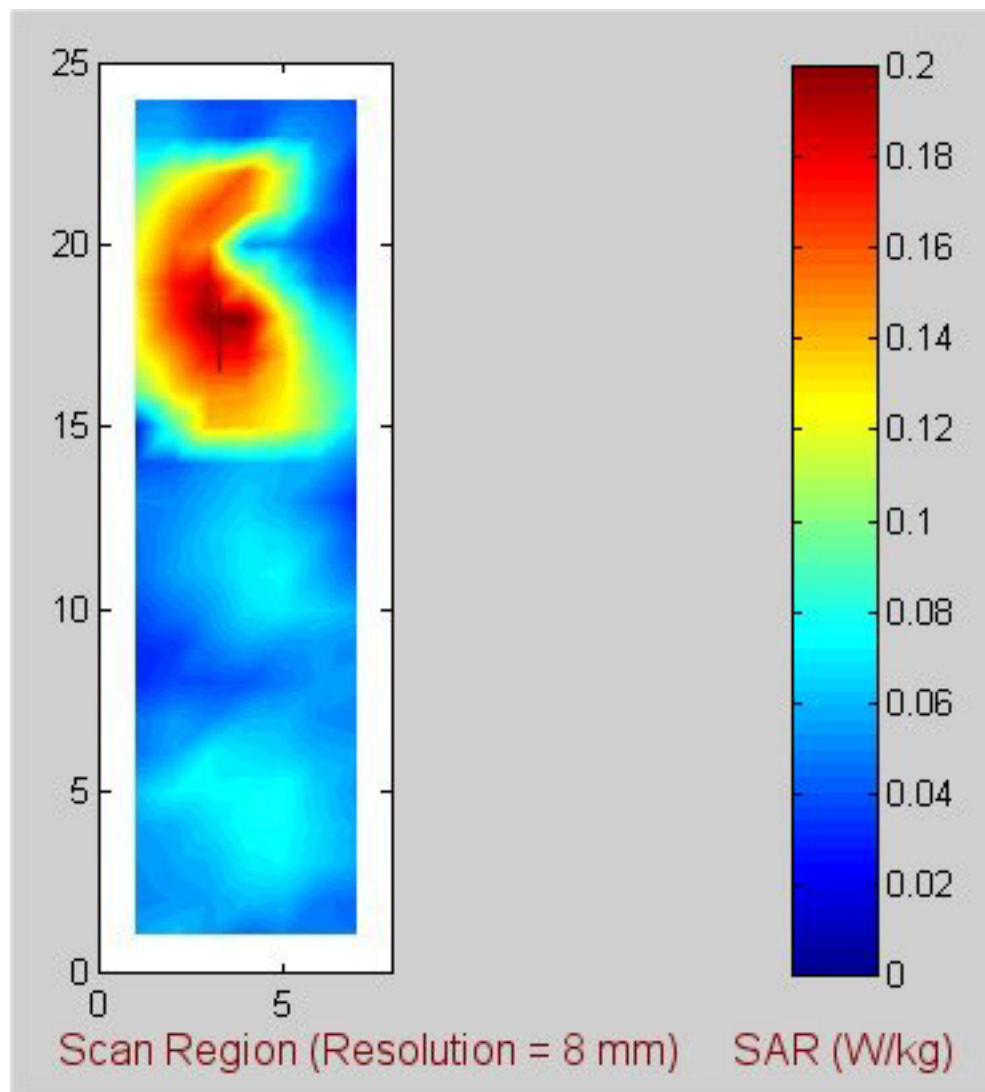


Fig. E-42. Coarse scan for the highest SAR region for the 3Com Model SL-3040 Cardbus Card inserted in HP Pavilion host computer. **802.11g band, frequency = 2.437 GHz, base mode.**

Table E-42. **Edge-on position (Configuration 2). Base mode at 2.437 GHz.** The SARs measured for the 3Com Model SL-3040 Cardbus Card inserted into HP Pavilion host computer.

1-g SAR = 0.185 W/kg

a. At depth of 1 mm

0.252	0.272	0.260	0.249	0.244
0.272	0.274	0.261	0.257	0.261
0.267	0.270	0.265	0.260	0.259
0.277	0.262	0.258	0.266	0.255
0.264	0.273	0.266	0.265	0.243

b. At depth of 3 mm

0.205	0.218	0.212	0.205	0.205
0.221	0.221	0.216	0.221	0.217
0.221	0.224	0.223	0.217	0.219
0.227	0.217	0.217	0.222	0.214
0.216	0.227	0.222	0.223	0.205

c. At depth of 5 mm

0.164	0.173	0.170	0.167	0.171
0.178	0.176	0.178	0.188	0.179
0.181	0.184	0.186	0.180	0.184
0.185	0.178	0.183	0.184	0.178
0.176	0.188	0.185	0.187	0.173

d. At depth of 7 mm

0.130	0.135	0.135	0.135	0.142
0.141	0.138	0.145	0.159	0.147
0.149	0.150	0.154	0.149	0.154
0.149	0.146	0.153	0.153	0.147
0.143	0.155	0.153	0.157	0.146

e. At depth of 9 mm

0.104	0.106	0.107	0.110	0.117
0.112	0.108	0.119	0.134	0.122
0.122	0.122	0.127	0.123	0.128
0.121	0.120	0.129	0.127	0.122
0.118	0.128	0.127	0.133	0.123

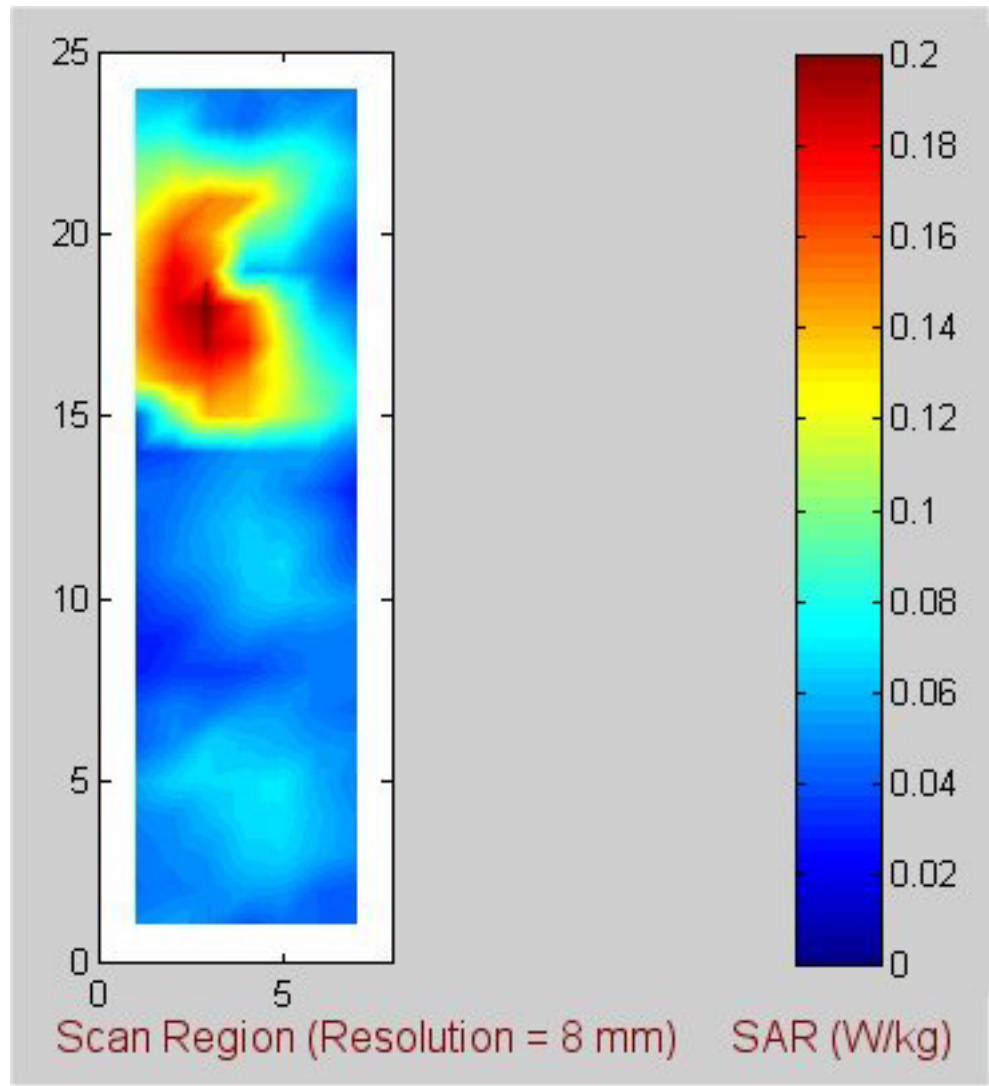


Fig. E-43. Coarse scan for the highest SAR region for the 3Com Model SL-3040 Cardbus Card inserted in HP Pavilion host computer. **802.11g band, frequency = 2.462 GHz, base mode.**

Table E-43. **Edge-on position (Configuration 2). Base mode at 2.462 GHz.** The SARs measured for the 3Com Model SL-3040 Cardbus Card inserted into HP Pavilion host computer.

$$1\text{-g SAR} = 0.173 \text{ W/kg}$$

a. At depth of 1 mm

0.204	0.234	0.254	0.272	0.249
0.235	0.248	0.249	0.237	0.236
0.254	0.241	0.256	0.241	0.235
0.262	0.266	0.264	0.255	0.253
0.267	0.261	0.275	0.256	0.256

b. At depth of 3 mm

0.163	0.185	0.204	0.217	0.206
0.185	0.202	0.204	0.196	0.192
0.201	0.196	0.209	0.196	0.196
0.214	0.220	0.220	0.211	0.214
0.218	0.218	0.227	0.219	0.218

c. At depth of 5 mm

0.130	0.145	0.162	0.170	0.168
0.143	0.162	0.165	0.160	0.155
0.156	0.158	0.169	0.158	0.161
0.174	0.180	0.181	0.174	0.179
0.176	0.180	0.187	0.186	0.185

d. At depth of 7 mm

0.102	0.113	0.128	0.131	0.137
0.110	0.129	0.133	0.129	0.123
0.119	0.126	0.136	0.126	0.133
0.140	0.147	0.148	0.143	0.149
0.141	0.149	0.153	0.158	0.157

e. At depth of 9 mm

0.082	0.089	0.102	0.101	0.111
0.085	0.103	0.106	0.103	0.098
0.090	0.100	0.108	0.101	0.109
0.113	0.121	0.121	0.119	0.124
0.114	0.123	0.127	0.134	0.135

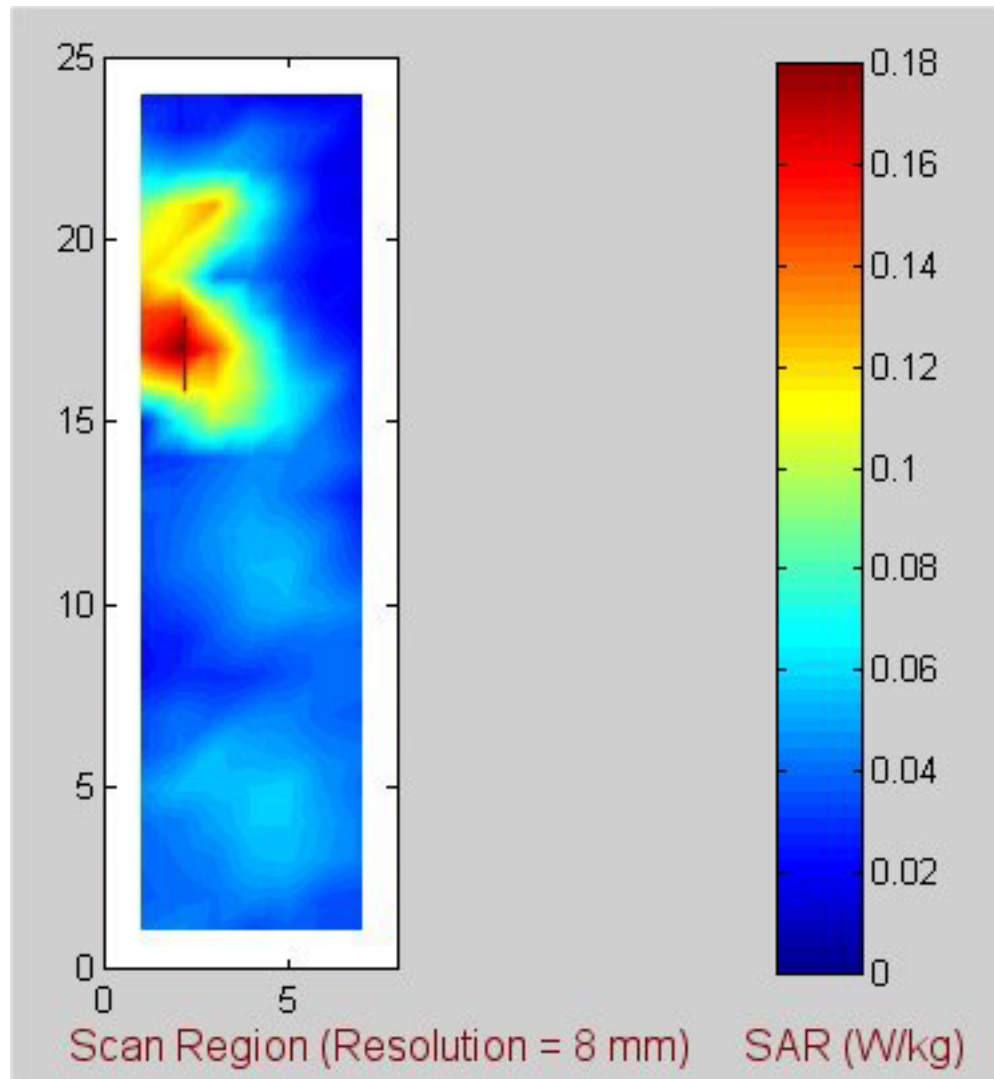


Fig. E-44. Coarse scan for the highest SAR region for the 3Com Model SL-3040 Cardbus Card inserted in HP Pavilion host computer. **802.11g band, frequency = 2.437 GHz, turbo mode.**

Table E-44. **Edge-on position (Configuration 2). Turbo mode at 2.437 GHz.** The SARs measured for the 3Com Model SL-3040 Cardbus Card inserted into HP Pavilion host computer.

$$\text{1-g SAR} = 0.165 \text{ W/kg}$$

a. At depth of 1 mm

0.276	0.217	0.213	0.237	0.219
0.265	0.247	0.245	0.249	0.227
0.243	0.250	0.251	0.252	0.223
0.248	0.240	0.236	0.248	0.221
0.226	0.253	0.249	0.237	0.234

b. At depth of 3 mm

0.210	0.179	0.182	0.192	0.185
0.211	0.202	0.201	0.202	0.187
0.200	0.206	0.205	0.209	0.187
0.203	0.196	0.194	0.196	0.179
0.189	0.204	0.205	0.195	0.191

c. At depth of 5 mm

0.156	0.146	0.153	0.153	0.156
0.165	0.164	0.163	0.162	0.153
0.163	0.168	0.166	0.171	0.155
0.164	0.159	0.157	0.152	0.144
0.156	0.164	0.166	0.159	0.155

d. At depth of 7 mm

0.115	0.117	0.128	0.121	0.130
0.128	0.131	0.132	0.128	0.124
0.132	0.135	0.133	0.139	0.127
0.131	0.128	0.127	0.118	0.114
0.128	0.131	0.134	0.129	0.126

e. At depth of 9 mm

0.086	0.093	0.107	0.096	0.107
0.099	0.105	0.107	0.103	0.100
0.105	0.109	0.107	0.112	0.104
0.105	0.103	0.103	0.092	0.092
0.105	0.105	0.108	0.106	0.103

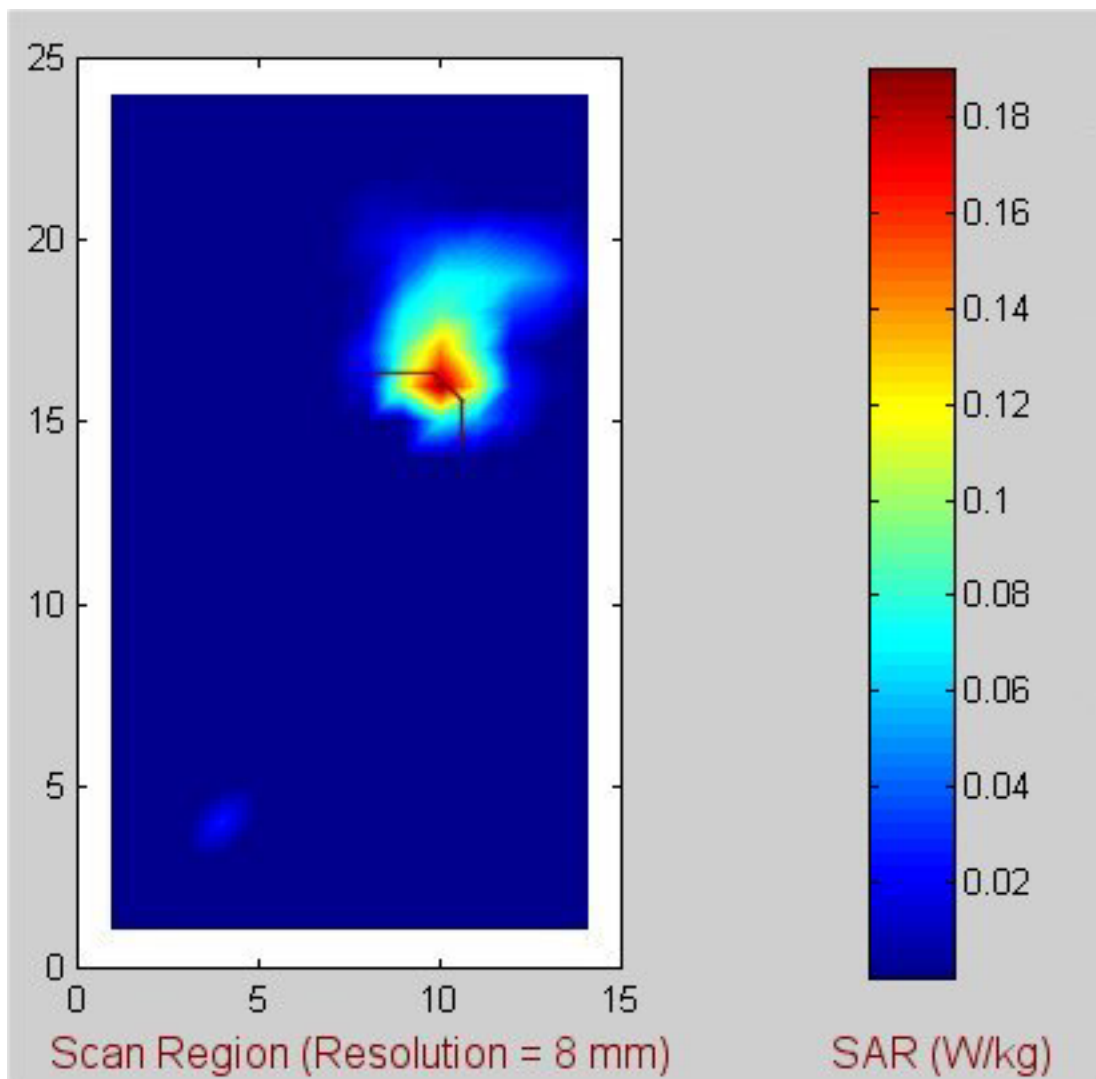


Fig. E-45. Coarse scan for the highest SAR region for the 3Com Model SL-3040 Cardbus Card inserted in Dell Inspiron 4000 host computer. **802.11a band, frequency = 5.24, base mode.**

Table E-45. **Above-lap position (Configuration 1). Base mode at 5.24 GHz.** The SARs measured for the 3Com Model SL-3040 Cardbus Card inserted into Dell Inspiron 4000 host computer.

$$1\text{-g SAR} = 0.187 \text{ W/kg}$$

a. At depth of 1 mm

0.358	0.370	0.455	0.382	0.389
0.363	0.395	0.436	0.437	0.398
0.413	0.419	0.469	0.434	0.468
0.365	0.456	0.490	0.468	0.416
0.482	0.507	0.407	0.451	0.363

b. At depth of 3 mm

0.194	0.200	0.221	0.204	0.204
0.200	0.214	0.222	0.228	0.219
0.216	0.226	0.238	0.232	0.235
0.209	0.237	0.248	0.239	0.227
0.226	0.242	0.230	0.241	0.214

c. At depth of 5 mm

0.111	0.116	0.114	0.117	0.117
0.121	0.126	0.121	0.127	0.129
0.122	0.125	0.131	0.133	0.130
0.126	0.135	0.140	0.131	0.130
0.122	0.132	0.142	0.138	0.135

d. At depth of 7 mm

0.075	0.081	0.074	0.080	0.083
0.087	0.089	0.081	0.086	0.089
0.085	0.081	0.090	0.091	0.093
0.088	0.094	0.099	0.091	0.088
0.091	0.098	0.101	0.096	0.098

e. At depth of 9 mm

0.062	0.069	0.062	0.065	0.069
0.071	0.073	0.067	0.070	0.072
0.071	0.066	0.074	0.074	0.081
0.075	0.078	0.082	0.078	0.072
0.083	0.088	0.083	0.079	0.080

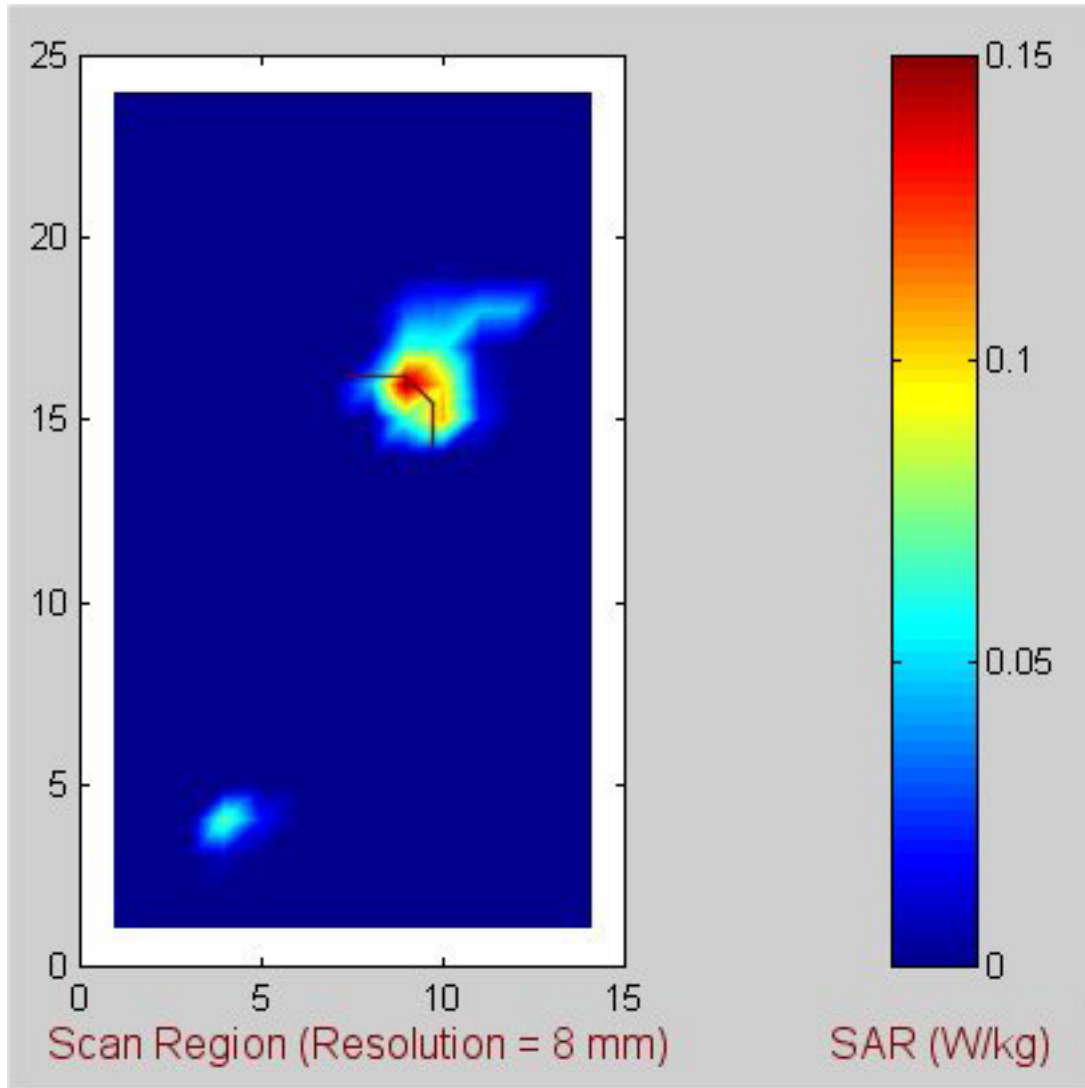


Fig. E-46. Coarse scan for the highest SAR region for the 3Com Model SL-3040 Cardbus Card inserted in Dell Inspiron 4000 host computer. **802.11a band, frequency = 5.32, base mode.**

Table E-46. **Above-lap position (Configuration 1). Base mode at 5.32 GHz.** The SARs measured for the 3Com Model SL-3040 Cardbus Card inserted into Dell Inspiron 4000 host computer.

$$1\text{-g SAR} = 0.138 \text{ W/kg}$$

a. At depth of 1 mm

0.308	0.234	0.263	0.282	0.229
0.320	0.297	0.316	0.308	0.312
0.376	0.378	0.392	0.312	0.381
0.436	0.392	0.434	0.397	0.439
0.357	0.413	0.465	0.469	0.412

b. At depth of 3 mm

0.136	0.125	0.138	0.139	0.116
0.148	0.146	0.157	0.163	0.156
0.167	0.177	0.187	0.178	0.177
0.184	0.189	0.202	0.201	0.196
0.184	0.212	0.216	0.214	0.201

c. At depth of 5 mm

0.065	0.064	0.068	0.067	0.058
0.065	0.073	0.079	0.085	0.082
0.072	0.082	0.086	0.096	0.087
0.076	0.089	0.092	0.101	0.088
0.096	0.104	0.103	0.100	0.101

d. At depth of 7 mm

0.042	0.035	0.036	0.035	0.030
0.031	0.041	0.047	0.048	0.050
0.039	0.043	0.043	0.052	0.052
0.041	0.046	0.048	0.058	0.049
0.056	0.054	0.060	0.057	0.061

e. At depth of 9 mm

0.032	0.024	0.025	0.020	0.018
0.018	0.028	0.033	0.033	0.036
0.029	0.028	0.028	0.032	0.034
0.032	0.028	0.033	0.042	0.035
0.040	0.035	0.042	0.040	0.047

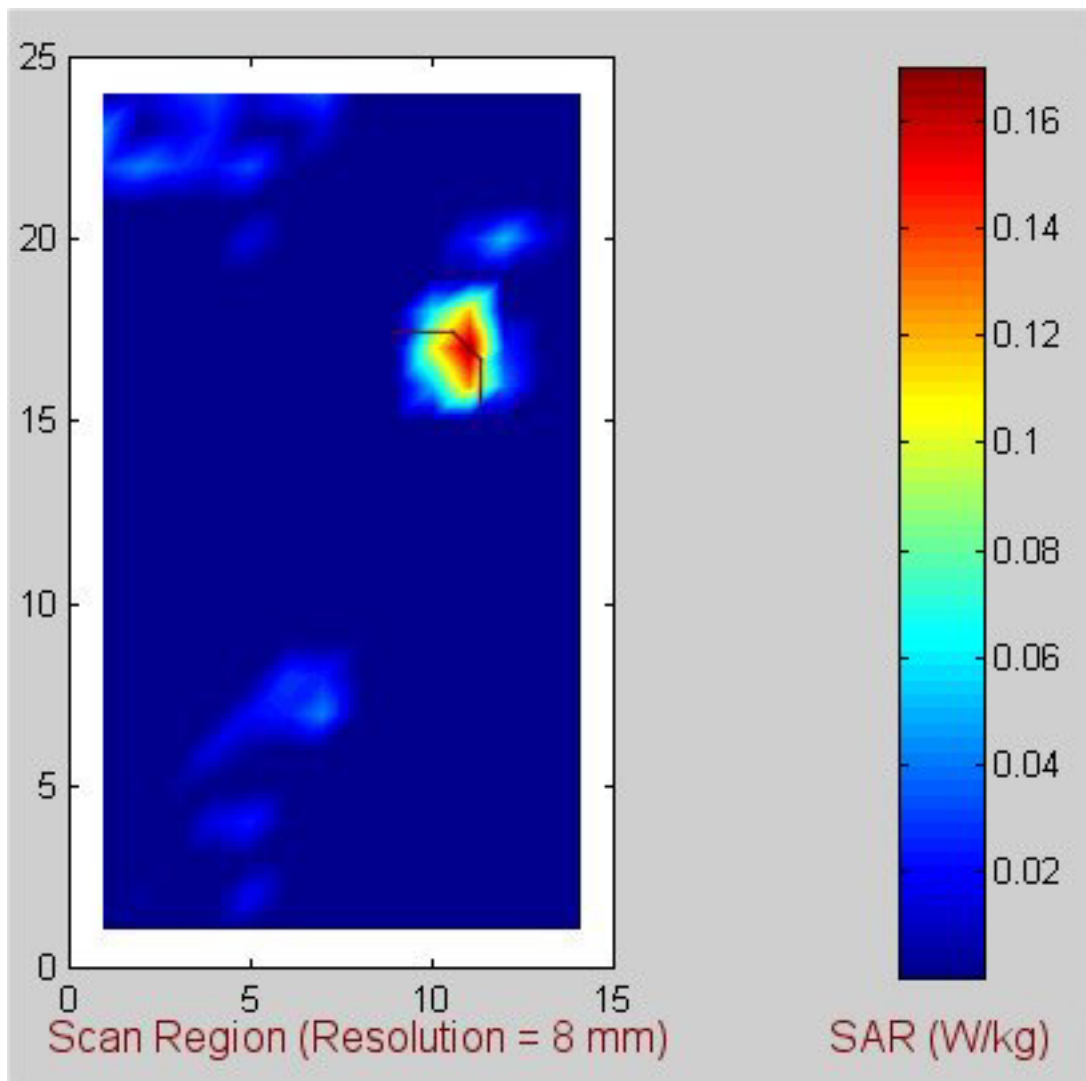


Fig. E-47. Coarse scan for the highest SAR region for the 3Com Model SL-3040 Cardbus Card inserted in Dell Inspiron 4000 host computer. **802.11a band, frequency = 5.765, base mode.**

Table E-47. **Above-lap position (Configuration 1). Base mode at 5.765 GHz.** The SARs measured for the 3Com Model SL-3040 Cardbus Card inserted into Dell Inspiron 4000 host computer.

$$\text{1-g SAR} = 0.177 \text{ W/kg}$$

a. At depth of 1 mm

0.458	0.548	0.560	0.480	0.472
0.457	0.489	0.435	0.520	0.436
0.444	0.491	0.535	0.485	0.402
0.402	0.471	0.506	0.527	0.398
0.372	0.548	0.542	0.584	0.265

b. At depth of 3 mm

0.201	0.236	0.239	0.213	0.201
0.202	0.224	0.213	0.236	0.217
0.194	0.213	0.239	0.225	0.195
0.177	0.208	0.226	0.237	0.195
0.179	0.223	0.220	0.233	0.173

c. At depth of 5 mm

0.091	0.103	0.104	0.096	0.089
0.089	0.103	0.102	0.109	0.104
0.084	0.092	0.104	0.105	0.094
0.077	0.092	0.095	0.108	0.095
0.097	0.094	0.093	0.094	0.113

d. At depth of 7 mm

0.056	0.061	0.060	0.053	0.054
0.053	0.061	0.057	0.064	0.053
0.044	0.053	0.054	0.058	0.052
0.040	0.053	0.048	0.064	0.055
0.069	0.061	0.059	0.058	0.080

e. At depth of 9 mm

0.049	0.051	0.045	0.038	0.043
0.045	0.051	0.043	0.051	0.033
0.032	0.046	0.039	0.041	0.036
0.027	0.045	0.039	0.051	0.045
0.060	0.056	0.052	0.054	0.067

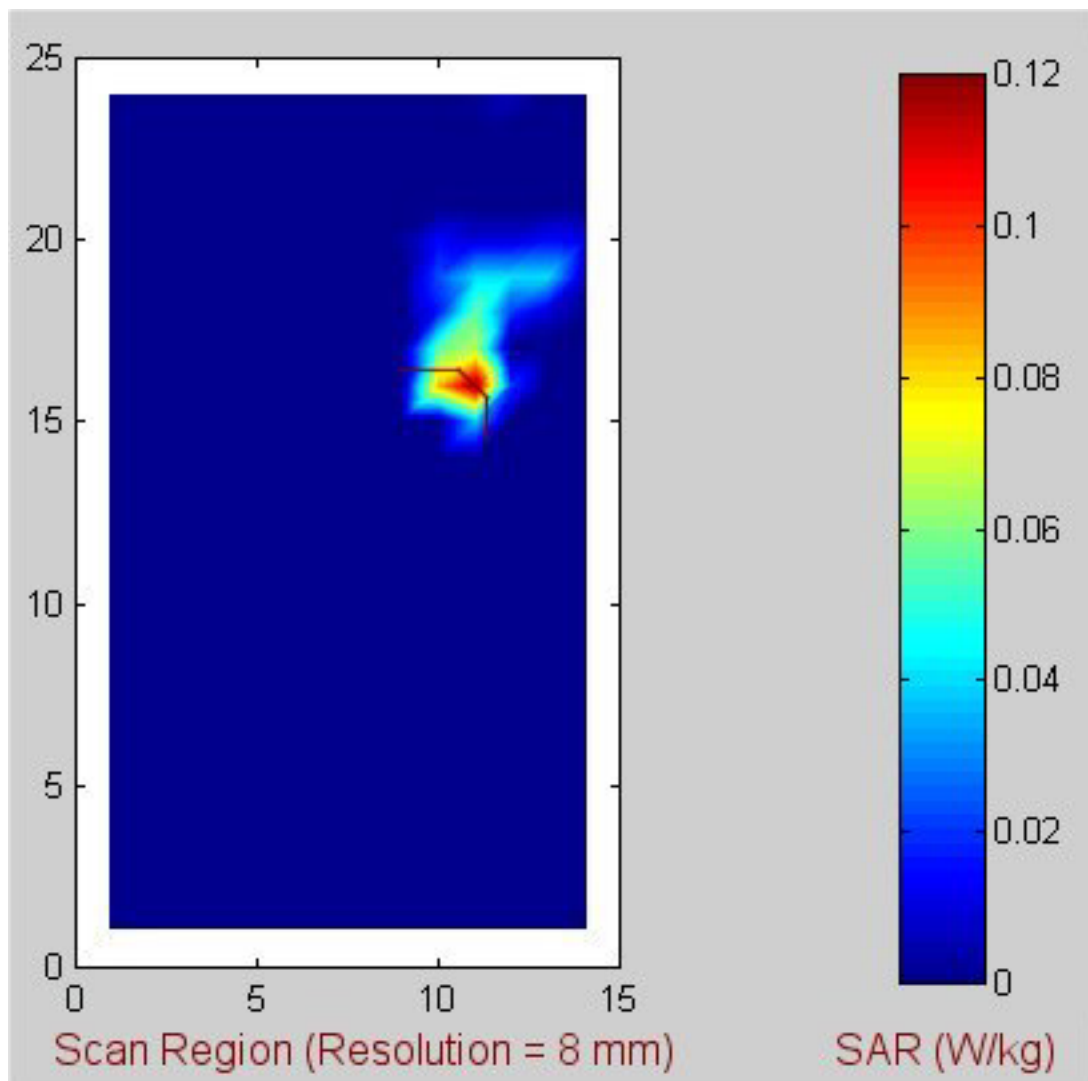


Fig. E-48. Coarse scan for the highest SAR region for the 3Com Model SL-3040 Cardbus Card inserted in Dell Inspiron 4000 host computer. **802.11a band, frequency = 5.29, turbo mode.**

Table E-48. **Above-lap position (Configuration 1). Turbo mode at 5.29 GHz.** The SARs measured for the 3Com Model SL-3040 Cardbus Card inserted into Dell Inspiron 4000 host computer.

$$1\text{-g SAR} = 0.120 \text{ W/kg}$$

a. At depth of 1 mm

0.269	0.202	0.299	0.255	0.343
0.218	0.251	0.204	0.410	0.248
0.377	0.229	0.224	0.329	0.189
0.397	0.249	0.301	0.391	0.155
0.414	0.301	0.347	0.292	0.291

b. At depth of 3 mm

0.136	0.118	0.143	0.146	0.141
0.111	0.130	0.122	0.163	0.138
0.155	0.140	0.141	0.159	0.139
0.165	0.133	0.148	0.170	0.129
0.166	0.149	0.167	0.153	0.151

c. At depth of 5 mm

0.077	0.072	0.069	0.091	0.063
0.058	0.070	0.071	0.076	0.083
0.068	0.085	0.087	0.088	0.090
0.072	0.074	0.074	0.079	0.096
0.073	0.076	0.086	0.086	0.086

d. At depth of 7 mm

0.053	0.050	0.041	0.064	0.042
0.034	0.045	0.043	0.059	0.056
0.043	0.052	0.054	0.063	0.055
0.045	0.046	0.044	0.050	0.067
0.051	0.049	0.055	0.056	0.060

e. At depth of 9 mm

0.041	0.041	0.034	0.046	0.038
0.022	0.033	0.032	0.055	0.041
0.034	0.032	0.037	0.051	0.038
0.038	0.032	0.031	0.041	0.047
0.046	0.041	0.043	0.039	0.050

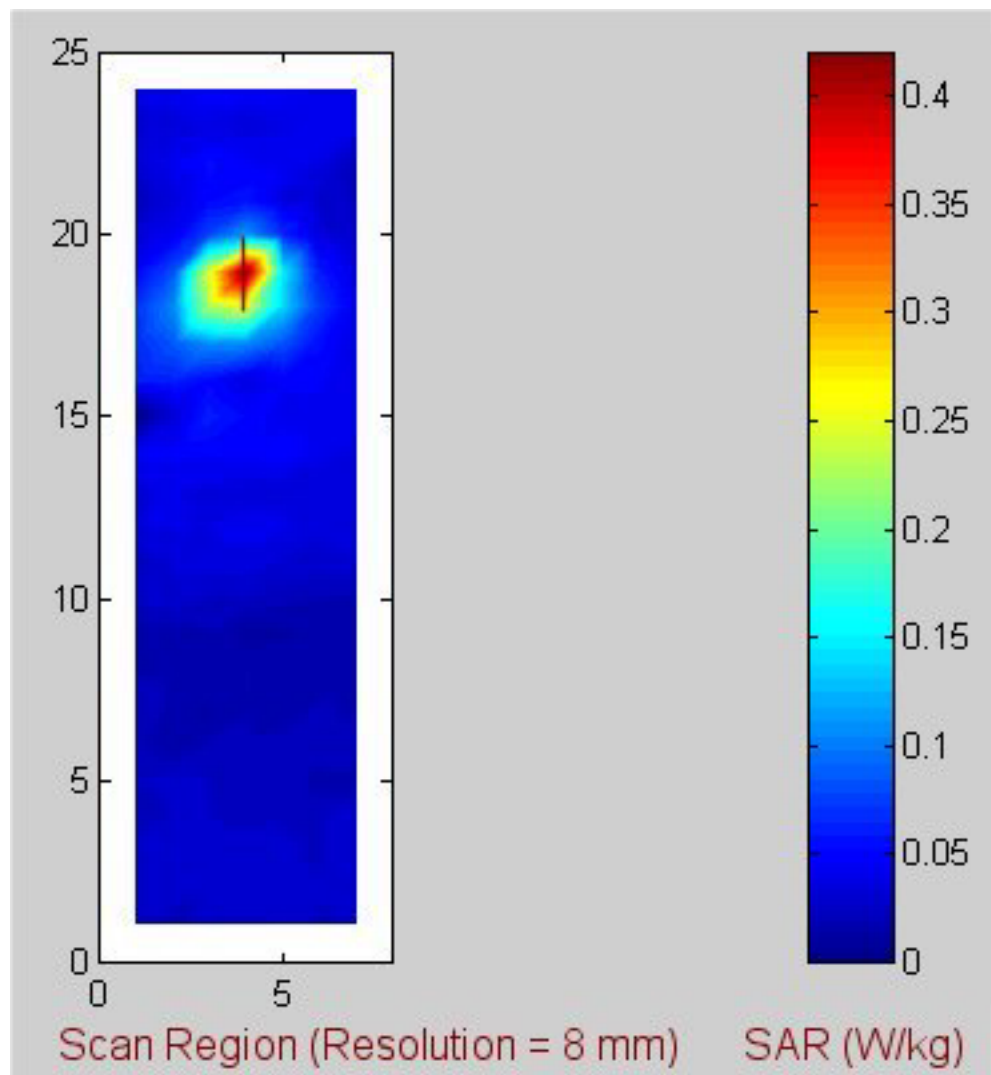


Fig. E-49. Coarse scan for the highest SAR region for the 3Com Model SL-3040 Cardbus Card inserted in Dell Inspiron 4000 host computer. **802.11a band, frequency = 5.24, base mode.**

Table E-49. **Edge-on position (Configuration 2). Base mode at 5.24 GHz.** The SARs measured for the 3Com Model SL-3040 Cardbus Card inserted into Dell Inspiron 4000 host computer.

$$1\text{-g SAR} = 0.380 \text{ W/kg}$$

a. At depth of 1 mm

0.926	1.095	1.081	0.926	0.749
1.013	1.162	1.195	1.115	0.845
0.976	1.093	1.189	1.090	0.946
0.908	1.017	1.088	1.048	0.911
0.815	0.909	0.886	0.875	0.749

b. At depth of 3 mm

0.449	0.519	0.515	0.455	0.380
0.485	0.562	0.575	0.535	0.436
0.487	0.549	0.564	0.534	0.458
0.451	0.504	0.520	0.502	0.441
0.398	0.436	0.433	0.429	0.389

c. At depth of 5 mm

0.218	0.239	0.238	0.215	0.187
0.229	0.261	0.269	0.251	0.221
0.237	0.269	0.260	0.255	0.221
0.222	0.246	0.246	0.239	0.217
0.195	0.211	0.211	0.211	0.206

d. At depth of 7 mm

0.121	0.122	0.120	0.108	0.099
0.120	0.132	0.138	0.131	0.119
0.124	0.139	0.135	0.131	0.122
0.121	0.133	0.133	0.130	0.125
0.111	0.120	0.119	0.121	0.122

e. At depth of 9 mm

0.082	0.074	0.072	0.065	0.061
0.074	0.081	0.085	0.086	0.076
0.078	0.082	0.088	0.081	0.079
0.080	0.088	0.089	0.087	0.088
0.081	0.086	0.083	0.088	0.084

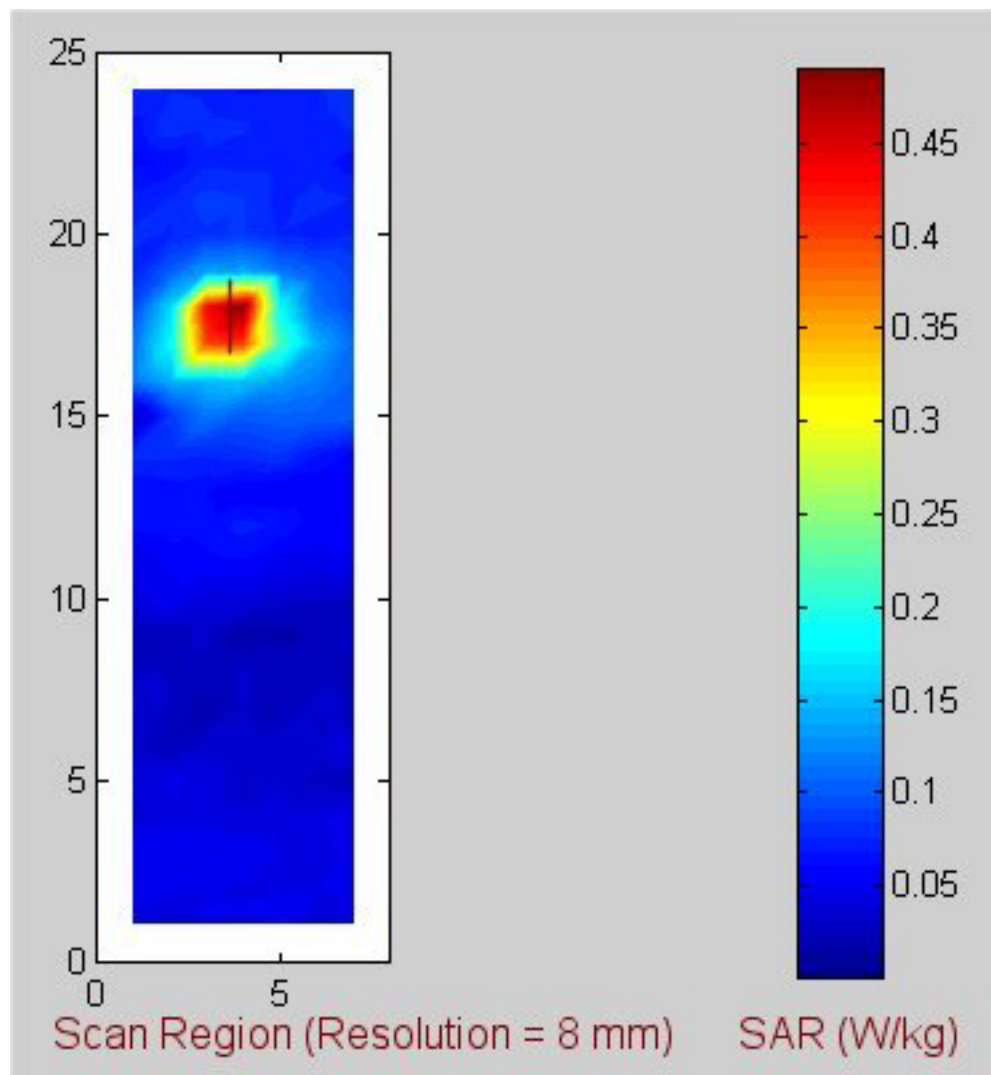


Fig. E-50. Coarse scan for the highest SAR region for the 3Com Model SL-3040 Cardbus Card inserted in Dell Inspiron 4000 host computer. **802.11a band, frequency = 5.32, base mode.**

Table E-50. **Edge-on position (Configuration 2). Base mode at 5.32 GHz.** The SARs measured for the 3Com Model SL-3040 Cardbus Card inserted into Dell Inspiron 4000 host computer.

$$1\text{-g SAR} = 0.426 \text{ W/kg}$$

a. At depth of 1 mm

0.742	0.799	0.975	0.938	0.911
0.789	1.015	1.229	1.268	1.092
0.843	1.192	1.344	1.420	1.310
0.871	1.149	1.448	1.409	1.284
0.830	0.980	1.179	1.214	1.166

b. At depth of 3 mm

0.351	0.410	0.476	0.458	0.423
0.406	0.520	0.595	0.609	0.536
0.438	0.582	0.662	0.676	0.620
0.454	0.584	0.671	0.678	0.612
0.425	0.506	0.563	0.571	0.548

c. At depth of 5 mm

0.177	0.207	0.234	0.216	0.193
0.211	0.260	0.281	0.285	0.254
0.236	0.278	0.316	0.316	0.290
0.242	0.295	0.308	0.314	0.282
0.228	0.261	0.271	0.268	0.260

d. At depth of 7 mm

0.113	0.114	0.131	0.111	0.102
0.124	0.141	0.147	0.149	0.130
0.145	0.150	0.163	0.168	0.157
0.144	0.166	0.165	0.161	0.146
0.144	0.150	0.152	0.148	0.150

e. At depth of 9 mm

0.087	0.076	0.088	0.071	0.070
0.088	0.094	0.095	0.098	0.081
0.102	0.103	0.099	0.112	0.107
0.099	0.114	0.111	0.104	0.099
0.110	0.104	0.106	0.105	0.111

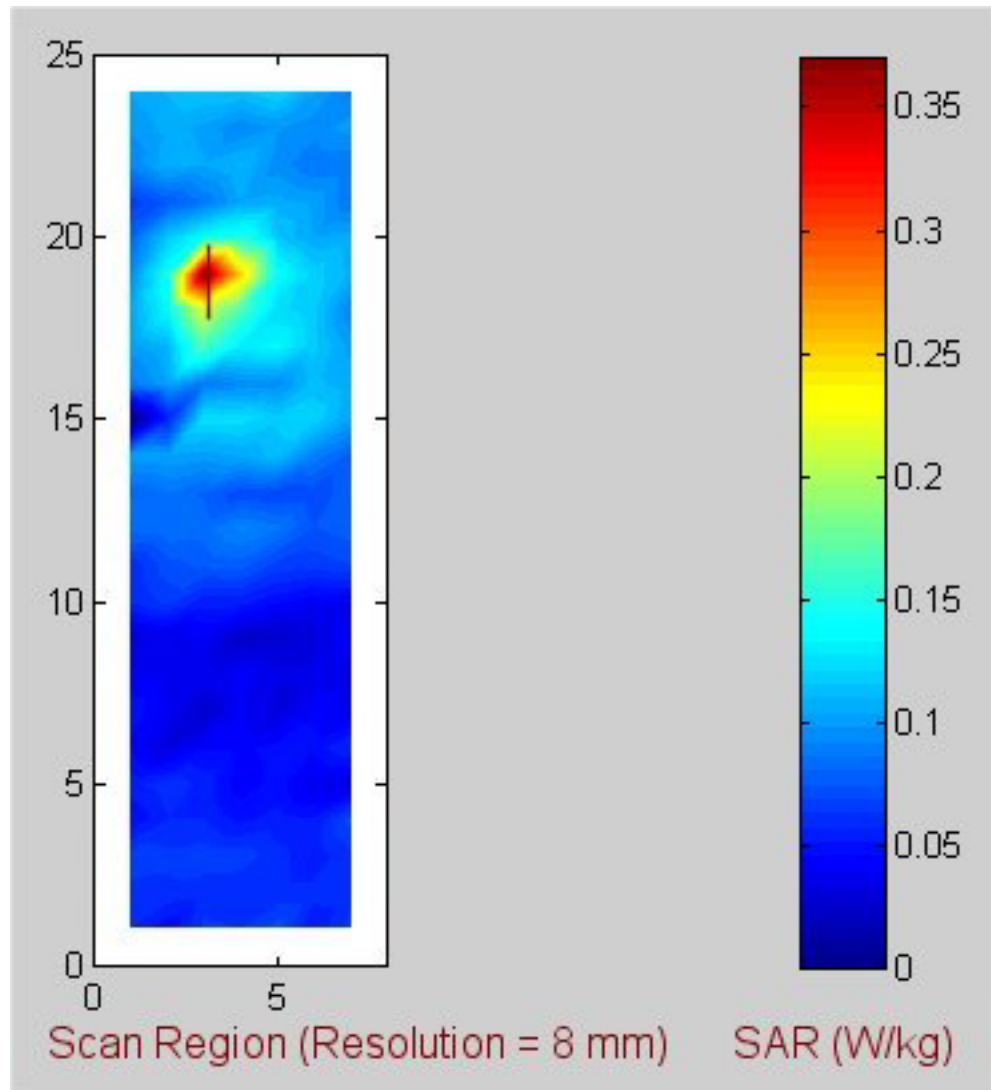


Fig. E-51. Coarse scan for the highest SAR region for the 3Com Model SL-3040 Cardbus Card inserted in Dell Inspiron 4000 host computer. **802.11a band, frequency = 5.765, base mode.**

Table E-51. **Edge-on position (Configuration 2). Base mode at 5.765 GHz.** The SARs measured for the 3Com Model SL-3040 Cardbus Card inserted into Dell Inspiron 4000 host computer.

$$1\text{-g SAR} = 0.315 \text{ W/kg}$$

a. At depth of 1 mm

0.526	0.732	0.728	0.659	0.594
0.694	0.888	1.011	0.955	0.659
0.651	0.851	0.887	1.008	0.696
0.660	0.828	0.945	0.890	0.813
0.503	0.708	0.797	0.737	0.594

b. At depth of 3 mm

0.318	0.377	0.375	0.354	0.306
0.365	0.460	0.493	0.442	0.337
0.354	0.431	0.452	0.477	0.374
0.341	0.416	0.457	0.439	0.404
0.296	0.355	0.390	0.375	0.325

c. At depth of 5 mm

0.198	0.200	0.196	0.188	0.163
0.189	0.230	0.238	0.215	0.171
0.194	0.219	0.234	0.222	0.204
0.185	0.215	0.224	0.224	0.216
0.181	0.195	0.202	0.199	0.184

d. At depth of 7 mm

0.134	0.123	0.118	0.111	0.104
0.111	0.128	0.132	0.132	0.099
0.118	0.126	0.138	0.121	0.126
0.120	0.131	0.133	0.138	0.145
0.124	0.136	0.133	0.127	0.124

e. At depth of 9 mm

0.103	0.091	0.086	0.081	0.085
0.086	0.095	0.095	0.101	0.073
0.089	0.090	0.101	0.089	0.094
0.097	0.100	0.103	0.111	0.122
0.100	0.117	0.113	0.101	0.107

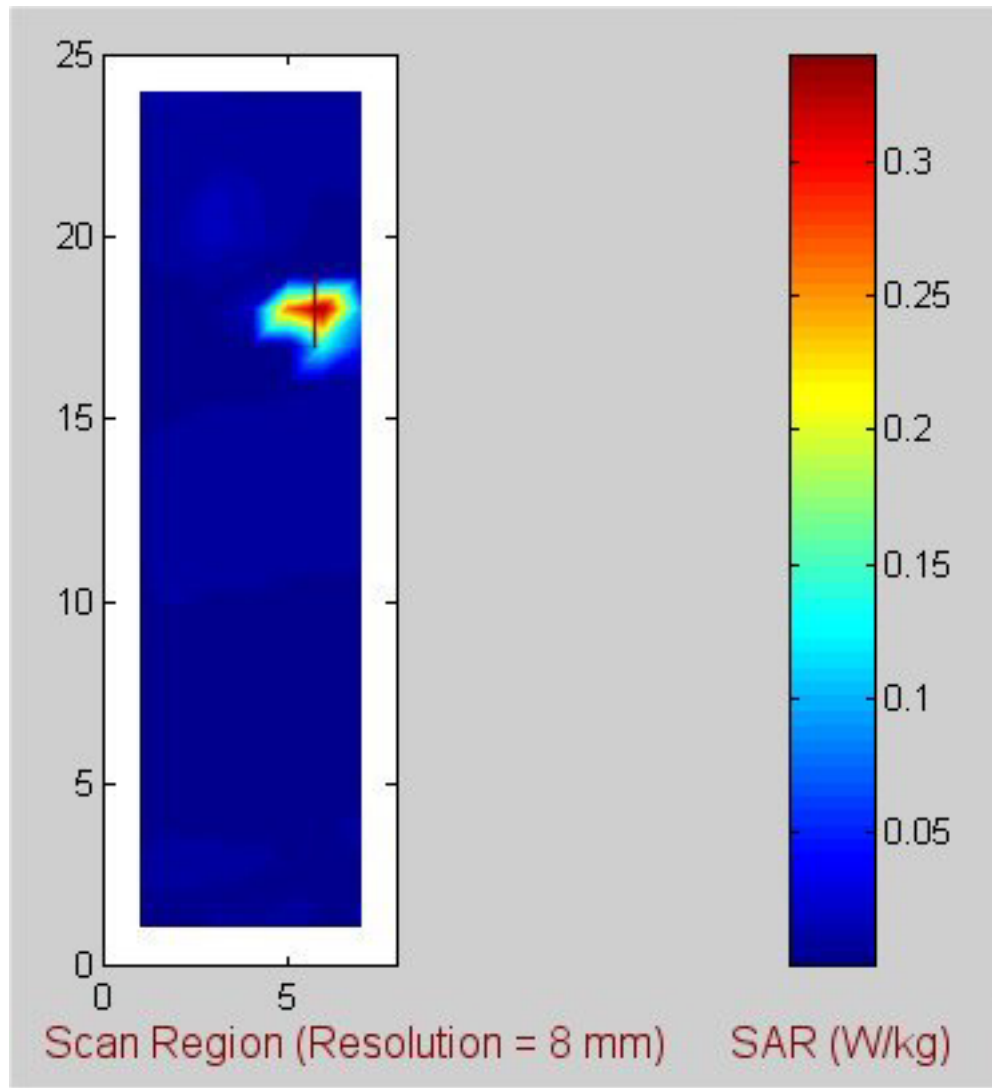


Fig. E-52. Coarse scan for the highest SAR region for the 3Com Model SL-3040 Cardbus Card inserted in Dell Inspiron 4000 host computer. **802.11a band, frequency = 5.29 turbo mode.**

Table E-52. **Edge-on position (Configuration 2). Turbo mode at 5.29 GHz.** The SARs measured for the 3Com Model SL-3040 Cardbus Card inserted into Dell Inspiron 4000 host computer.

$$1\text{-g SAR} = 0.297 \text{ W/kg}$$

a. At depth of 1 mm

0.559	0.657	0.744	0.623	0.541
0.542	0.742	0.917	0.677	0.659
0.487	0.683	0.883	0.697	0.621
0.567	0.698	0.632	0.613	0.576
0.495	0.383	0.658	0.459	0.739

b. At depth of 3 mm

0.337	0.391	0.416	0.392	0.322
0.328	0.384	0.442	0.423	0.376
0.333	0.371	0.419	0.363	0.336
0.308	0.348	0.353	0.350	0.338
0.262	0.282	0.322	0.286	0.324

c. At depth of 5 mm

0.225	0.250	0.257	0.259	0.215
0.217	0.228	0.241	0.275	0.236
0.227	0.208	0.211	0.200	0.193
0.187	0.193	0.205	0.210	0.209
0.160	0.196	0.183	0.191	0.151

d. At depth of 7 mm

0.176	0.191	0.192	0.192	0.172
0.171	0.172	0.176	0.197	0.177
0.159	0.136	0.138	0.132	0.131
0.139	0.136	0.137	0.144	0.145
0.124	0.136	0.141	0.143	0.100

e. At depth of 9 mm

0.156	0.178	0.167	0.164	0.156
0.158	0.150	0.157	0.160	0.153
0.120	0.112	0.119	0.105	0.106
0.121	0.112	0.110	0.115	0.115
0.111	0.103	0.128	0.118	0.089

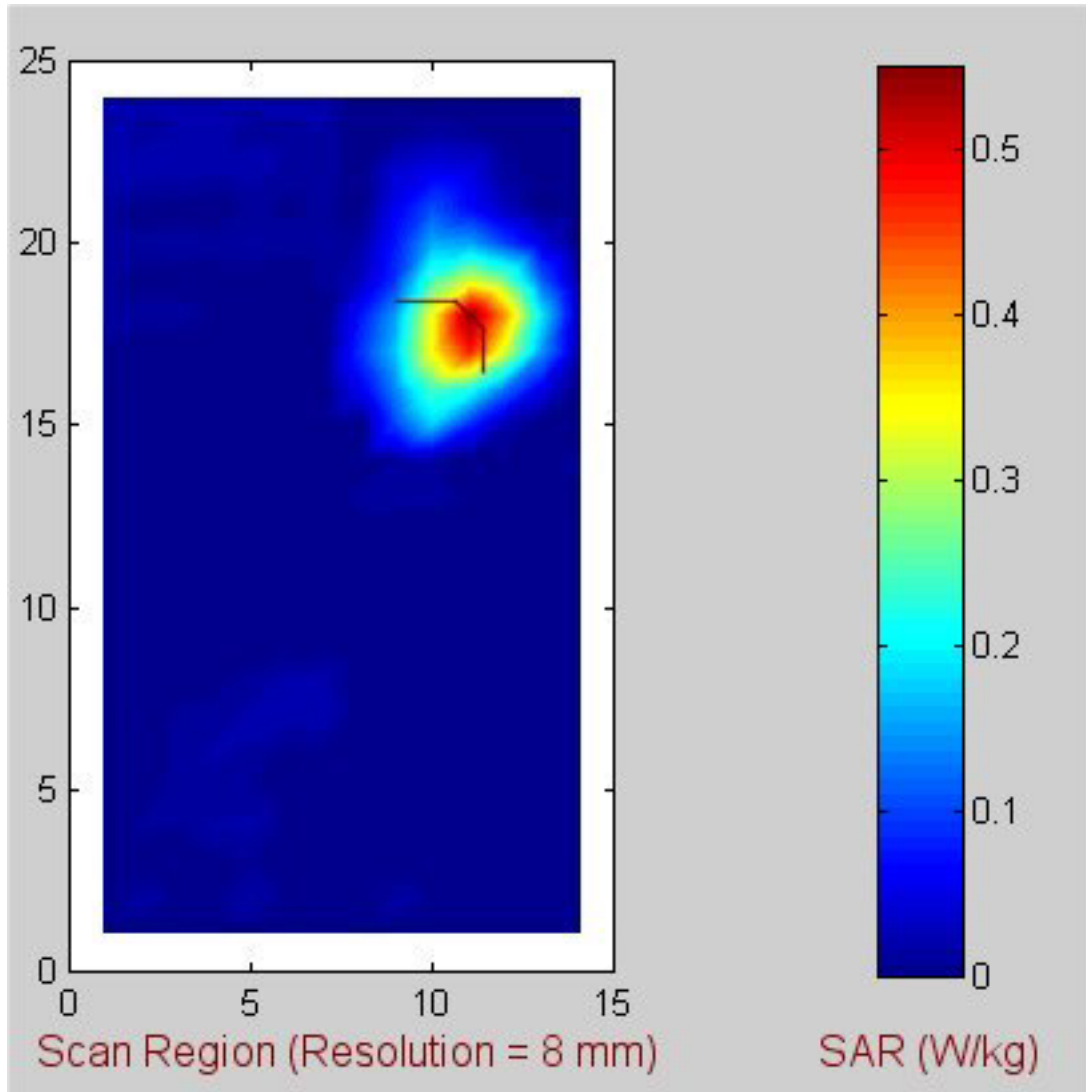


Fig. E-53. Coarse scan for the highest SAR region for the 3Com Model SL-3040 Cardbus Card inserted in Dell Inspiron 4000 host computer. **802.11b band, frequency = 2.412 base mode.**

Table E-53. **Above-lap position (Configuration 1). Base mode at 2412 GHz.** The SARs measured for the 3Com Model SL-3040 Cardbus Card inserted into Dell Inspiron 4000 host computer.

$$1\text{-g SAR} = 0.475 \text{ W/kg}$$

a. At depth of 1 mm

0.667	0.709	0.679	0.662	0.603
0.749	0.735	0.711	0.726	0.661
0.770	0.736	0.780	0.711	0.683
0.738	0.745	0.797	0.767	0.680
0.710	0.721	0.773	0.760	0.715

b. At depth of 3 mm

0.543	0.567	0.547	0.531	0.488
0.598	0.585	0.579	0.578	0.527
0.610	0.593	0.617	0.571	0.550
0.594	0.599	0.625	0.613	0.544
0.571	0.581	0.618	0.605	0.574

c. At depth of 5 mm

0.436	0.446	0.434	0.419	0.388
0.469	0.458	0.464	0.451	0.414
0.474	0.470	0.478	0.452	0.435
0.471	0.474	0.481	0.481	0.427
0.453	0.463	0.487	0.475	0.454

d. At depth of 7 mm

0.345	0.346	0.340	0.325	0.304
0.363	0.353	0.366	0.348	0.320
0.363	0.367	0.364	0.352	0.339
0.370	0.371	0.364	0.371	0.329
0.355	0.364	0.378	0.368	0.355

e. At depth of 9 mm

0.272	0.267	0.264	0.250	0.236
0.280	0.272	0.284	0.267	0.246
0.277	0.285	0.275	0.272	0.260
0.290	0.288	0.275	0.282	0.250
0.276	0.287	0.293	0.284	0.278

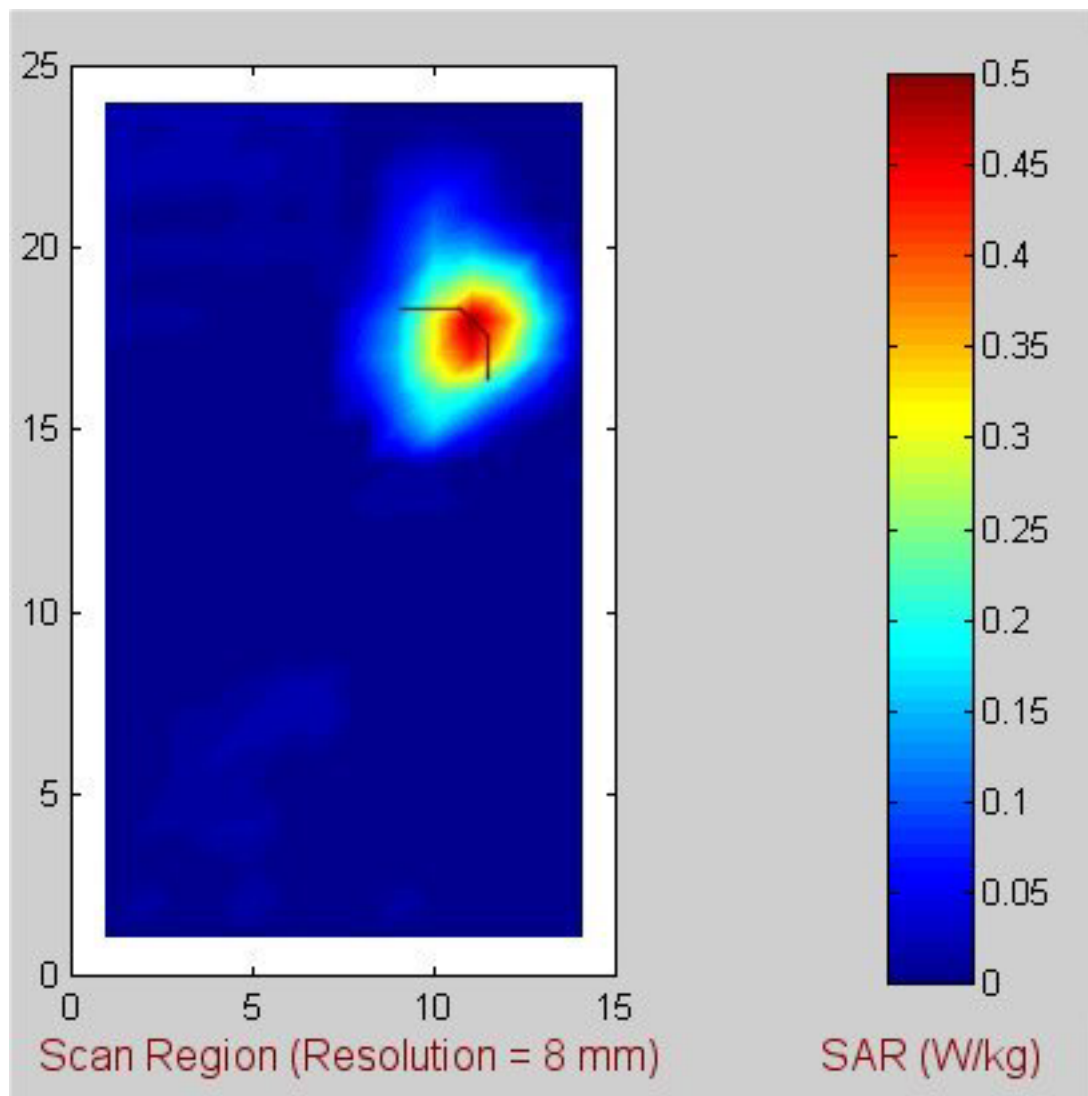


Fig. E-54. Coarse scan for the highest SAR region for the 3Com Model SL-3040 Cardbus Card inserted in Dell Inspiron 4000 host computer. **802.11b band, frequency = 2.437 base mode.**

Table E-54. **Above-lap position (Configuration 1). Base mode at 2.437 GHz.** The SARs measured for the 3Com Model SL-3040 Cardbus Card inserted into Dell Inspiron 4000 host computer.

$$1\text{-g SAR} = 0.447 \text{ W/kg}$$

a. At depth of 1 mm

0.615	0.679	0.679	0.682	0.663
0.665	0.671	0.694	0.714	0.706
0.652	0.662	0.748	0.762	0.742
0.578	0.698	0.654	0.730	0.746
0.594	0.642	0.638	0.745	0.705

b. At depth of 3 mm

0.497	0.540	0.541	0.545	0.528
0.531	0.542	0.556	0.571	0.556
0.520	0.532	0.586	0.594	0.573
0.464	0.551	0.537	0.582	0.588
0.477	0.514	0.524	0.587	0.566

c. At depth of 5 mm

0.396	0.422	0.425	0.429	0.412
0.417	0.430	0.439	0.448	0.429
0.406	0.419	0.450	0.454	0.432
0.368	0.427	0.434	0.457	0.454
0.378	0.405	0.426	0.455	0.447

d. At depth of 7 mm

0.311	0.325	0.329	0.333	0.317
0.323	0.337	0.341	0.346	0.325
0.312	0.326	0.339	0.341	0.320
0.288	0.325	0.346	0.353	0.344
0.296	0.315	0.341	0.350	0.349

e. At depth of 9 mm

0.242	0.250	0.253	0.257	0.243
0.248	0.261	0.264	0.263	0.245
0.238	0.251	0.255	0.256	0.236
0.226	0.245	0.271	0.271	0.258
0.231	0.244	0.272	0.272	0.271

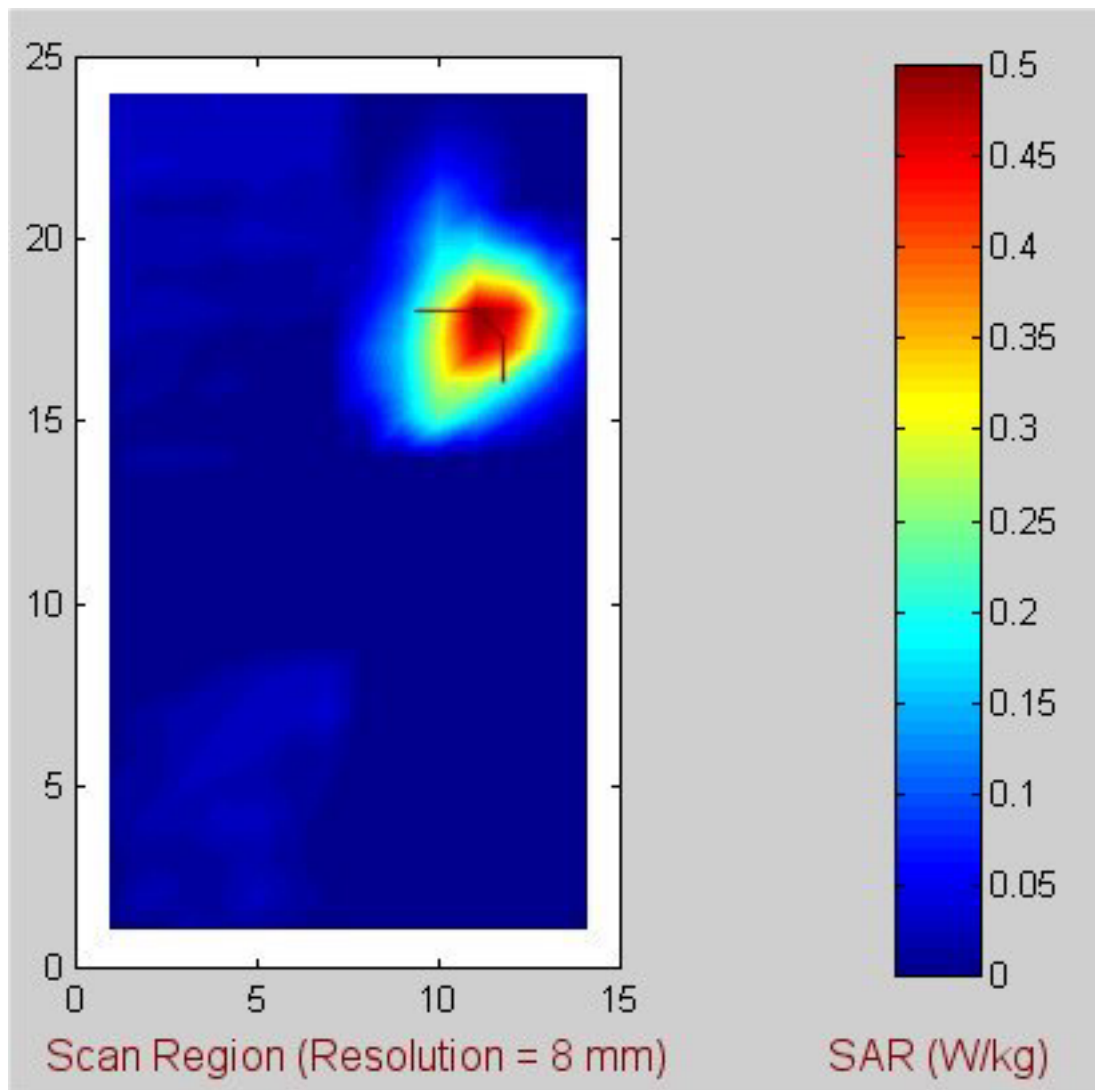


Fig. E-55. Coarse scan for the highest SAR region for the 3Com Model SL-3040 Cardbus Card inserted in Dell Inspiron 4000 host computer. **802.11b band, frequency = 2.462 base mode.**

Table E-55. **Above-lap position (Configuration 1). Base mode at 2.462 GHz.** The SARs measured for the 3Com Model SL-3040 Cardbus Card inserted into Dell Inspiron 4000 host computer.

$$1\text{-g SAR} = 0.425 \text{ W/kg}$$

a. At depth of 1 mm

0.612	0.631	0.627	0.624	0.594
0.649	0.661	0.661	0.659	0.615
0.658	0.676	0.688	0.669	0.640
0.645	0.674	0.680	0.655	0.627
0.626	0.652	0.655	0.650	0.614

b. At depth of 3 mm

0.493	0.508	0.502	0.499	0.476
0.519	0.530	0.528	0.520	0.489
0.528	0.542	0.550	0.533	0.508
0.517	0.539	0.540	0.522	0.500
0.504	0.522	0.527	0.518	0.485

c. At depth of 5 mm

0.391	0.403	0.396	0.394	0.375
0.408	0.418	0.415	0.404	0.383
0.416	0.427	0.432	0.418	0.395
0.408	0.424	0.422	0.409	0.392
0.400	0.412	0.418	0.406	0.376

d. At depth of 7 mm

0.307	0.316	0.308	0.306	0.292
0.317	0.326	0.322	0.309	0.295
0.323	0.332	0.335	0.323	0.302
0.318	0.329	0.325	0.316	0.303
0.314	0.322	0.327	0.313	0.287

e. At depth of 9 mm

0.240	0.248	0.239	0.237	0.226
0.245	0.254	0.248	0.235	0.226
0.250	0.256	0.259	0.249	0.230
0.247	0.253	0.249	0.243	0.234
0.247	0.251	0.256	0.240	0.218

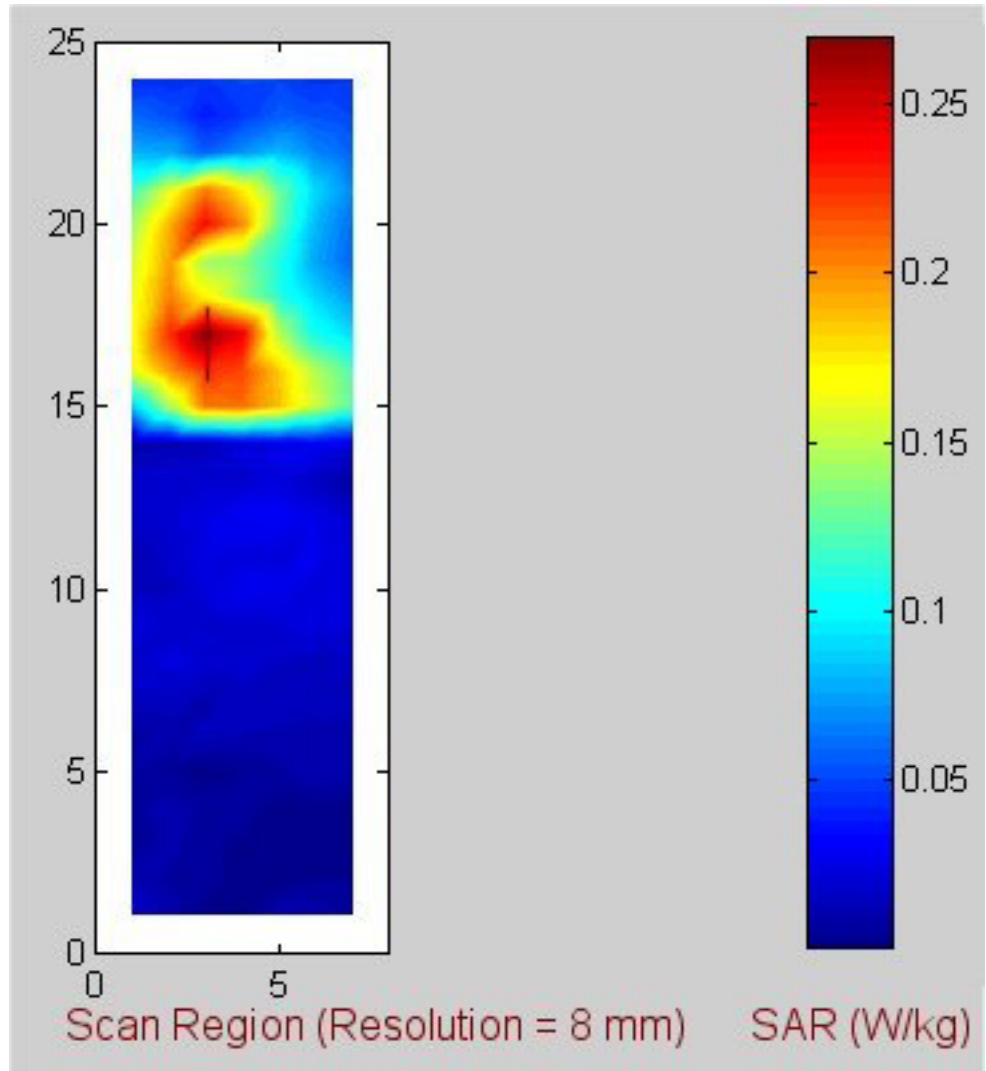


Fig. E-56. Coarse scan for the highest SAR region for the 3Com Model SL-3040 Cardbus Card inserted in Dell Inspiron 4000 host computer. **802.11b band, frequency = 2.412 base mode.**

Table E-56. **Edge-on position (Configuration 2). Base mode at 2.412 GHz.** The SARs measured for the 3Com Model SL-3040 Cardbus Card inserted into Dell Inspiron 4000 host computer.

$$1\text{-g SAR} = 0.243 \text{ W/kg}$$

a. At depth of 1 mm

0.354	0.355	0.348	0.324	0.312
0.305	0.347	0.326	0.322	0.340
0.371	0.364	0.356	0.359	0.326
0.326	0.350	0.355	0.331	0.328
0.347	0.340	0.351	0.345	0.335

b. At depth of 3 mm

0.291	0.294	0.284	0.268	0.261
0.258	0.287	0.276	0.273	0.286
0.304	0.301	0.298	0.298	0.278
0.279	0.293	0.295	0.280	0.275
0.287	0.284	0.289	0.289	0.273

c. At depth of 5 mm

0.236	0.241	0.230	0.219	0.216
0.217	0.235	0.232	0.230	0.239
0.247	0.246	0.248	0.246	0.236
0.237	0.244	0.244	0.237	0.230
0.236	0.236	0.236	0.240	0.222

d. At depth of 7 mm

0.191	0.196	0.186	0.179	0.178
0.182	0.191	0.194	0.193	0.198
0.200	0.201	0.206	0.202	0.199
0.201	0.202	0.201	0.200	0.192
0.194	0.196	0.193	0.199	0.181

e. At depth of 9 mm

0.156	0.159	0.152	0.146	0.146
0.152	0.155	0.162	0.163	0.165
0.163	0.166	0.172	0.167	0.168
0.169	0.167	0.167	0.170	0.162
0.160	0.164	0.160	0.165	0.151

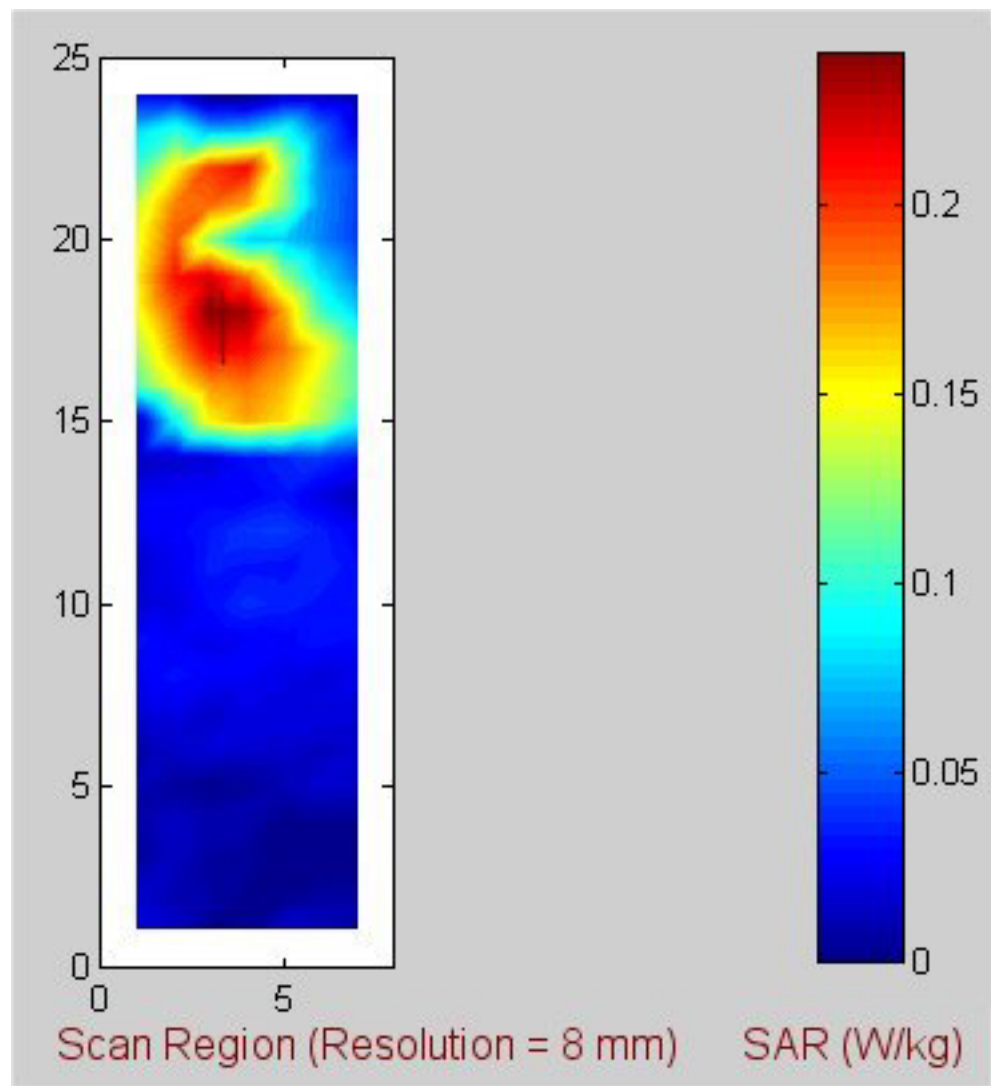


Fig. E-57. Coarse scan for the highest SAR region for the 3Com Model SL-3040 Cardbus Card inserted in Dell Inspiron 4000 host computer. **802.11b band, frequency = 2.437 base mode.**

Table E-57. **Edge-on position (Configuration 2). Base mode at 2.437 GHz.** The SARs measured for the 3Com Model SL-3040 Cardbus Card inserted into Dell Inspiron 4000 host computer.

$$\text{1-g SAR} = 0.219 \text{ W/kg}$$

a. At depth of 1 mm

0.307	0.324	0.305	0.327	0.321
0.301	0.325	0.314	0.312	0.317
0.316	0.331	0.322	0.321	0.305
0.305	0.330	0.295	0.304	0.301
0.311	0.326	0.291	0.315	0.286

b. At depth of 3 mm

0.251	0.263	0.251	0.265	0.261
0.246	0.266	0.260	0.256	0.257
0.260	0.269	0.267	0.266	0.253
0.252	0.272	0.250	0.254	0.248
0.261	0.270	0.248	0.265	0.242

c. At depth of 5 mm

0.204	0.210	0.205	0.212	0.210
0.200	0.216	0.213	0.208	0.206
0.212	0.217	0.219	0.218	0.207
0.207	0.221	0.210	0.211	0.203
0.219	0.222	0.211	0.222	0.204

d. At depth of 7 mm

0.164	0.167	0.165	0.169	0.167
0.161	0.174	0.173	0.168	0.165
0.172	0.173	0.179	0.177	0.169
0.170	0.179	0.175	0.175	0.166
0.183	0.182	0.179	0.186	0.171

e. At depth of 9 mm

0.132	0.132	0.133	0.135	0.134
0.131	0.141	0.141	0.136	0.133
0.140	0.139	0.146	0.143	0.138
0.140	0.145	0.145	0.145	0.137
0.154	0.150	0.152	0.156	0.145

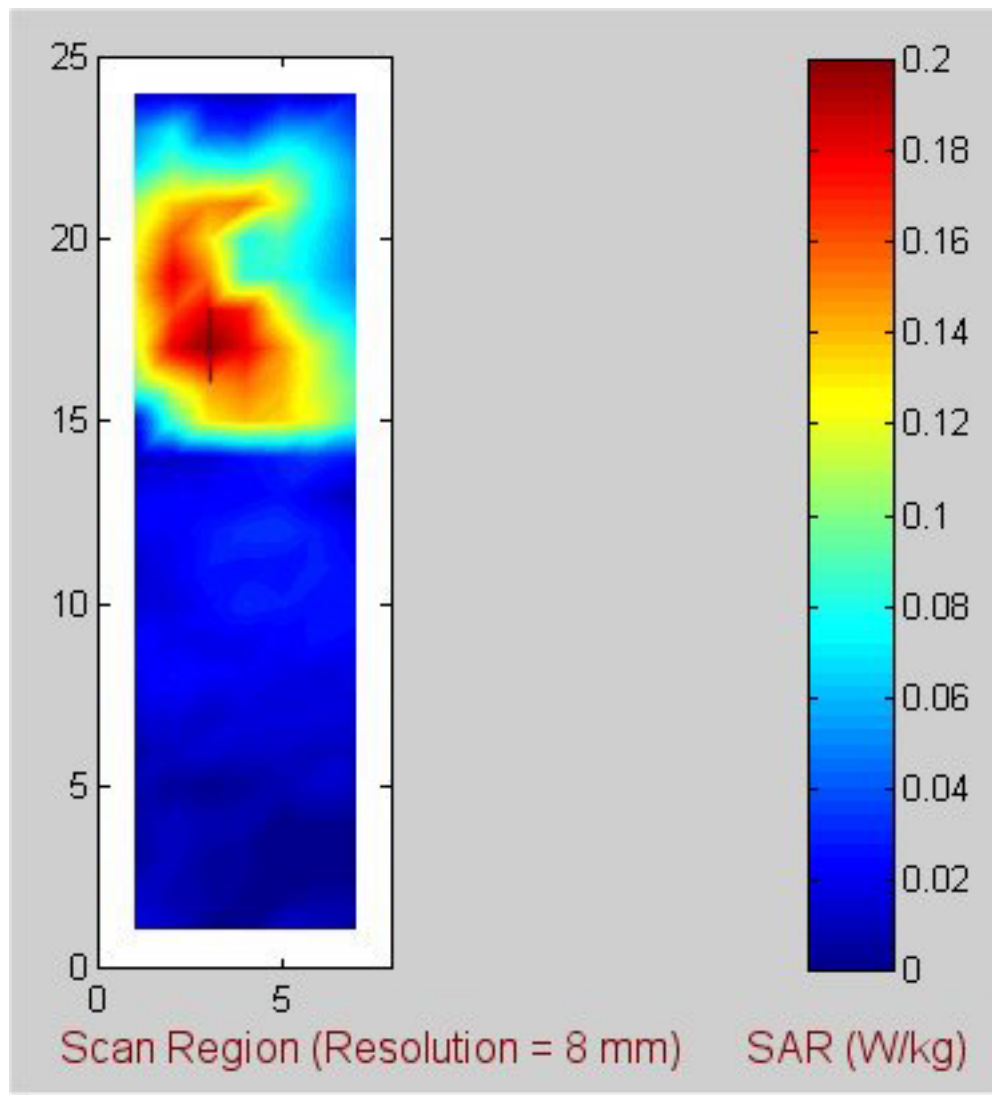


Fig. E-58. Coarse scan for the highest SAR region for the 3Com Model SL-3040 Cardbus Card inserted in Dell Inspiron 4000 host computer. **802.11b band, frequency = 2.462 base mode.**

Table E-58. **Edge-on position (Configuration 2). Base mode at 2.462 GHz.** The SARs measured for the 3Com Model SL-3040 Cardbus Card inserted into Dell Inspiron 4000 host computer.

$$\text{1-g SAR} = 0.183 \text{ W/kg}$$

a. At depth of 1 mm

0.264	0.271	0.270	0.271	0.258
0.276	0.267	0.257	0.255	0.259
0.261	0.264	0.265	0.262	0.242
0.255	0.256	0.262	0.263	0.238
0.251	0.250	0.260	0.248	0.264

b. At depth of 3 mm

0.218	0.222	0.221	0.226	0.214
0.226	0.218	0.213	0.215	0.214
0.214	0.217	0.218	0.219	0.202
0.213	0.210	0.214	0.216	0.202
0.211	0.210	0.214	0.208	0.218

c. At depth of 5 mm

0.178	0.180	0.180	0.186	0.176
0.183	0.176	0.174	0.180	0.175
0.174	0.176	0.179	0.182	0.167
0.177	0.172	0.173	0.176	0.170
0.177	0.175	0.176	0.174	0.180

d. At depth of 7 mm

0.144	0.144	0.146	0.152	0.144
0.147	0.141	0.142	0.149	0.143
0.140	0.143	0.147	0.149	0.138
0.146	0.140	0.140	0.144	0.144
0.149	0.146	0.144	0.147	0.149

e. At depth of 9 mm

0.116	0.115	0.119	0.124	0.119
0.118	0.112	0.115	0.123	0.116
0.113	0.116	0.121	0.122	0.115
0.120	0.116	0.116	0.118	0.122
0.125	0.122	0.120	0.126	0.126

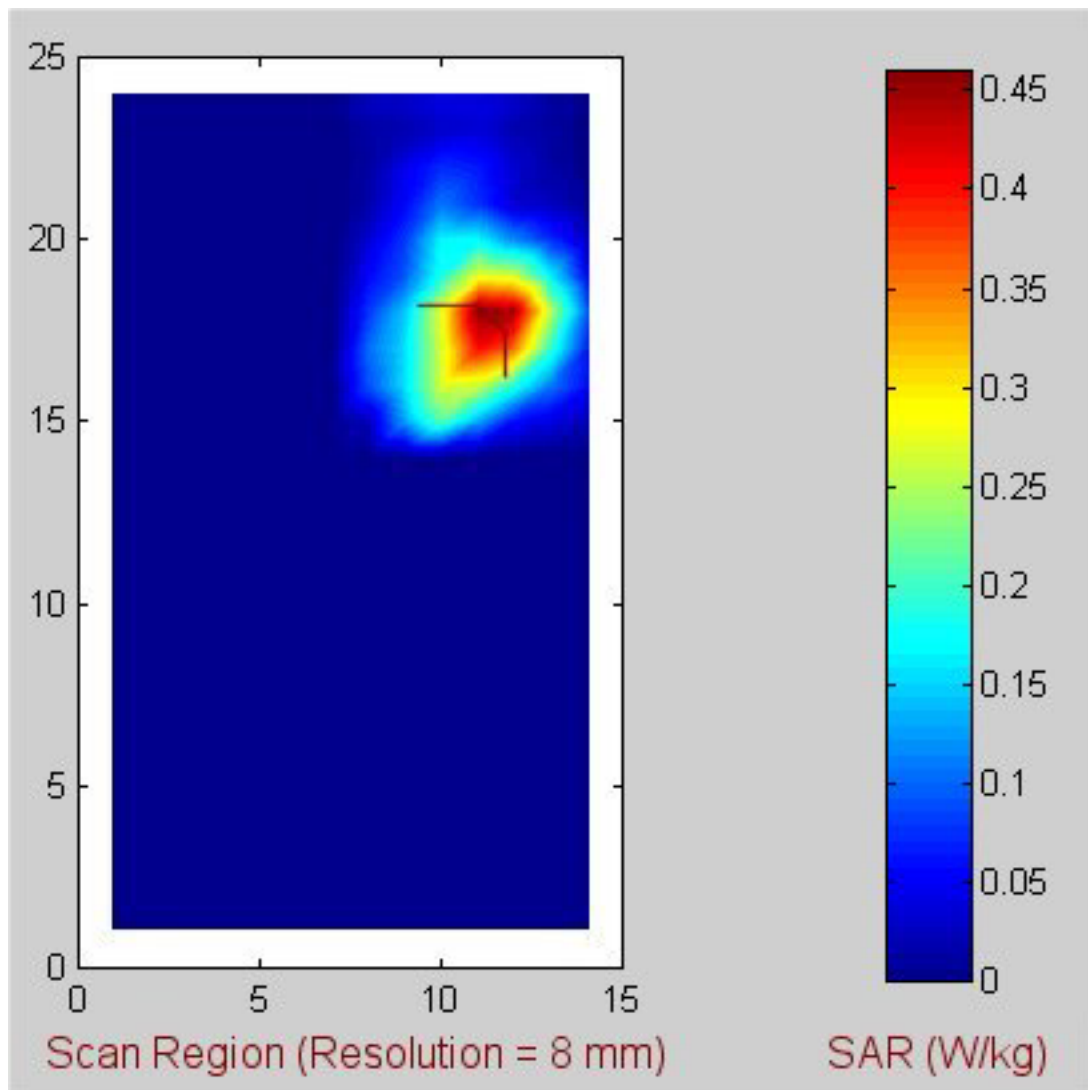


Fig. E-59. Coarse scan for the highest SAR region for the 3Com Model SL-3040 Cardbus Card inserted in Dell Inspiron 4000 host computer. **802.11g band, frequency = 2.412 base mode.**

Table E-59. **Above-lap position (Configuration 1). Base mode at 2.412 GHz.** The SARs measured for the 3Com Model SL-3040 Cardbus Card inserted into Dell Inspiron 4000 host computer.

$$1\text{-g SAR} = 0.397 \text{ W/kg}$$

a. At depth of 1 mm

0.582	0.600	0.585	0.559	0.528
0.612	0.623	0.605	0.597	0.563
0.609	0.628	0.623	0.618	0.560
0.588	0.622	0.600	0.606	0.574
0.564	0.581	0.608	0.585	0.566

b. At depth of 3 mm

0.473	0.488	0.477	0.451	0.423
0.491	0.501	0.488	0.478	0.447
0.491	0.508	0.504	0.494	0.452
0.476	0.501	0.488	0.486	0.463
0.459	0.474	0.490	0.471	0.458

c. At depth of 5 mm

0.380	0.392	0.384	0.358	0.335
0.390	0.397	0.387	0.377	0.350
0.390	0.406	0.403	0.388	0.359
0.380	0.398	0.392	0.385	0.369
0.370	0.383	0.390	0.375	0.365

d. At depth of 7 mm

0.304	0.312	0.306	0.282	0.262
0.306	0.311	0.304	0.293	0.270
0.308	0.321	0.318	0.301	0.283
0.300	0.313	0.311	0.302	0.292
0.296	0.308	0.307	0.295	0.289

e. At depth of 9 mm

0.243	0.247	0.242	0.222	0.205
0.240	0.244	0.237	0.227	0.209
0.244	0.254	0.251	0.232	0.222
0.238	0.246	0.246	0.239	0.230
0.238	0.248	0.241	0.233	0.229

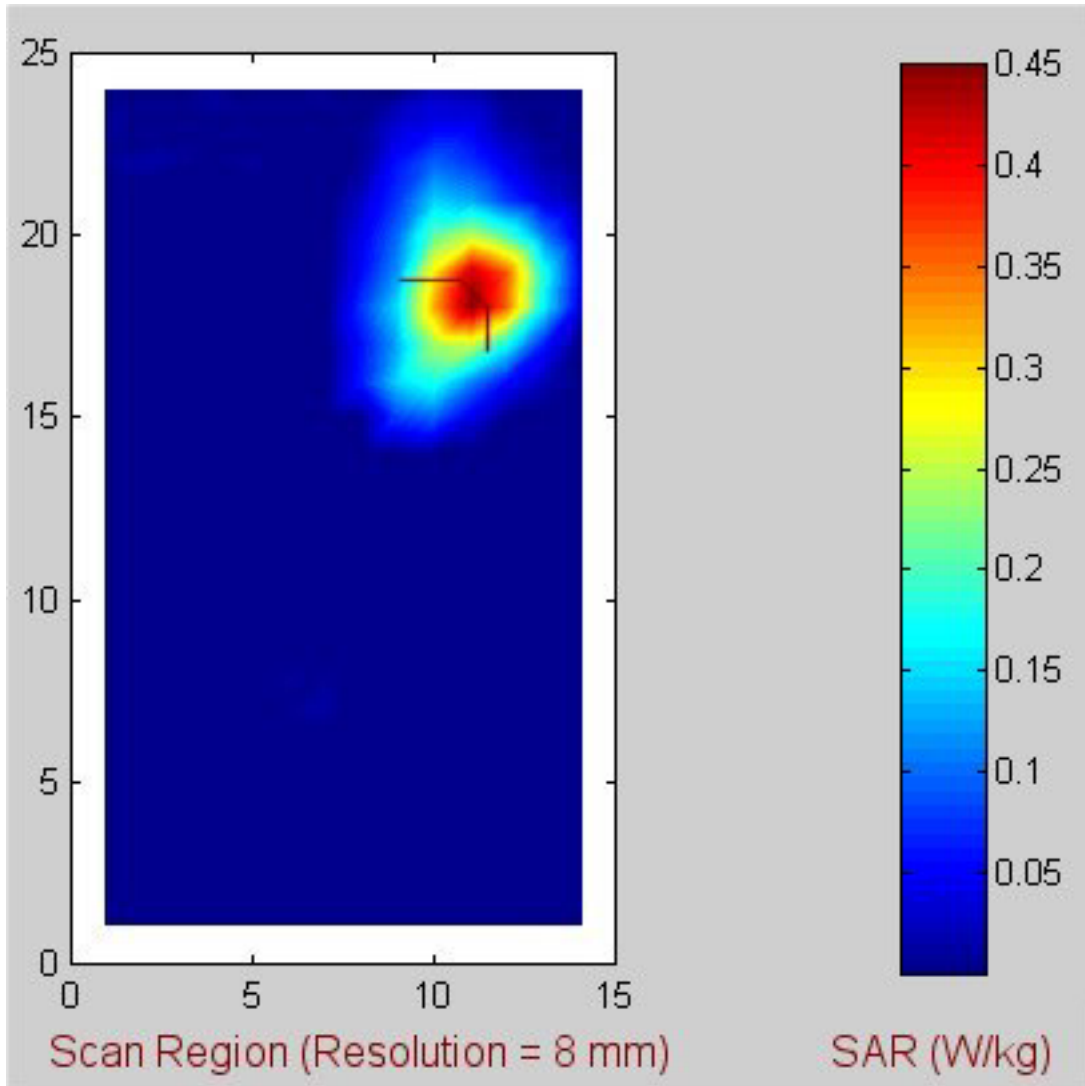


Fig. E-60. Coarse scan for the highest SAR region for the 3Com Model SL-3040 Cardbus Card inserted in Dell Inspiron 4000 host computer. **802.11g band, frequency = 2.437 base mode.**

Table E-60. **Above-lap position (Configuration 1). Base mode at 2.437 GHz.** The SARs measured for the 3Com Model SL-3040 Cardbus Card inserted into Dell Inspiron 4000 host computer.

$$1\text{-g SAR} = 0.382 \text{ W/kg}$$

a. At depth of 1 mm

0.567	0.576	0.584	0.600	0.591
0.573	0.593	0.618	0.619	0.599
0.552	0.596	0.605	0.613	0.610
0.521	0.549	0.591	0.588	0.563
0.465	0.515	0.544	0.550	0.553

b. At depth of 3 mm

0.452	0.464	0.468	0.482	0.473
0.458	0.477	0.494	0.498	0.480
0.445	0.477	0.490	0.493	0.489
0.421	0.447	0.475	0.469	0.452
0.378	0.416	0.439	0.445	0.445

c. At depth of 5 mm

0.354	0.368	0.369	0.382	0.373
0.360	0.378	0.390	0.395	0.379
0.355	0.376	0.391	0.391	0.386
0.336	0.360	0.376	0.366	0.357
0.304	0.332	0.350	0.356	0.353

d. At depth of 7 mm

0.275	0.288	0.288	0.299	0.290
0.280	0.296	0.304	0.310	0.295
0.279	0.293	0.309	0.306	0.301
0.265	0.287	0.293	0.282	0.279
0.242	0.262	0.276	0.282	0.278

e. At depth of 9 mm

0.214	0.224	0.224	0.233	0.224
0.218	0.231	0.236	0.243	0.230
0.220	0.229	0.245	0.239	0.233
0.209	0.229	0.225	0.215	0.216
0.191	0.207	0.218	0.222	0.219

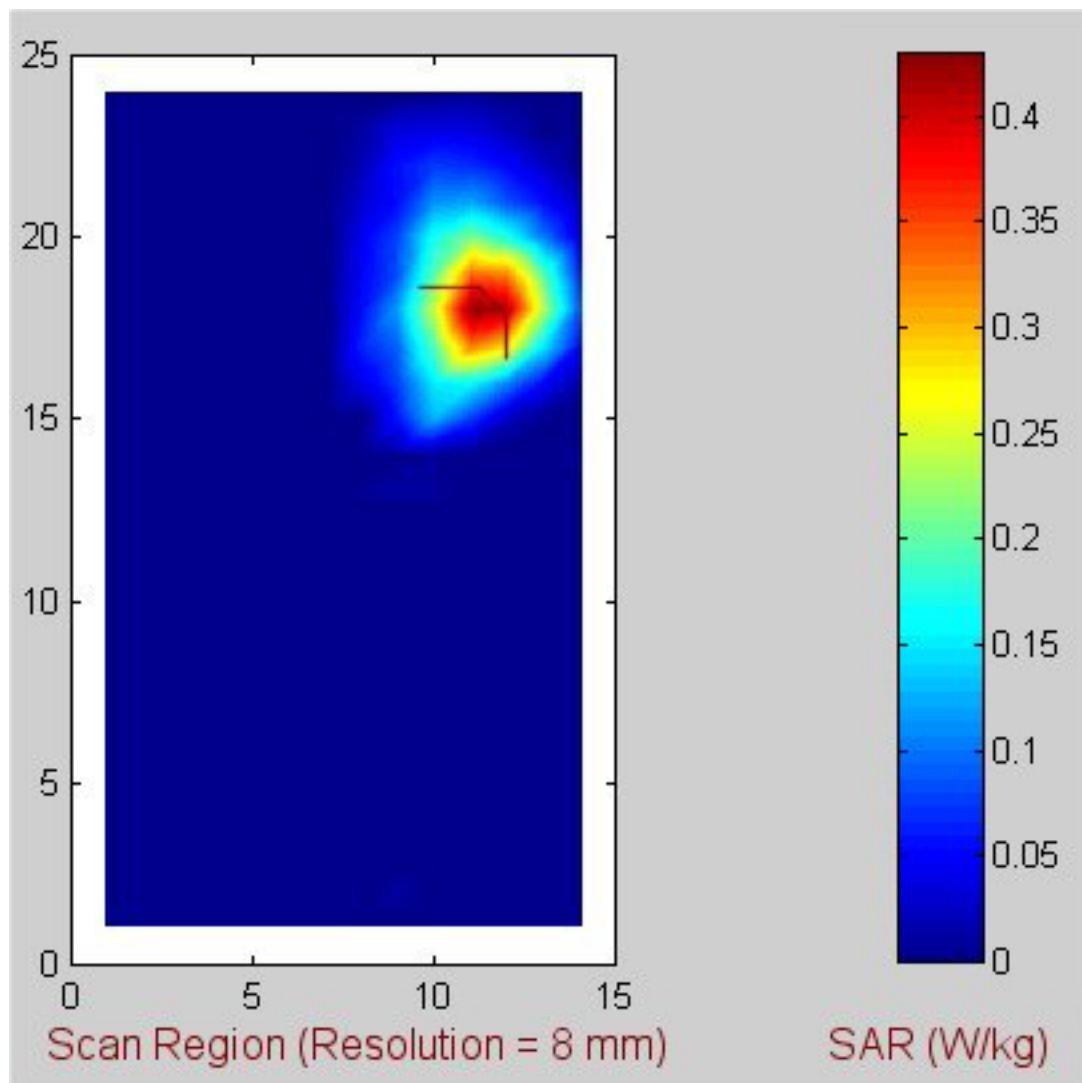


Fig. E-61. Coarse scan for the highest SAR region for the 3Com Model SL-3040 Cardbus Card inserted in Dell Inspiron 4000 host computer. **802.11g band, frequency = 2.462 base mode.**

Table E-61. **Above-lap position (Configuration 1). Base mode at 2.462 GHz.** The SARs measured for the 3Com Model SL-3040 Cardbus Card inserted into Dell Inspiron 4000 host computer.

$$1\text{-g SAR} = 0.377 \text{ W/kg}$$

a. At depth of 1 mm

0.523	0.529	0.538	0.519	0.488
0.568	0.577	0.578	0.557	0.518
0.582	0.596	0.594	0.581	0.538
0.601	0.606	0.597	0.585	0.549
0.589	0.597	0.594	0.575	0.554

b. At depth of 3 mm

0.427	0.429	0.435	0.419	0.396
0.459	0.466	0.467	0.447	0.414
0.468	0.482	0.476	0.466	0.432
0.486	0.484	0.478	0.466	0.441
0.474	0.481	0.475	0.464	0.442

c. At depth of 5 mm

0.344	0.344	0.346	0.334	0.317
0.367	0.371	0.372	0.353	0.325
0.371	0.383	0.376	0.367	0.341
0.387	0.381	0.377	0.365	0.348
0.376	0.383	0.374	0.370	0.347

d. At depth of 7 mm

0.275	0.273	0.272	0.264	0.251
0.291	0.293	0.294	0.276	0.251
0.291	0.301	0.294	0.285	0.266
0.304	0.296	0.294	0.282	0.272
0.295	0.301	0.292	0.291	0.269

e. At depth of 9 mm

0.219	0.215	0.212	0.208	0.199
0.231	0.230	0.231	0.214	0.193
0.229	0.236	0.229	0.221	0.207
0.237	0.230	0.228	0.217	0.211
0.231	0.237	0.228	0.229	0.208

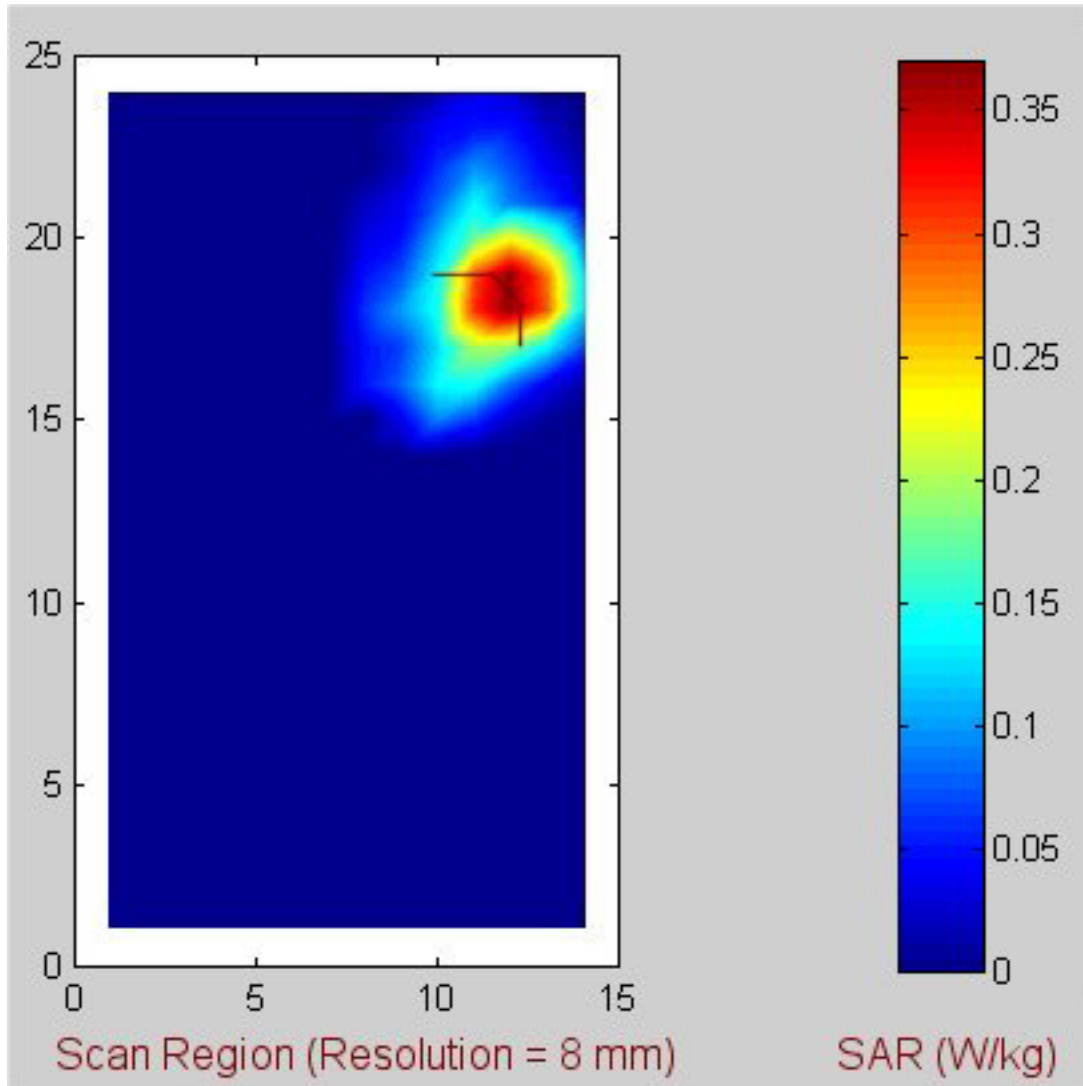


Fig. E-62. Coarse scan for the highest SAR region for the 3Com Model SL-3040 Cardbus Card inserted in Dell Inspiron 4000 host computer. **802.11g band, frequency = 2.437 turbo mode.**

Table E-62. **Above-lap position (Configuration 1). Turbo mode at 2.437 GHz.** The SARs measured for the 3Com Model SL-3040 Cardbus Card inserted into Dell Inspiron 4000 host computer.

$$1\text{-g SAR} = 0.313 \text{ W/kg}$$

a. At depth of 1 mm

0.447	0.549	0.539	0.514	0.489
0.457	0.460	0.455	0.460	0.424
0.490	0.491	0.498	0.484	0.478
0.432	0.436	0.457	0.472	0.477
0.470	0.476	0.495	0.474	0.439

b. At depth of 3 mm

0.357	0.422	0.415	0.397	0.375
0.370	0.380	0.377	0.366	0.336
0.394	0.393	0.399	0.382	0.375
0.358	0.363	0.371	0.383	0.378
0.380	0.383	0.393	0.383	0.359

c. At depth of 5 mm

0.281	0.317	0.312	0.300	0.281
0.296	0.310	0.307	0.286	0.261
0.311	0.310	0.315	0.297	0.289
0.294	0.299	0.297	0.305	0.295
0.303	0.303	0.307	0.305	0.291

d. At depth of 7 mm

0.219	0.234	0.232	0.223	0.207
0.235	0.249	0.247	0.220	0.201
0.242	0.240	0.244	0.227	0.220
0.238	0.243	0.235	0.240	0.227
0.238	0.237	0.237	0.240	0.232

e. At depth of 9 mm

0.172	0.174	0.172	0.166	0.153
0.186	0.199	0.196	0.168	0.154
0.187	0.185	0.188	0.173	0.168
0.192	0.197	0.184	0.187	0.174
0.185	0.184	0.183	0.188	0.185

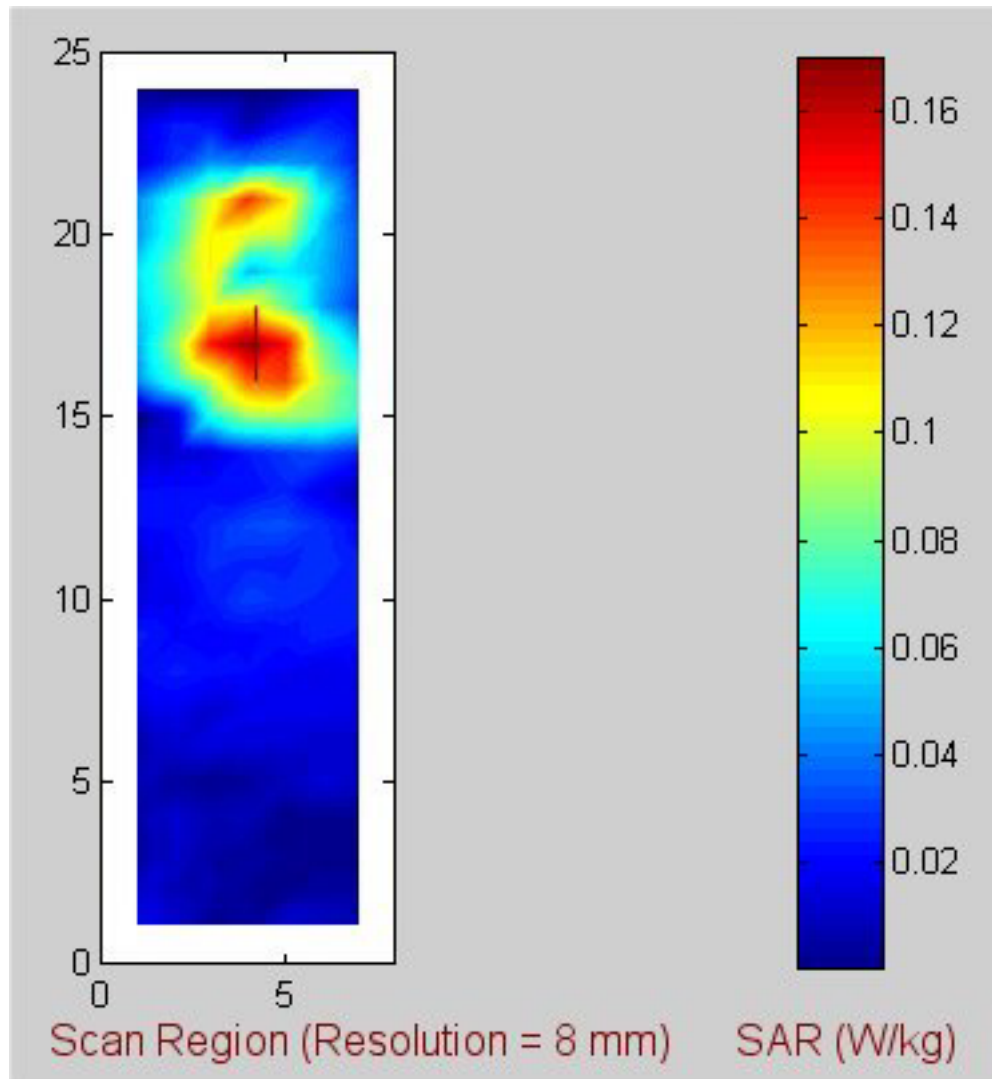


Fig. E-63. Coarse scan for the highest SAR region for the 3Com Model SL-3040 Cardbus Card inserted in Dell Inspiron 4000 host computer. **802.11g band, frequency = 2.412 base mode.**

Table E-63. **Edge-on position (Configuration 2). Base mode at 2.412 GHz.** The SARs measured for the 3Com Model SL-3040 Cardbus Card inserted into Dell Inspiron 4000 host computer.

$$1\text{-g SAR} = 0.143 \text{ W/kg}$$

a. At depth of 1 mm

0.204	0.228	0.223	0.222	0.217
0.199	0.212	0.206	0.219	0.215
0.209	0.209	0.208	0.204	0.207
0.195	0.197	0.201	0.205	0.182
0.174	0.193	0.186	0.206	0.187

b. At depth of 3 mm

0.166	0.185	0.187	0.183	0.180
0.164	0.174	0.175	0.180	0.172
0.169	0.174	0.172	0.169	0.171
0.160	0.162	0.165	0.169	0.152
0.146	0.163	0.157	0.166	0.157

c. At depth of 5 mm

0.134	0.149	0.155	0.149	0.147
0.133	0.142	0.148	0.146	0.136
0.135	0.143	0.140	0.139	0.140
0.130	0.132	0.135	0.139	0.126
0.122	0.136	0.131	0.133	0.130

d. At depth of 7 mm

0.108	0.119	0.127	0.121	0.120
0.108	0.115	0.124	0.118	0.108
0.108	0.117	0.114	0.113	0.114
0.105	0.107	0.110	0.113	0.103
0.102	0.113	0.109	0.106	0.108

e. At depth of 9 mm

0.088	0.094	0.105	0.098	0.097
0.088	0.093	0.103	0.096	0.086
0.088	0.097	0.093	0.092	0.093
0.086	0.087	0.091	0.091	0.084
0.086	0.094	0.091	0.085	0.090

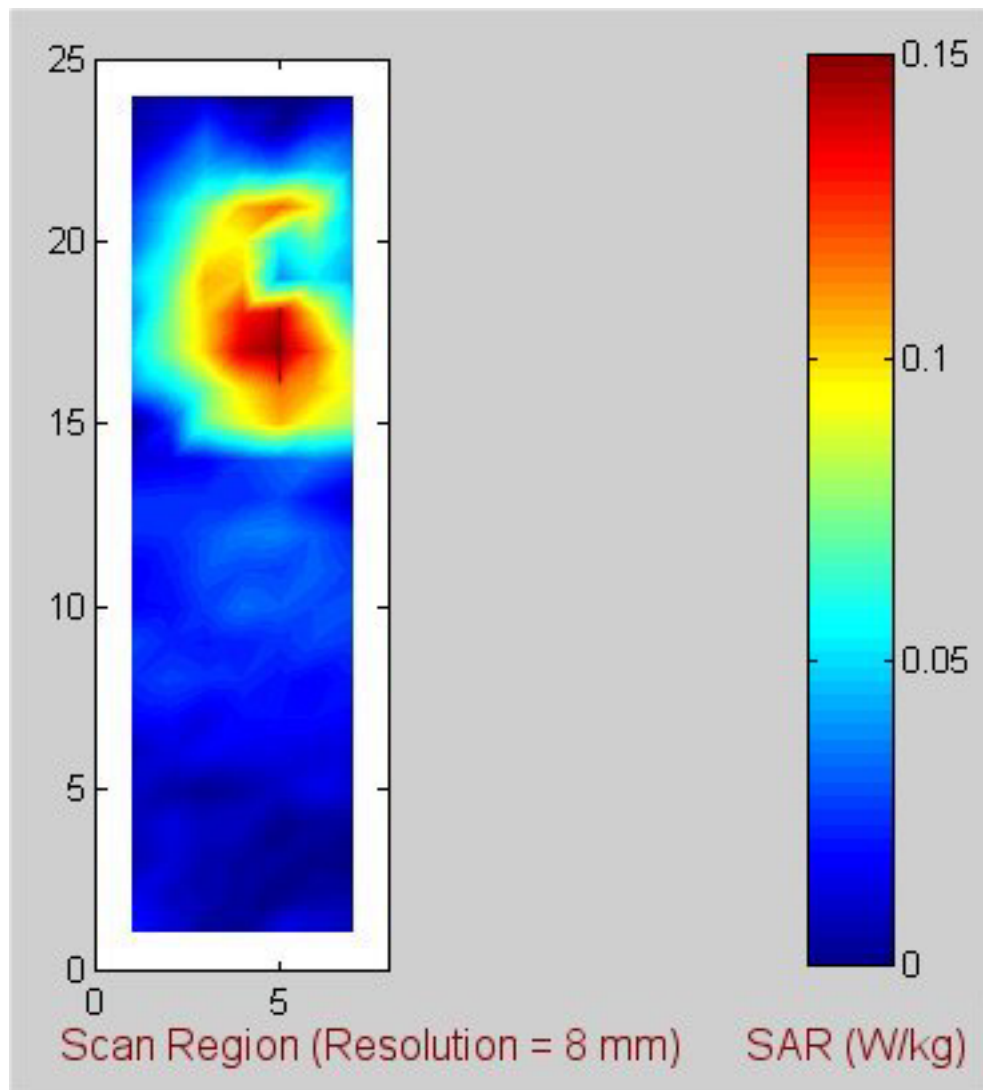


Fig. E-64. Coarse scan for the highest SAR region for the 3Com Model SL-3040 Cardbus Card inserted in Dell Inspiron 4000 host computer. **802.11g band, frequency = 2.437 base mode.**

Table E-64. **Edge-on position (Configuration 2). Base mode at 2.437 GHz.** The SARs measured for the 3Com Model SL-3040 Cardbus Card inserted into Dell Inspiron 4000 host computer.

$$1\text{-g SAR} = 0.130 \text{ W/kg}$$

a. At depth of 1 mm

0.193	0.205	0.194	0.198	0.194
0.197	0.193	0.201	0.204	0.200
0.191	0.200	0.191	0.188	0.182
0.168	0.179	0.181	0.196	0.181
0.176	0.183	0.179	0.179	0.180

b. At depth of 3 mm

0.155	0.165	0.160	0.159	0.156
0.156	0.158	0.162	0.165	0.163
0.154	0.162	0.158	0.155	0.148
0.139	0.145	0.148	0.158	0.148
0.144	0.153	0.152	0.155	0.157

c. At depth of 5 mm

0.123	0.130	0.129	0.125	0.124
0.122	0.128	0.129	0.131	0.130
0.123	0.130	0.130	0.126	0.118
0.113	0.117	0.119	0.125	0.119
0.116	0.126	0.128	0.133	0.136

d. At depth of 7 mm

0.097	0.101	0.103	0.098	0.096
0.094	0.103	0.101	0.103	0.103
0.098	0.103	0.106	0.101	0.093
0.091	0.093	0.095	0.099	0.095
0.094	0.104	0.107	0.114	0.118

e. At depth of 9 mm

0.076	0.077	0.081	0.077	0.075
0.072	0.081	0.079	0.081	0.081
0.078	0.082	0.086	0.081	0.072
0.072	0.075	0.076	0.079	0.075
0.076	0.085	0.090	0.097	0.102

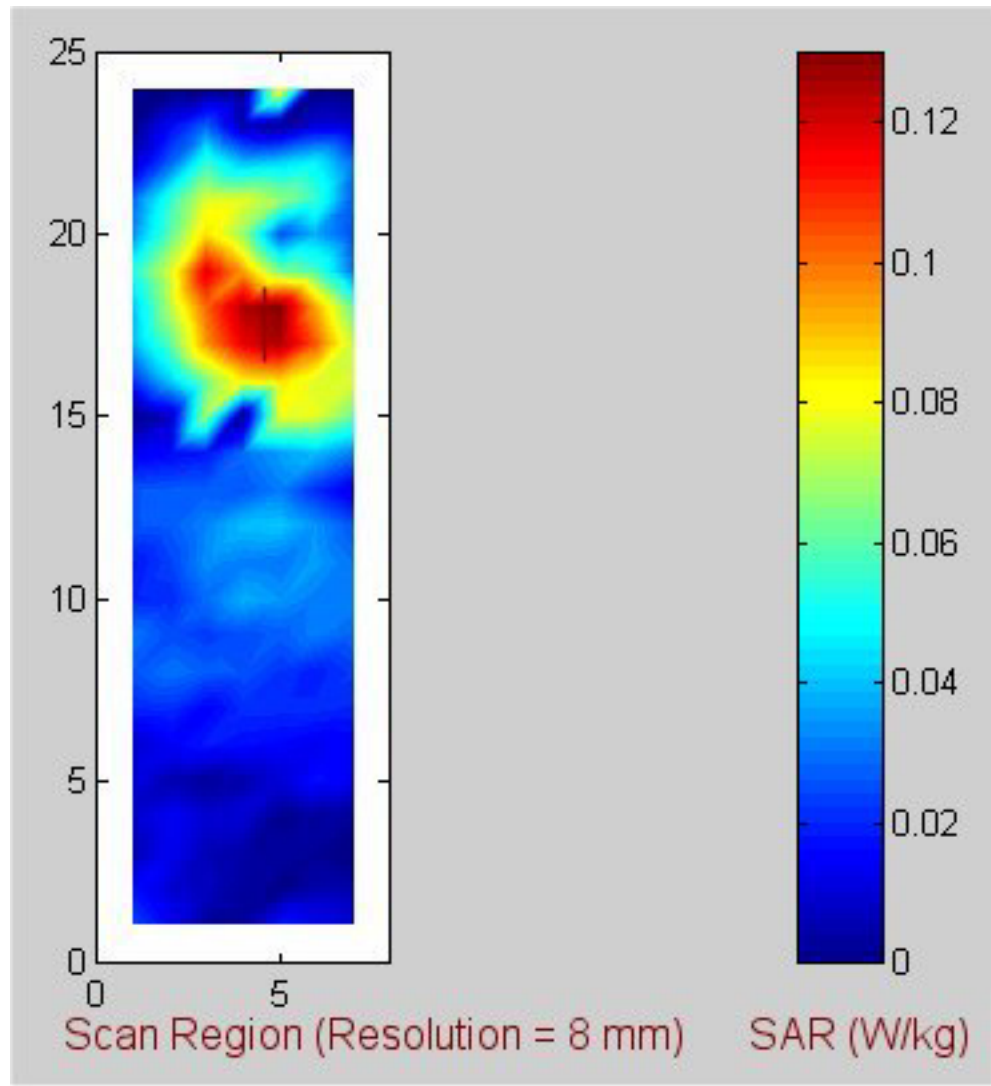


Fig. E-65. Coarse scan for the highest SAR region for the 3Com Model SL-3040 Cardbus Card inserted in Dell Inspiron 4000 host computer. **802.11g band, frequency = 2.462 base mode.**

Table E-65. **Edge-on position (Configuration 2). Base mode at 2.462 GHz.** The SARs measured for the 3Com Model SL-3040 Cardbus Card inserted into Dell Inspiron 4000 host computer.

$$1\text{-g SAR} = 0.123 \text{ W/kg}$$

a. At depth of 1 mm

0.181	0.183	0.187	0.175	0.178
0.190	0.183	0.182	0.176	0.179
0.170	0.182	0.187	0.181	0.178
0.176	0.152	0.173	0.173	0.168
0.171	0.174	0.182	0.180	0.185

b. At depth of 3 mm

0.146	0.147	0.149	0.140	0.147
0.150	0.149	0.146	0.142	0.148
0.139	0.151	0.154	0.150	0.146
0.142	0.128	0.144	0.142	0.142
0.142	0.149	0.151	0.152	0.155

c. At depth of 5 mm

0.116	0.116	0.117	0.110	0.120
0.117	0.118	0.115	0.112	0.120
0.113	0.124	0.125	0.122	0.119
0.112	0.107	0.119	0.116	0.119
0.118	0.126	0.125	0.127	0.128

d. At depth of 7 mm

0.091	0.090	0.090	0.086	0.098
0.090	0.093	0.089	0.088	0.096
0.091	0.101	0.102	0.099	0.096
0.088	0.089	0.098	0.095	0.099
0.098	0.106	0.103	0.107	0.106

e. At depth of 9 mm

0.071	0.070	0.069	0.068	0.080
0.069	0.072	0.069	0.069	0.077
0.072	0.082	0.083	0.081	0.078
0.069	0.074	0.081	0.078	0.083
0.083	0.089	0.086	0.091	0.088

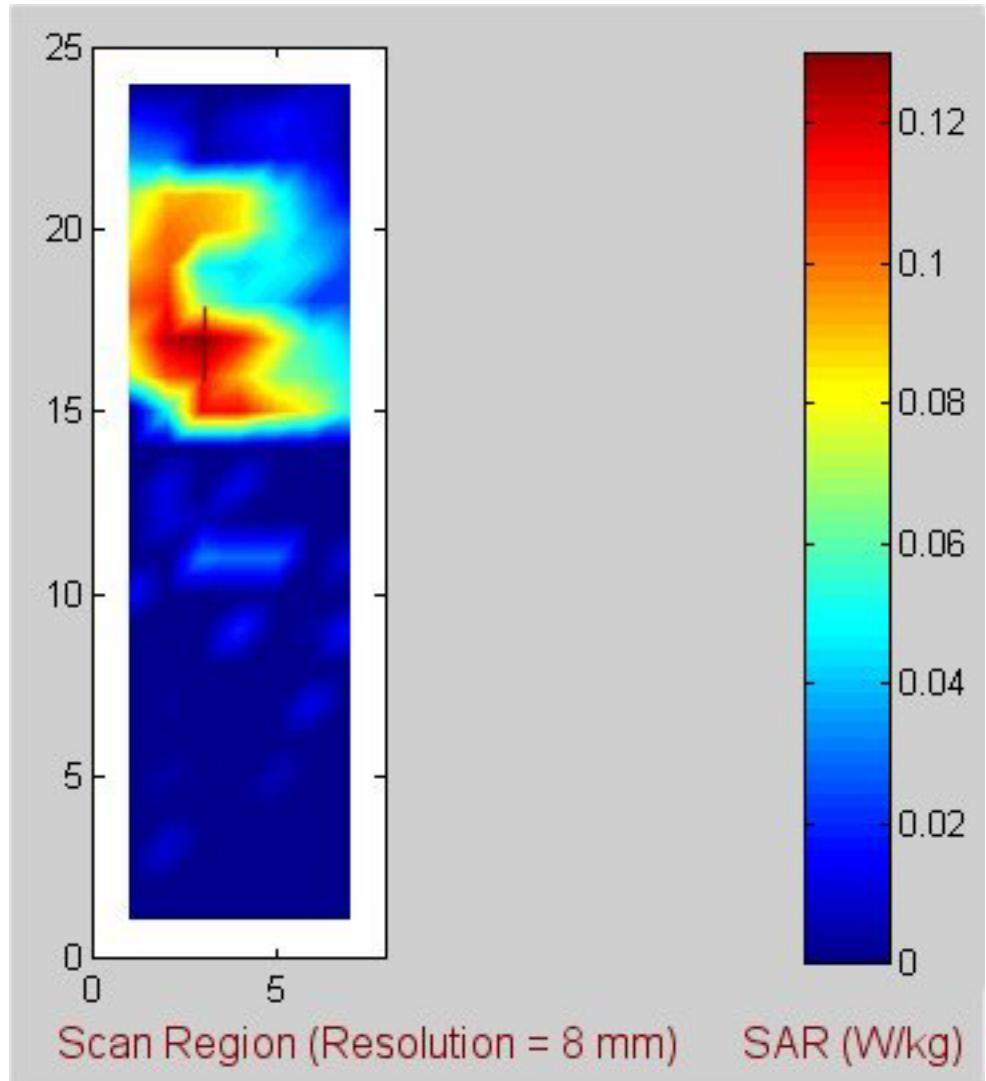


Fig. E-66. Coarse scan for the highest SAR region for the 3Com Model SL-3040 Cardbus Card inserted in Dell Inspiron 4000 host computer. **802.11g band, frequency = 2.437 turbo mode.**

Table E-66. **Edge-on position (Configuration 2). Turbo mode at 2.437 GHz.** The SARs measured for the 3Com Model SL-3040 Cardbus Card inserted into Dell Inspiron 4000 host computer.

$$1\text{-g SAR} = 0.120 \text{ W/kg}$$

a. At depth of 1 mm

0.160	0.158	0.149	0.160	0.154
0.160	0.162	0.170	0.173	0.159
0.169	0.146	0.158	0.154	0.142
0.170	0.177	0.177	0.166	0.163
0.165	0.168	0.161	0.163	0.162

b. At depth of 3 mm

0.133	0.136	0.127	0.135	0.133
0.139	0.138	0.143	0.146	0.137
0.140	0.131	0.134	0.134	0.124
0.147	0.148	0.144	0.138	0.138
0.140	0.144	0.139	0.138	0.137

c. At depth of 5 mm

0.110	0.116	0.107	0.114	0.114
0.120	0.117	0.120	0.122	0.117
0.116	0.116	0.114	0.116	0.108
0.127	0.124	0.116	0.115	0.117
0.119	0.122	0.121	0.117	0.116

d. At depth of 7 mm

0.092	0.099	0.090	0.096	0.099
0.103	0.100	0.101	0.102	0.100
0.096	0.102	0.097	0.101	0.094
0.109	0.104	0.093	0.096	0.099
0.102	0.104	0.104	0.099	0.098

e. At depth of 9 mm

0.077	0.083	0.076	0.082	0.086
0.089	0.086	0.085	0.086	0.085
0.080	0.088	0.083	0.087	0.082
0.094	0.088	0.077	0.082	0.085
0.090	0.089	0.090	0.086	0.084

APPENDIX F

VARIATION OF SAR AS A FUNCTION OF DEPTH Z IN THE LIQUID FOR LOCATIONS OF THE HIGHEST SAR (FROM TABLES E-1 TO E-66)

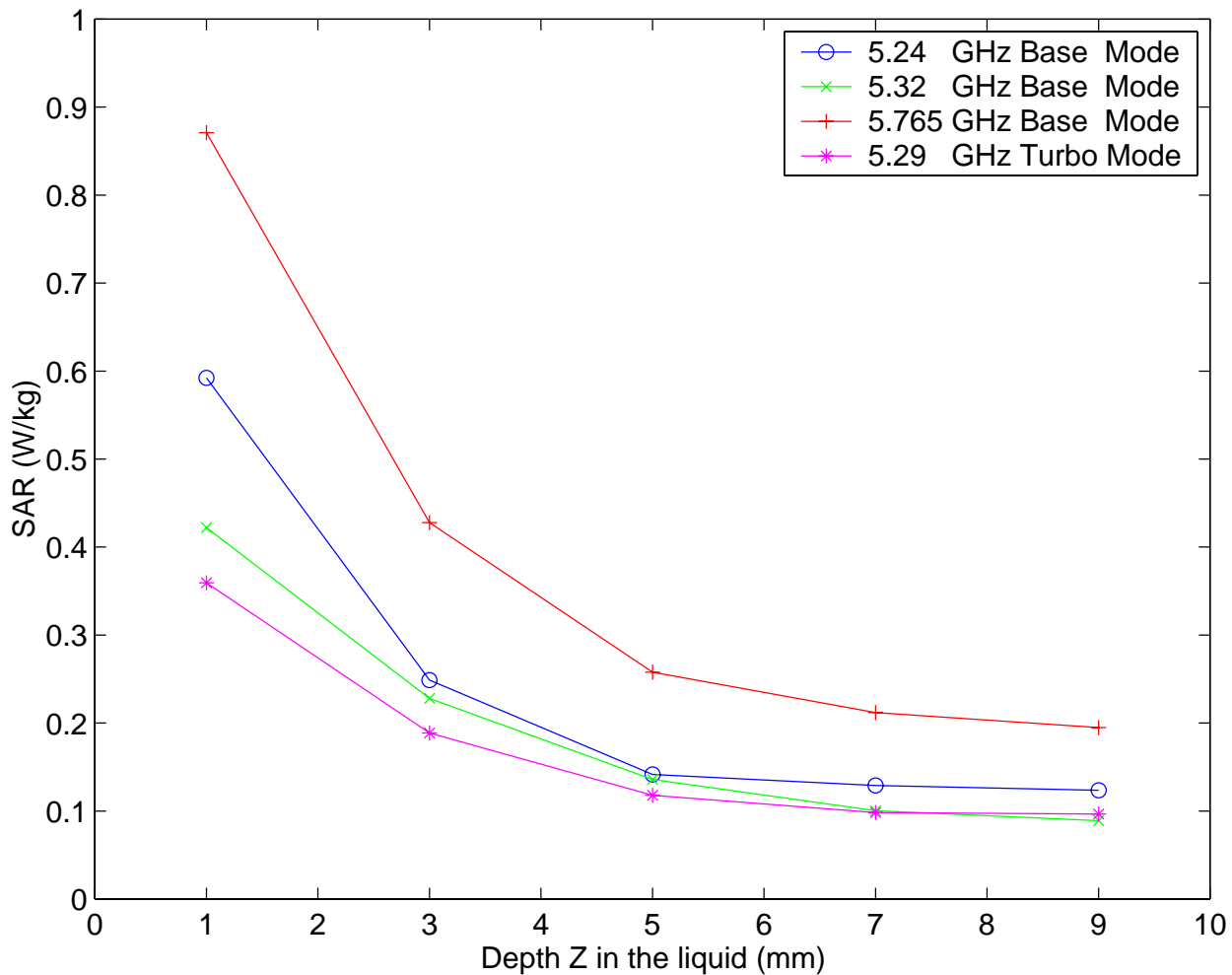


Fig. F-1. **Above-lap, Configuration 1. 802.11a band.** Plot of the SAR variation as a function of depth Z in the liquid for locations of the highest SAR for the 3Com Model SL-3040 Cardbus Card inserted into Toshiba Tecra 750 DVD host computer (from Tables E-1 to E-4).

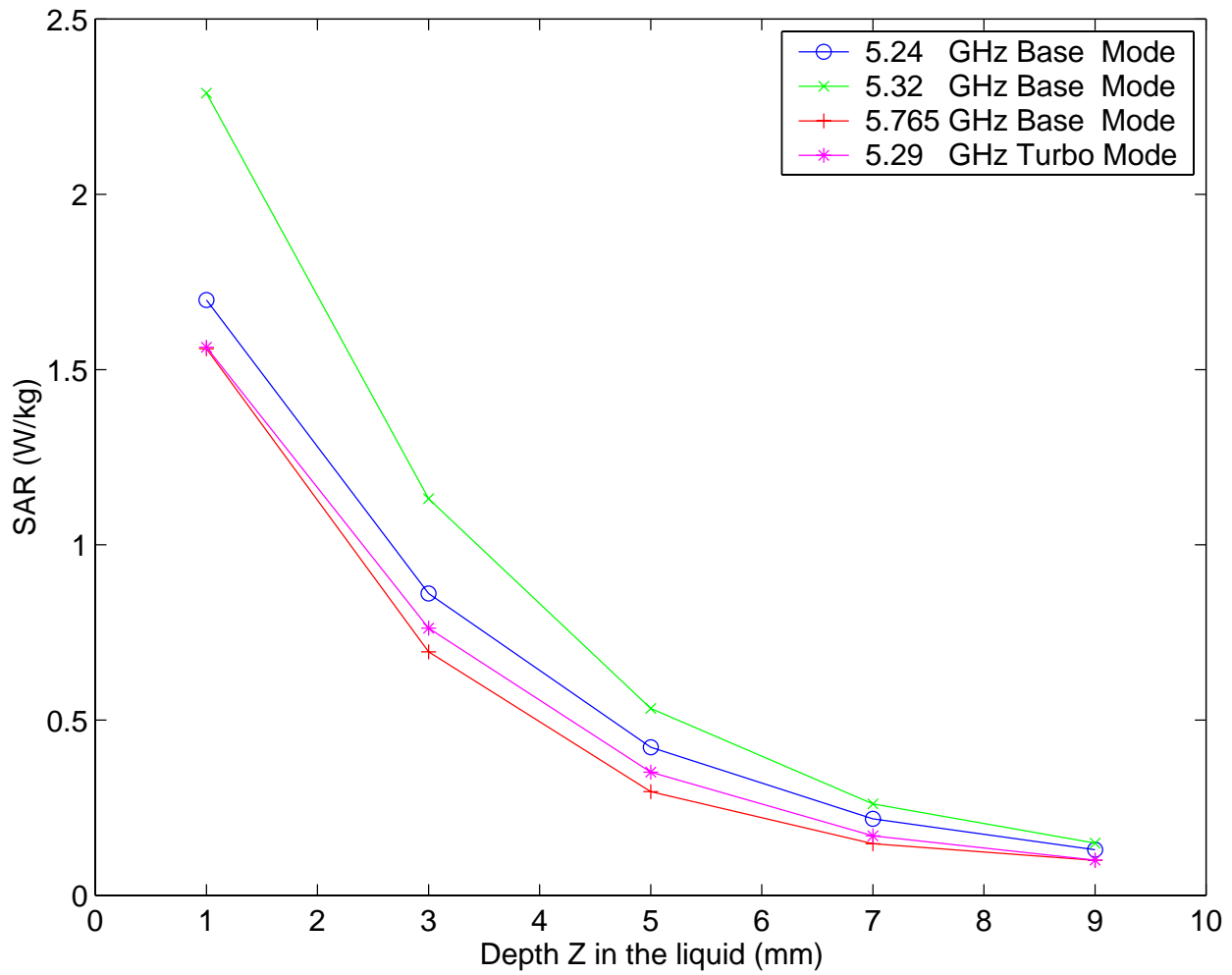


Fig. F-2. **Edge-on, Configuration 2. 802.11a band.** Plot of the SAR variation as a function of depth Z in the liquid for locations of the highest SAR for the 3Com Model SL-3040 Cardbus Card inserted into Toshiba Tecra 750 DVD host computer (from Tables E-5 to E-8).

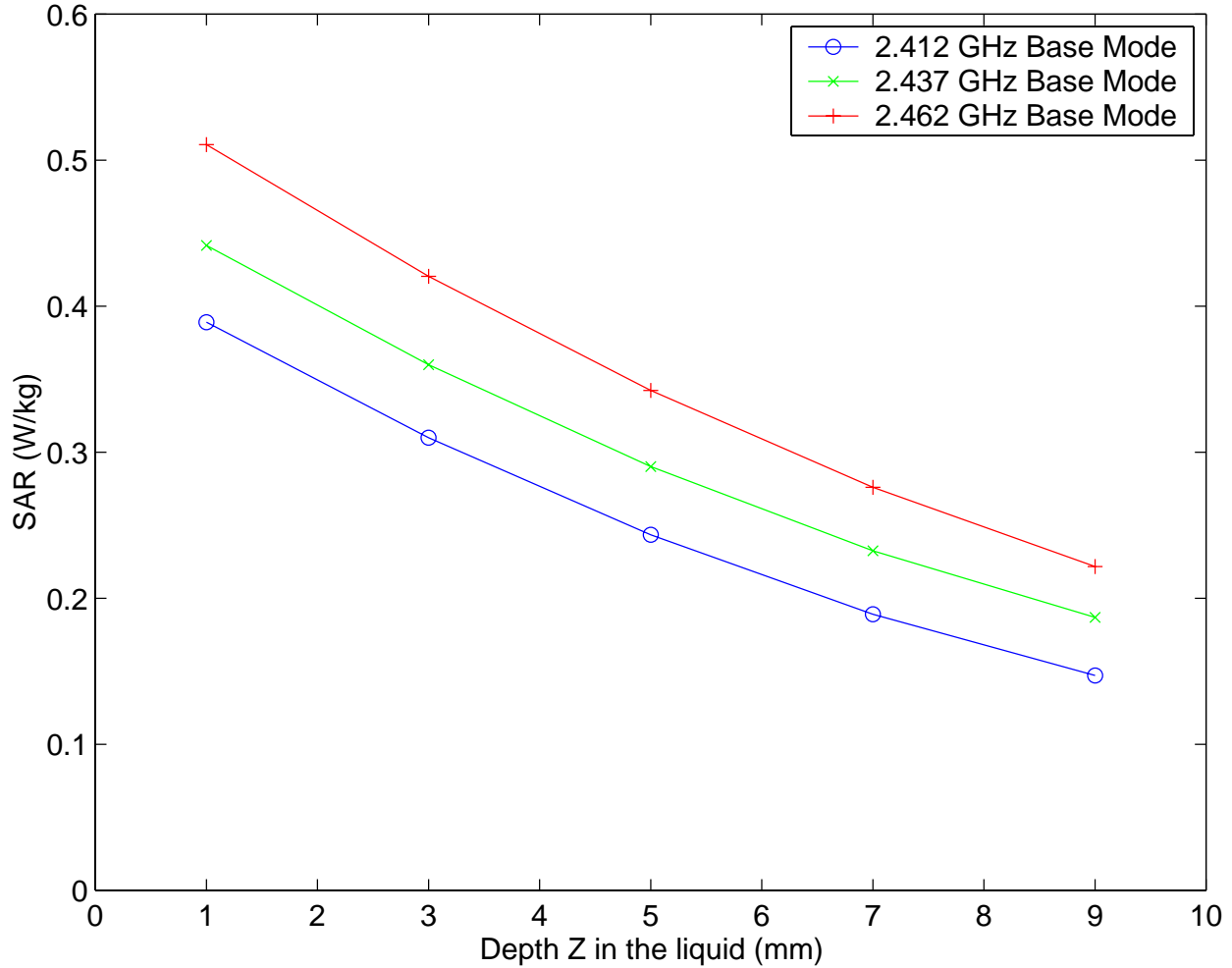


Fig. F-3. **Above-lap, Configuration 1. 802.11b band.** Plot of the SAR variation as a function of depth Z in the liquid for locations of the highest SAR for the 3Com Model SL-3040 Cardbus Card inserted into Toshiba Tecra 750 DVD host computer (from Tables E-9 to E-11).

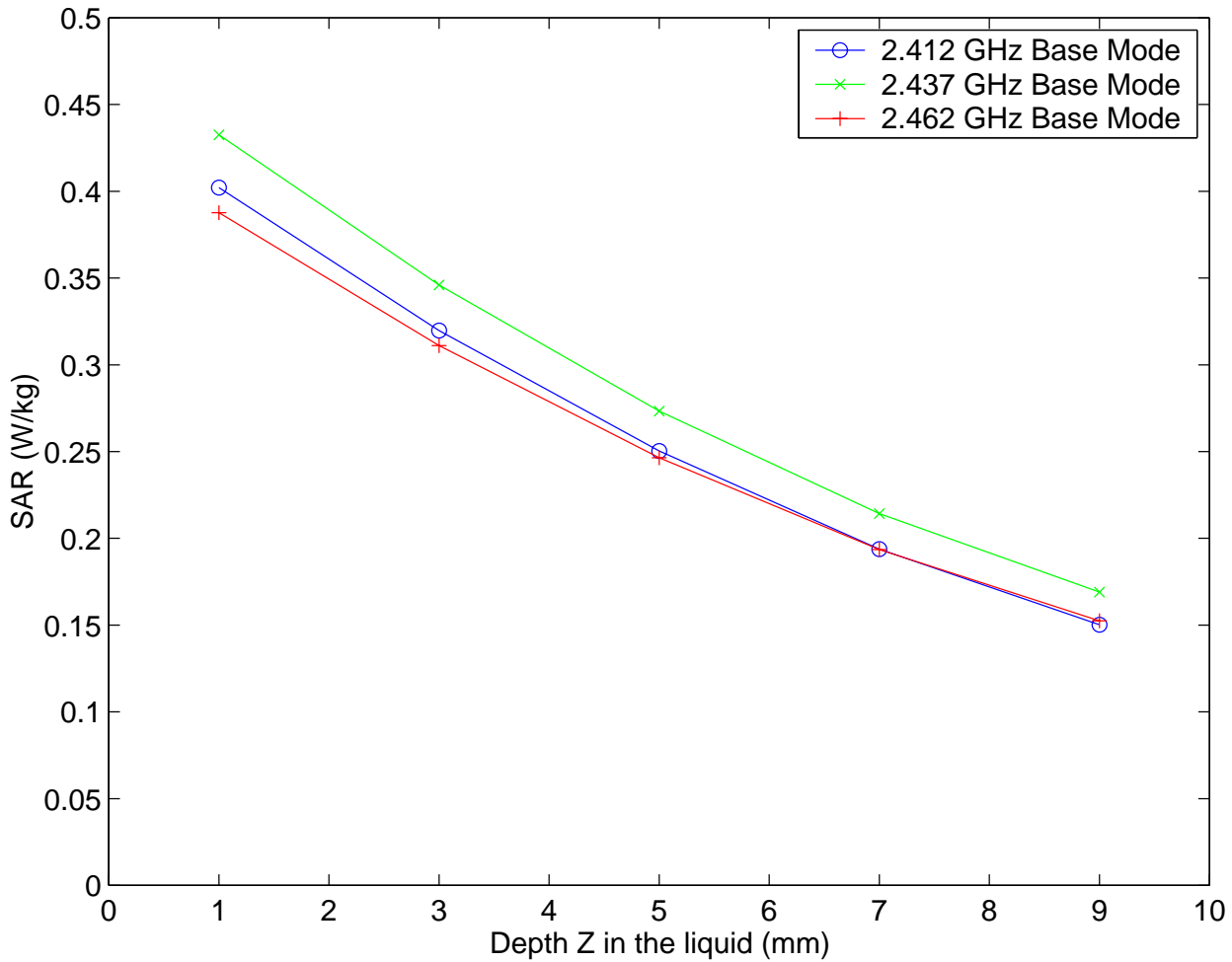


Fig. F-4. **Edge-on, Configuration 2. 802.11b band.** Plot of the SAR variation as a function of depth Z in the liquid for locations of the highest SAR for the 3Com Model SL-3040 Cardbus Card inserted into Toshiba Tecra 750 DVD host computer (from Tables E-12 to E-14).

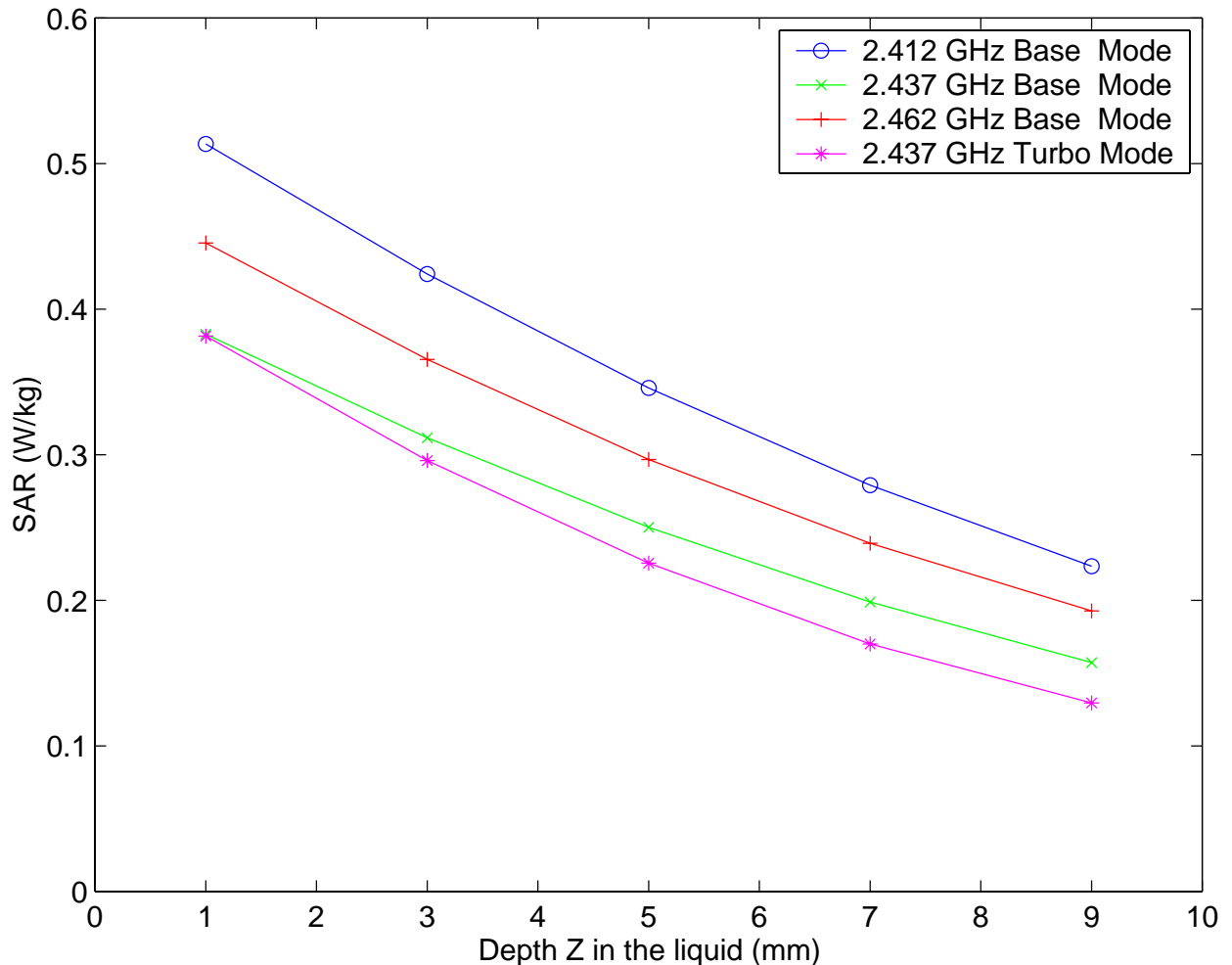


Fig. F-5. **Above-lap, Configuration 1. 802.11g band.** Plot of the SAR variation as a function of depth Z in the liquid for locations of the highest SAR for the 3Com Model SL-3040 Cardbus Card inserted into Toshiba Tecra 750 DVD host computer (from Tables E-15 to E-18).

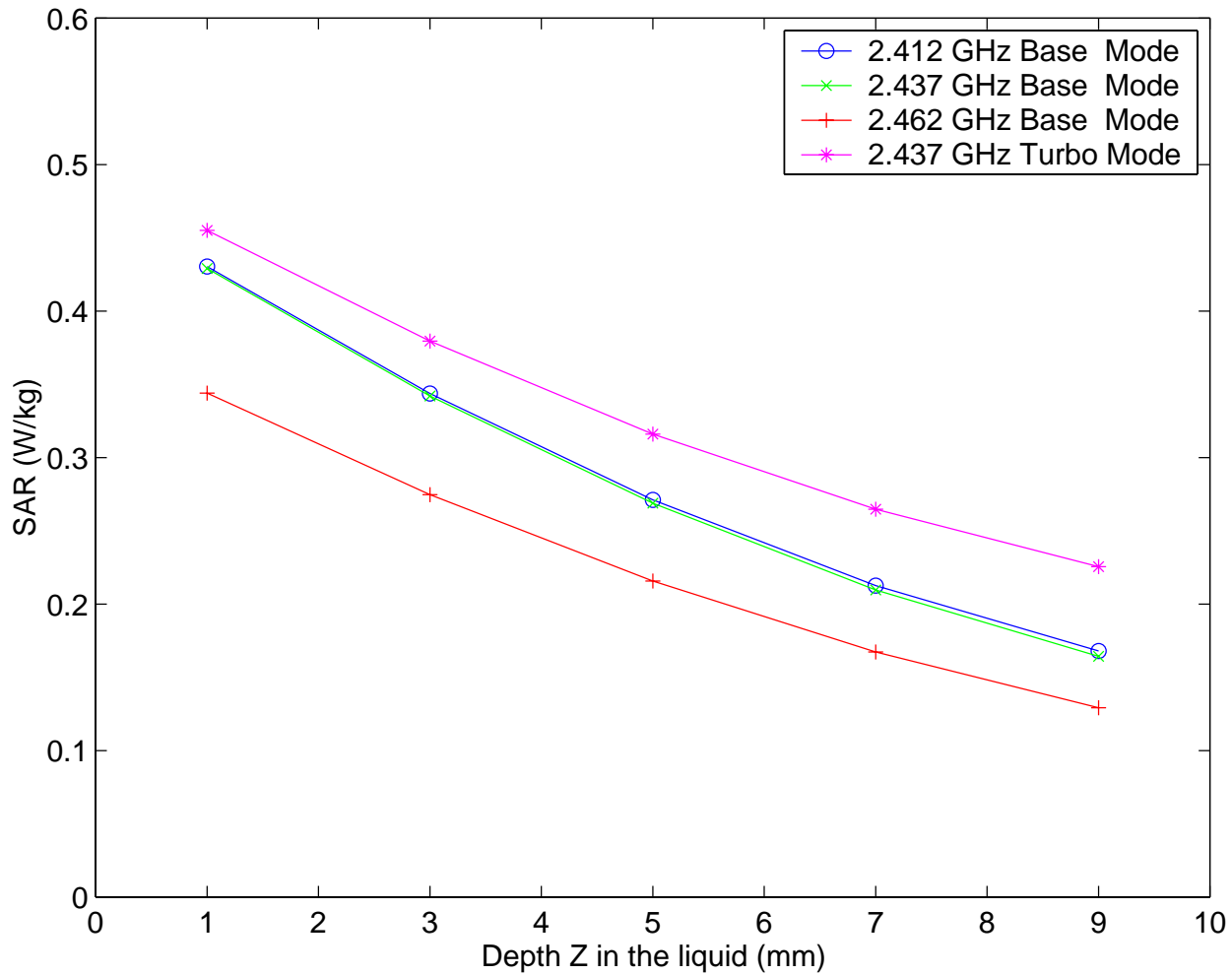


Fig. F-6. **Edge-on, Configuration 2. 802.11g band.** Plot of the SAR variation as a function of depth Z in the liquid for locations of the highest SAR for the 3Com Model SL-3040 Cardbus Card inserted into Toshiba Tecra 750 DVD host computer (from Tables E-19 to E-22).

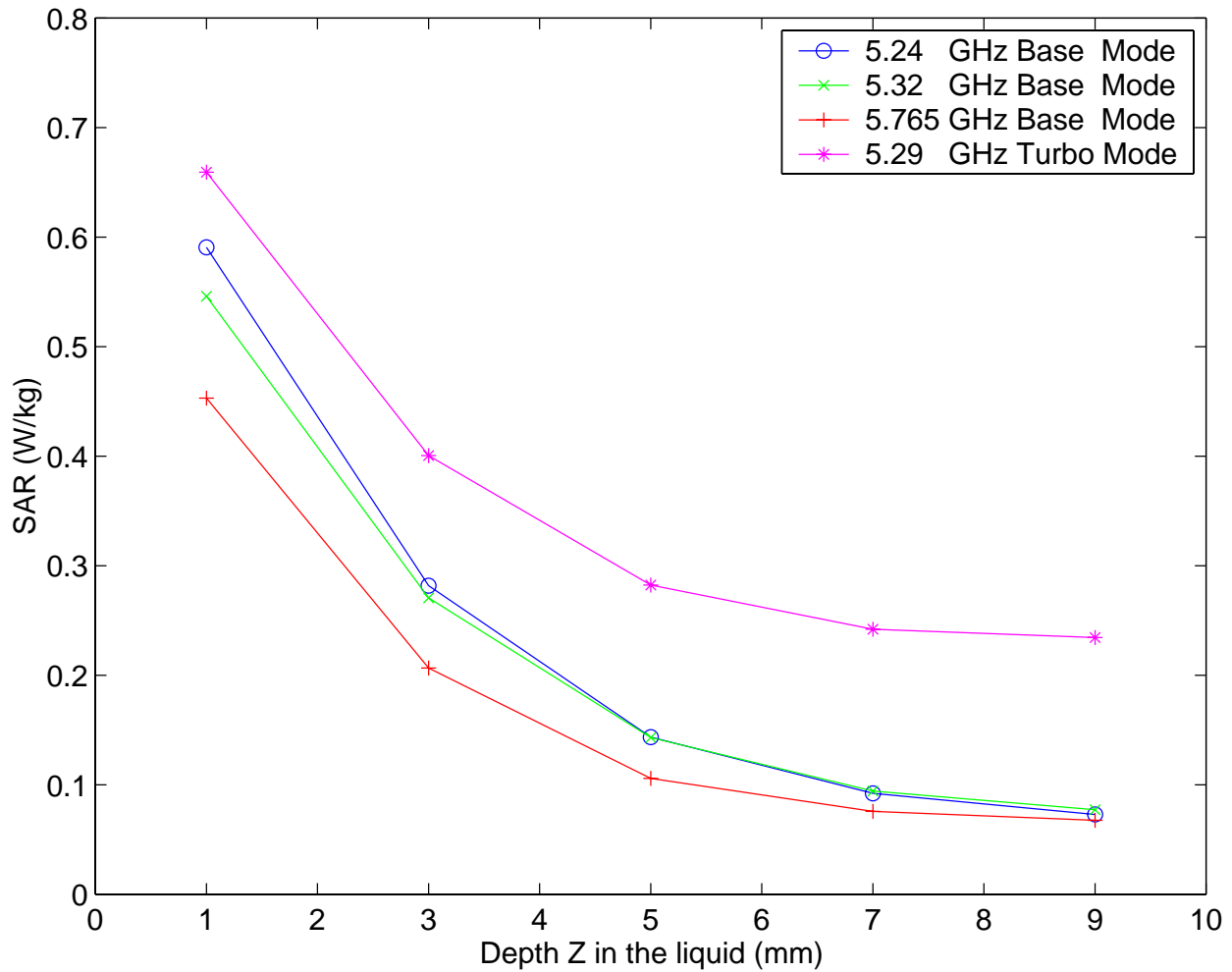


Fig. F-7. **Above-lap, Configuration 1. 802.11a band.** Plot of the SAR variation as a function of depth Z in the liquid for locations of the highest SAR for the 3Com Model SL-3040 Cardbus Card inserted into HP Pavillion host computer (from Tables E-23 to E-26).

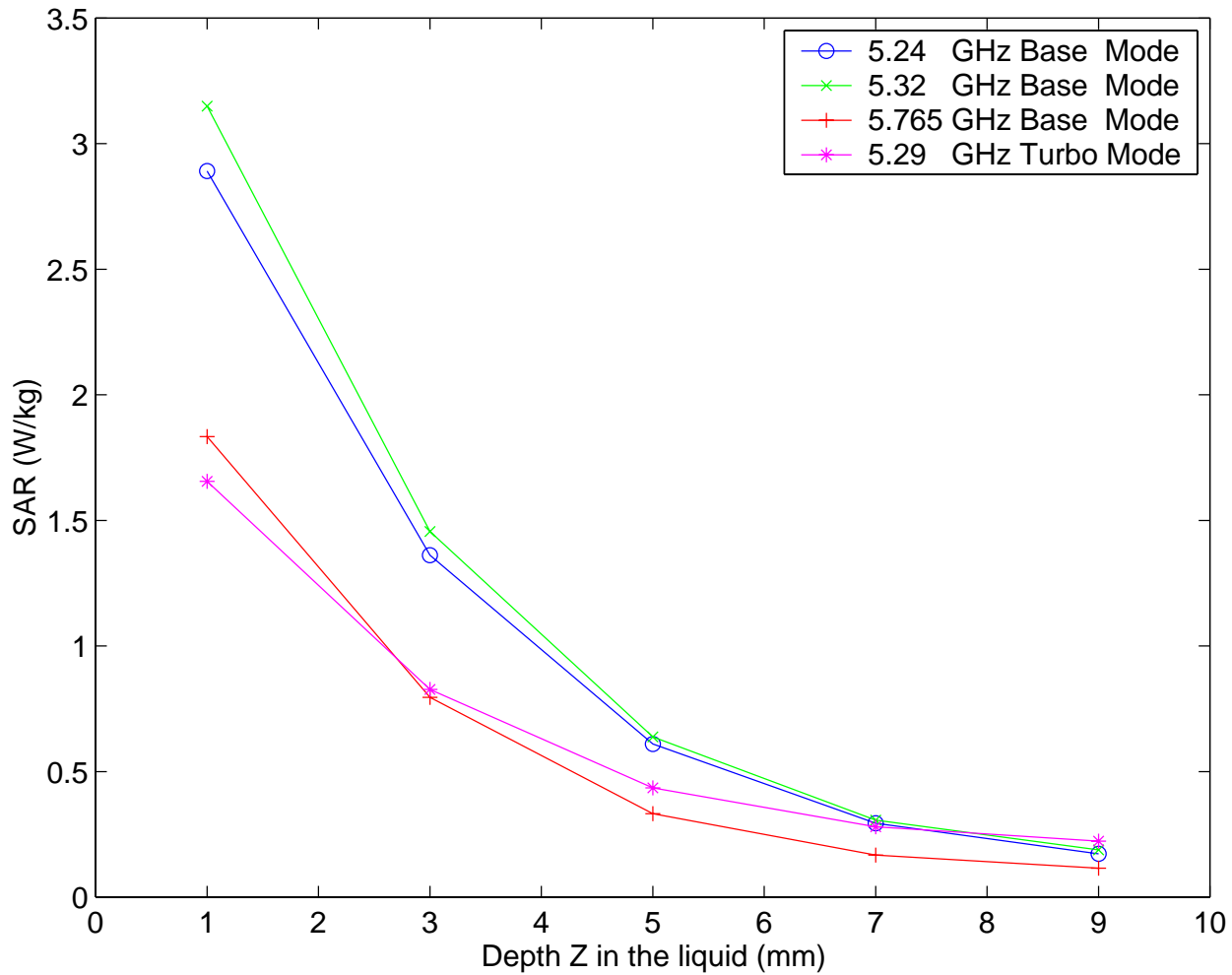


Fig. F-8. **Edge-on, Configuration 2. 802.11a band.** Plot of the SAR variation as a function of depth Z in the liquid for locations of the highest SAR for the 3Com Model SL-3040 Cardbus Card inserted into HP Pavilion host computer (from Tables E-27 to E-30).

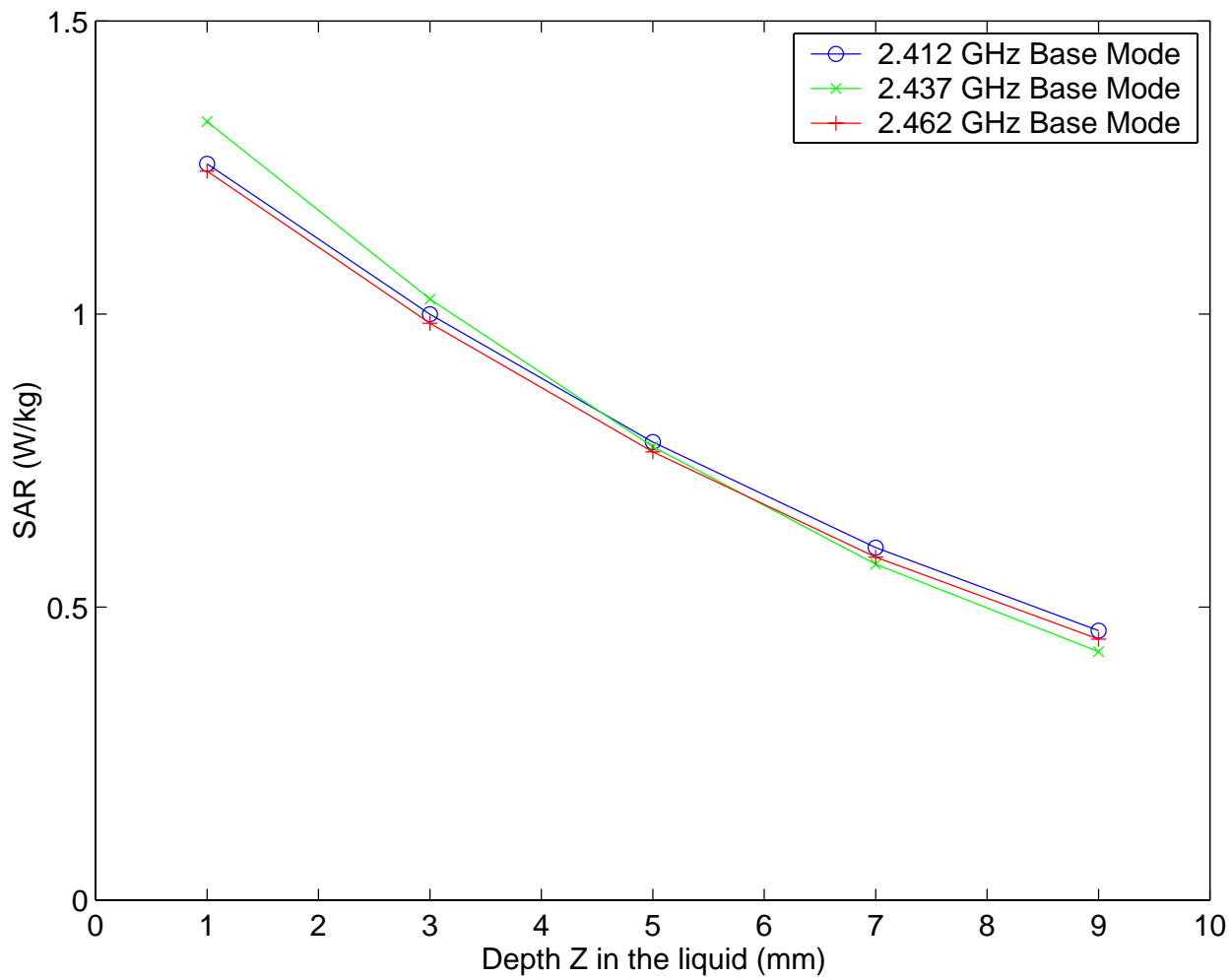


Fig. F-9. **Above-lap, Configuration 1. 802.11b band.** Plot of the SAR variation as a function of depth Z in the liquid for locations of the highest SAR for the 3Com Model SL-3040 Cardbus Card inserted into HP Pavillion host computer (from Tables E-31 to E-33).

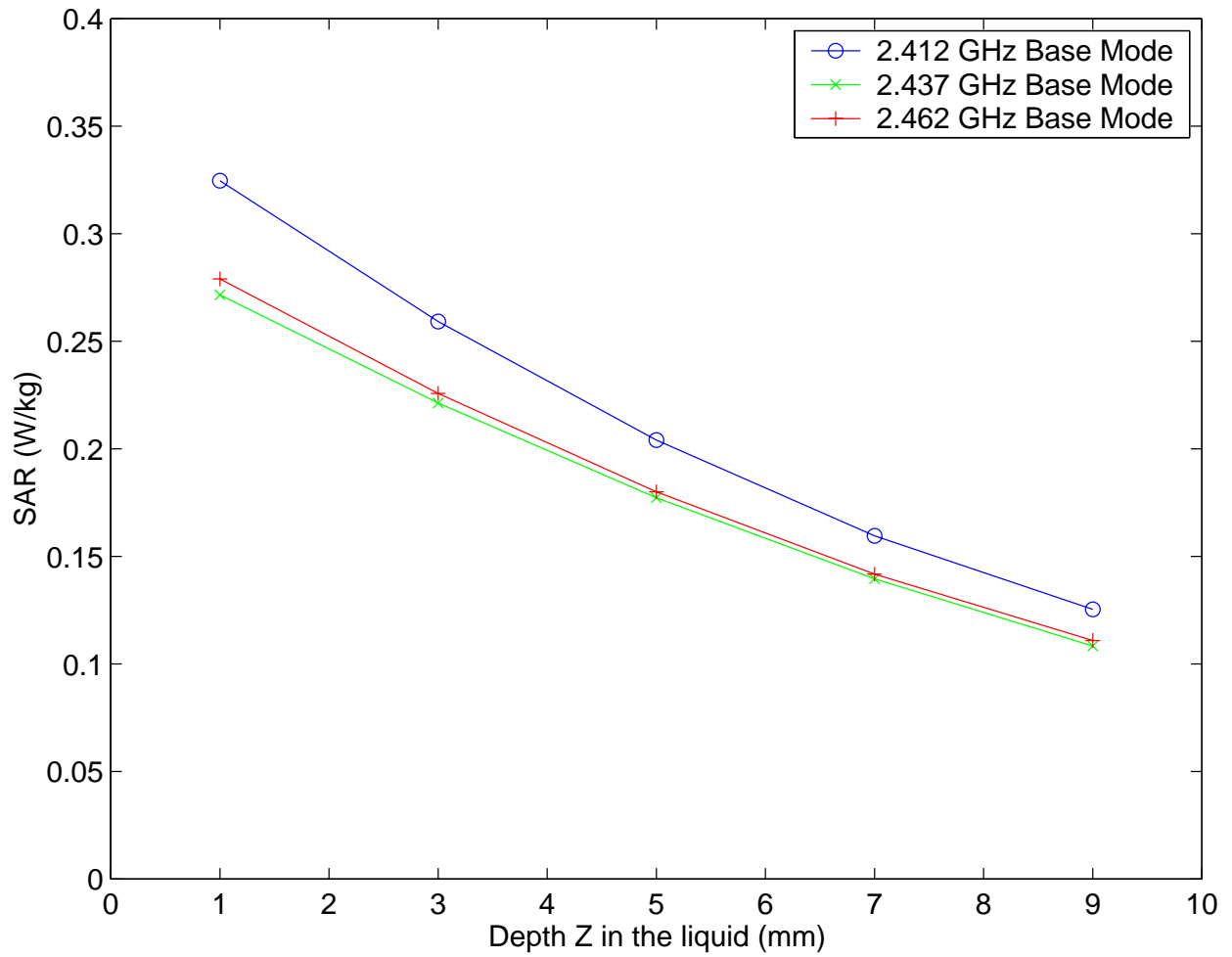


Fig. F-10. **Edge-on, Configuration 2. 802.11b band.** Plot of the SAR variation as a function of depth Z in the liquid for locations of the highest SAR for the 3Com Model SL-3040 Cardbus Card inserted into HP Pavilion host computer (from Tables E-34 to E-36).

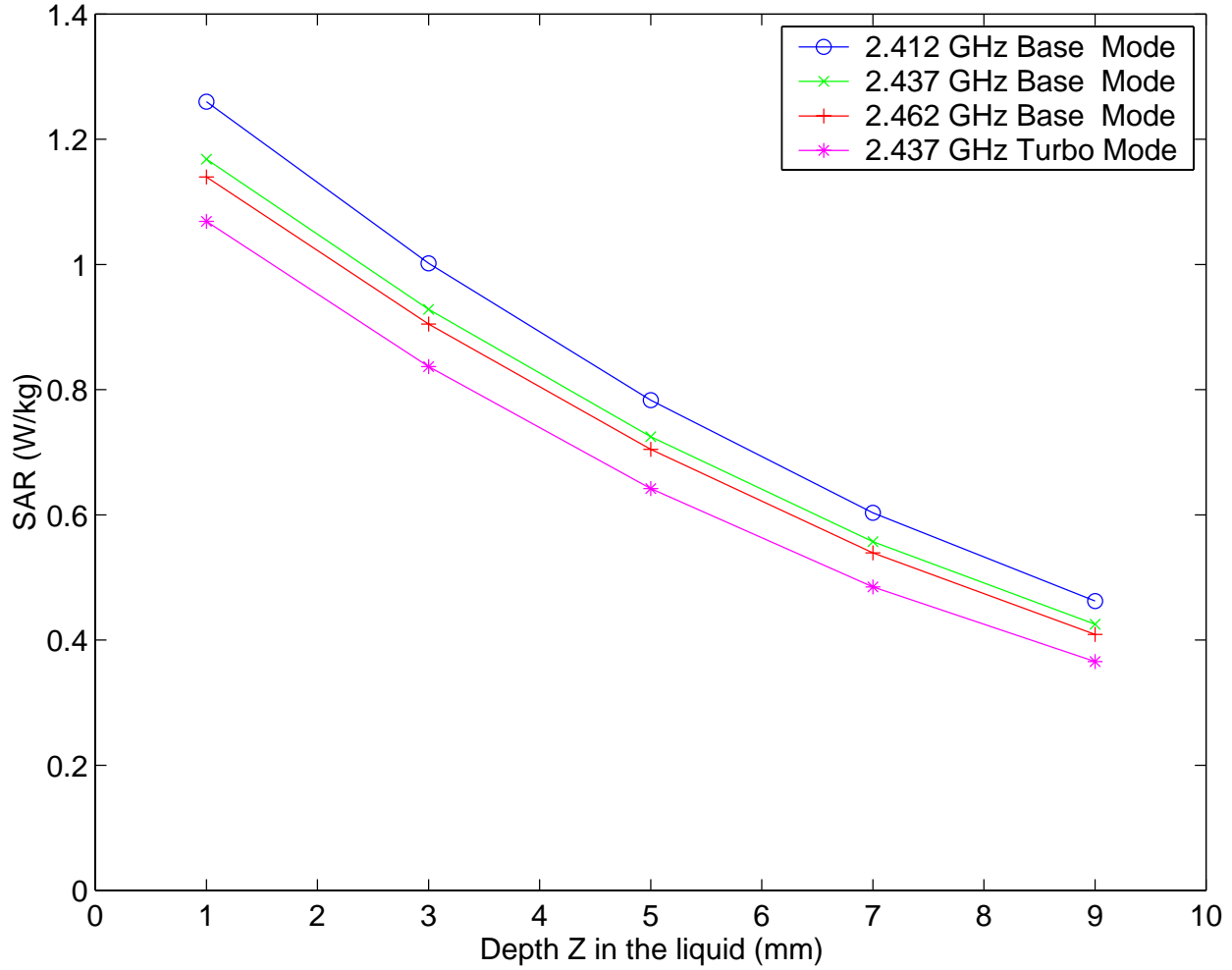


Fig. F-11. **Above-lap, Configuration 1. 802.11g band.** Plot of the SAR variation as a function of depth Z in the liquid for locations of the highest SAR for the 3Com Model SL-3040 Cardbus Card inserted into HP Pavillion host computer (from Tables E-37 to E-40).

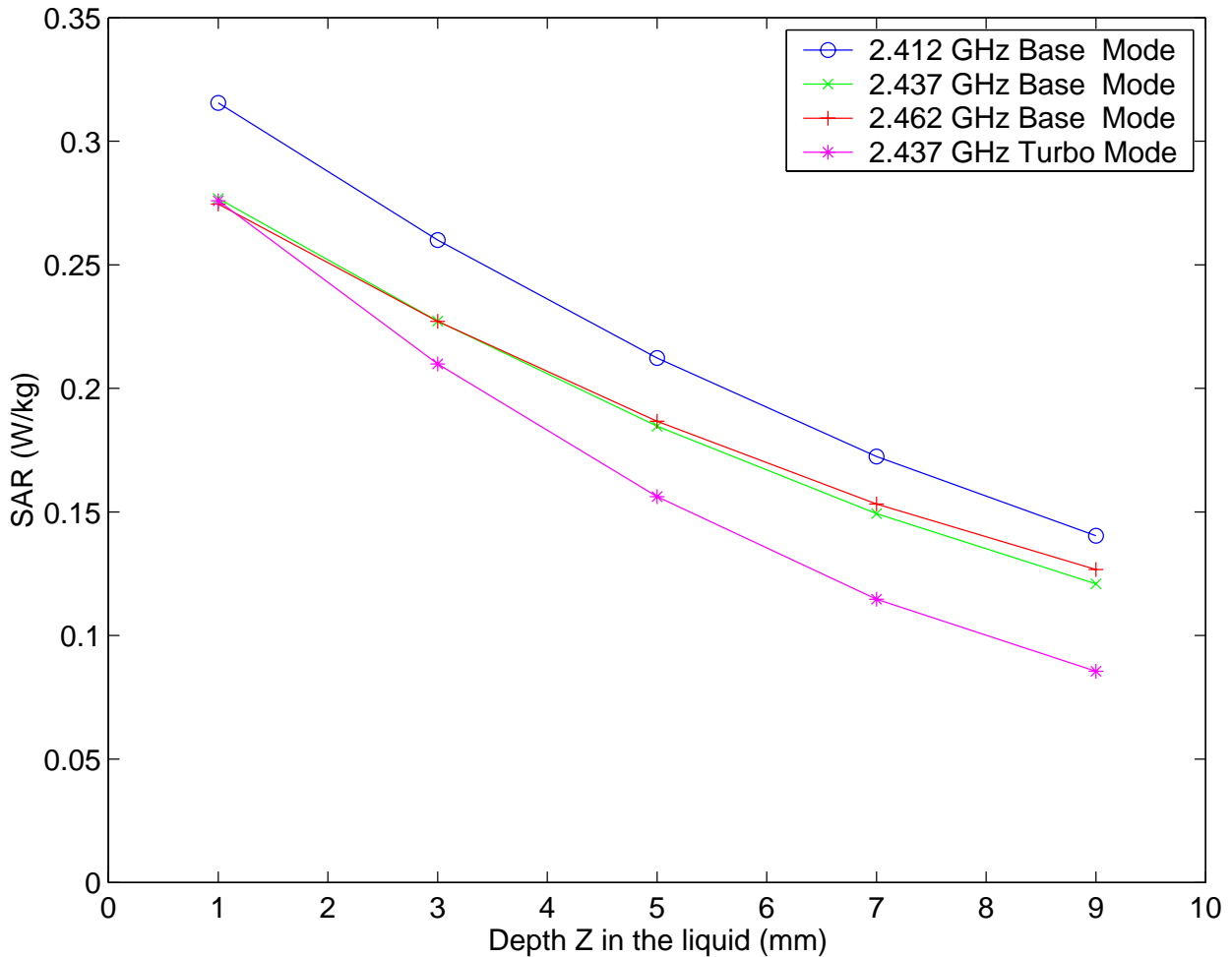


Fig. F-12. **Edge-on, Configuration 2. 802.11g band.** Plot of the SAR variation as a function of depth Z in the liquid for locations of the highest SAR for the 3Com Model SL-3040 Cardbus Card inserted into HP Pavilion host computer (from Tables E-41 to E-44).

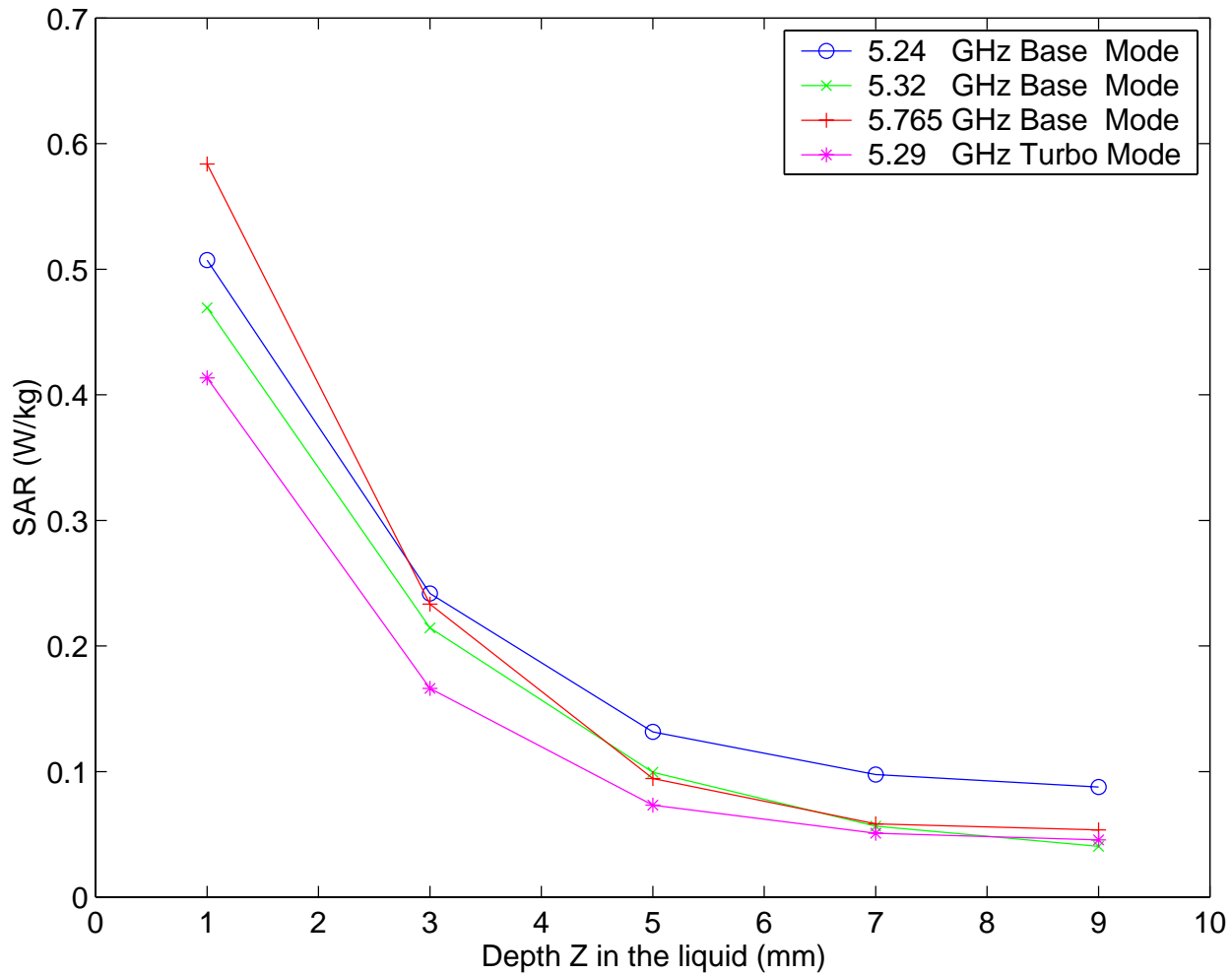


Fig. F-13. **Above-lap, Configuration 1. 802.11a band.** Plot of the SAR variation as a function of depth Z in the liquid for locations of the highest SAR for the 3Com Model SL-3040 Cardbus Card inserted into Dell Inspiron 4000 host computer (from Tables E-45 to E-48).

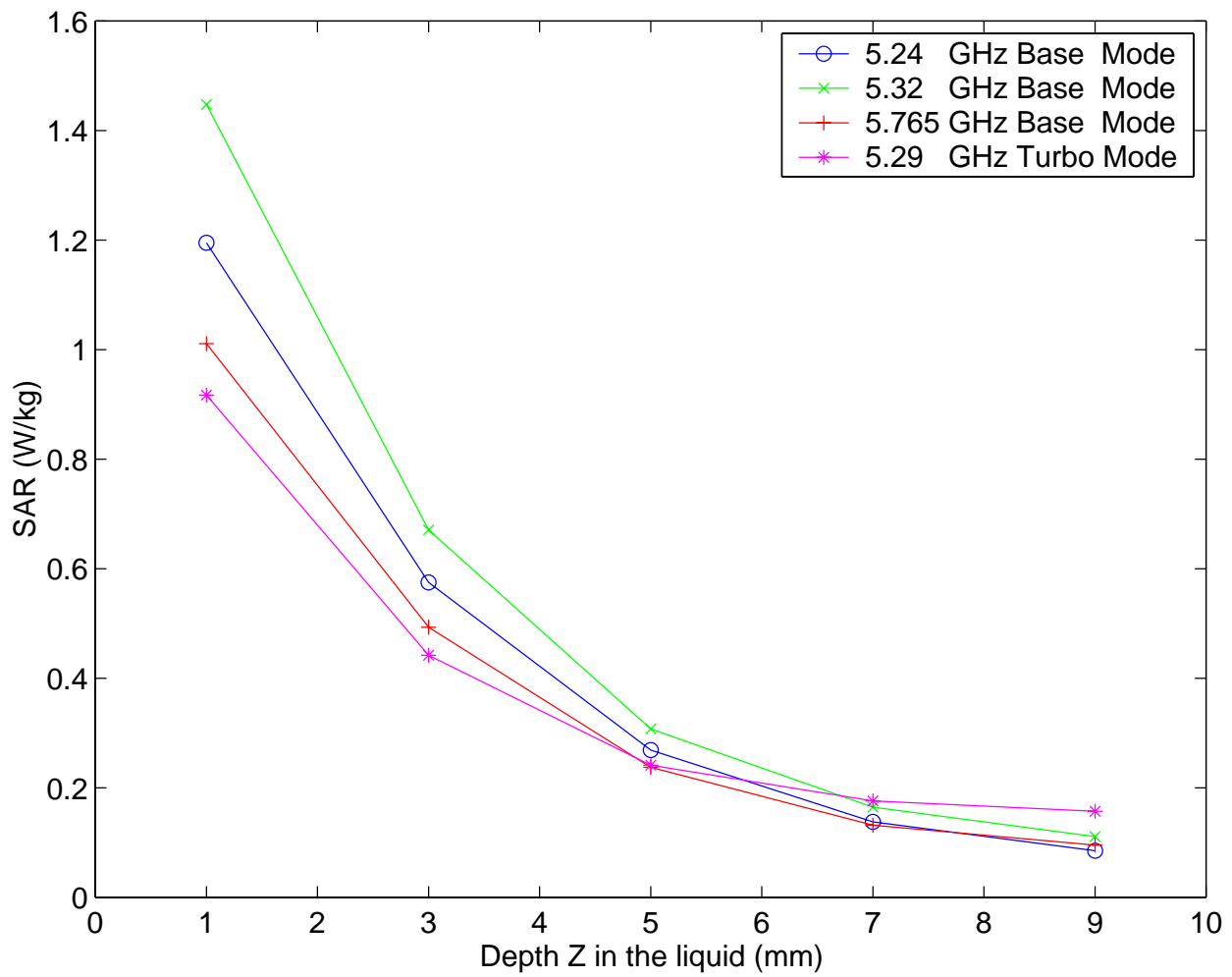


Fig. F-14. **Edge-on, Configuration 2. 802.11a band.** Plot of the SAR variation as a function of depth Z in the liquid for locations of the highest SAR for the 3Com Model SL-3040 Cardbus Card inserted into Dell Inspiron 4000 host computer (from Tables E-49 to E-52).

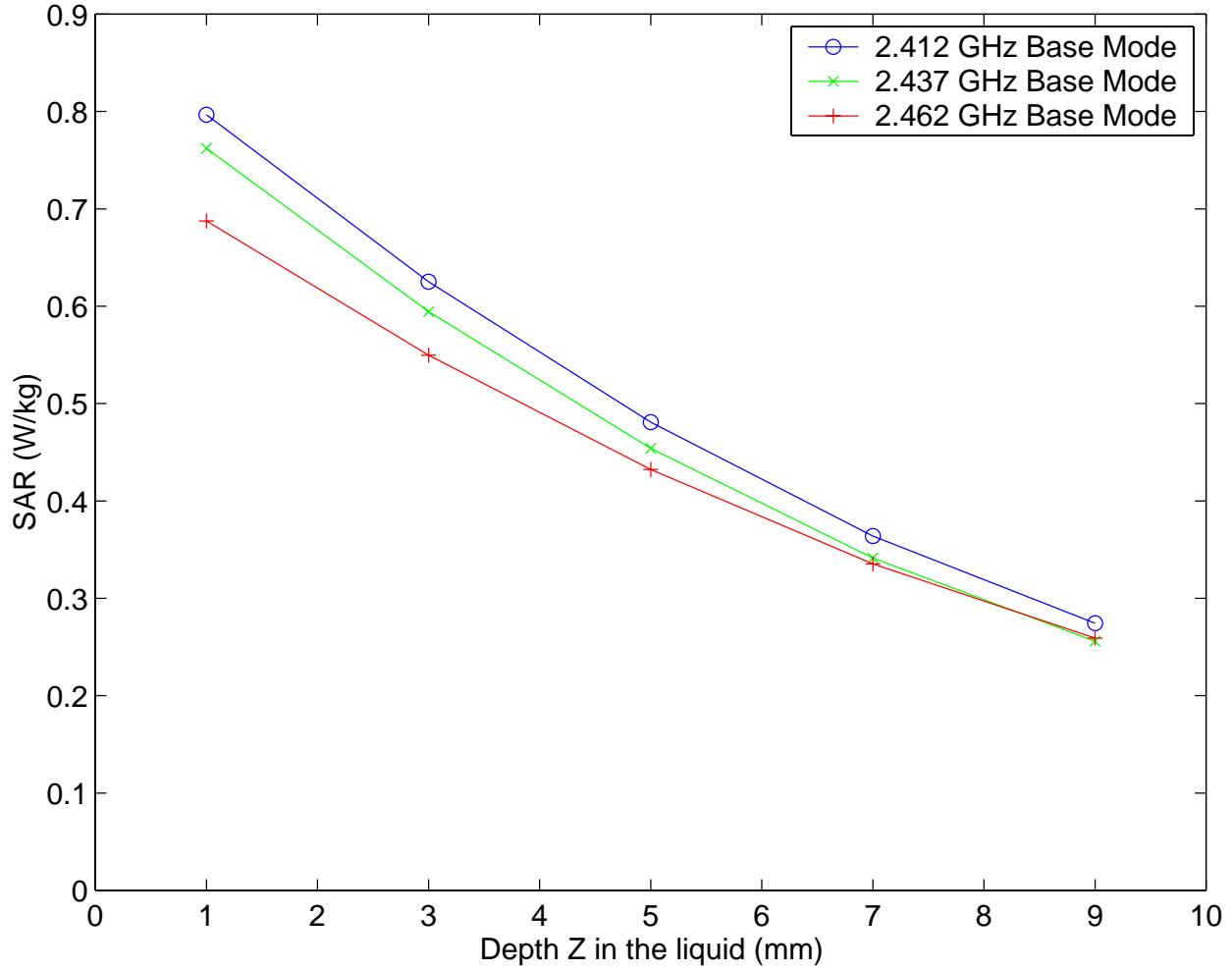


Fig. F-15. **Above-lap, Configuration 1. 802.11b band.** Plot of the SAR variation as a function of depth Z in the liquid for locations of the highest SAR for the 3Com Model SL-3040 Cardbus Card inserted into Dell Inspiron 4000 host computer (from Tables E-53 to E-55).

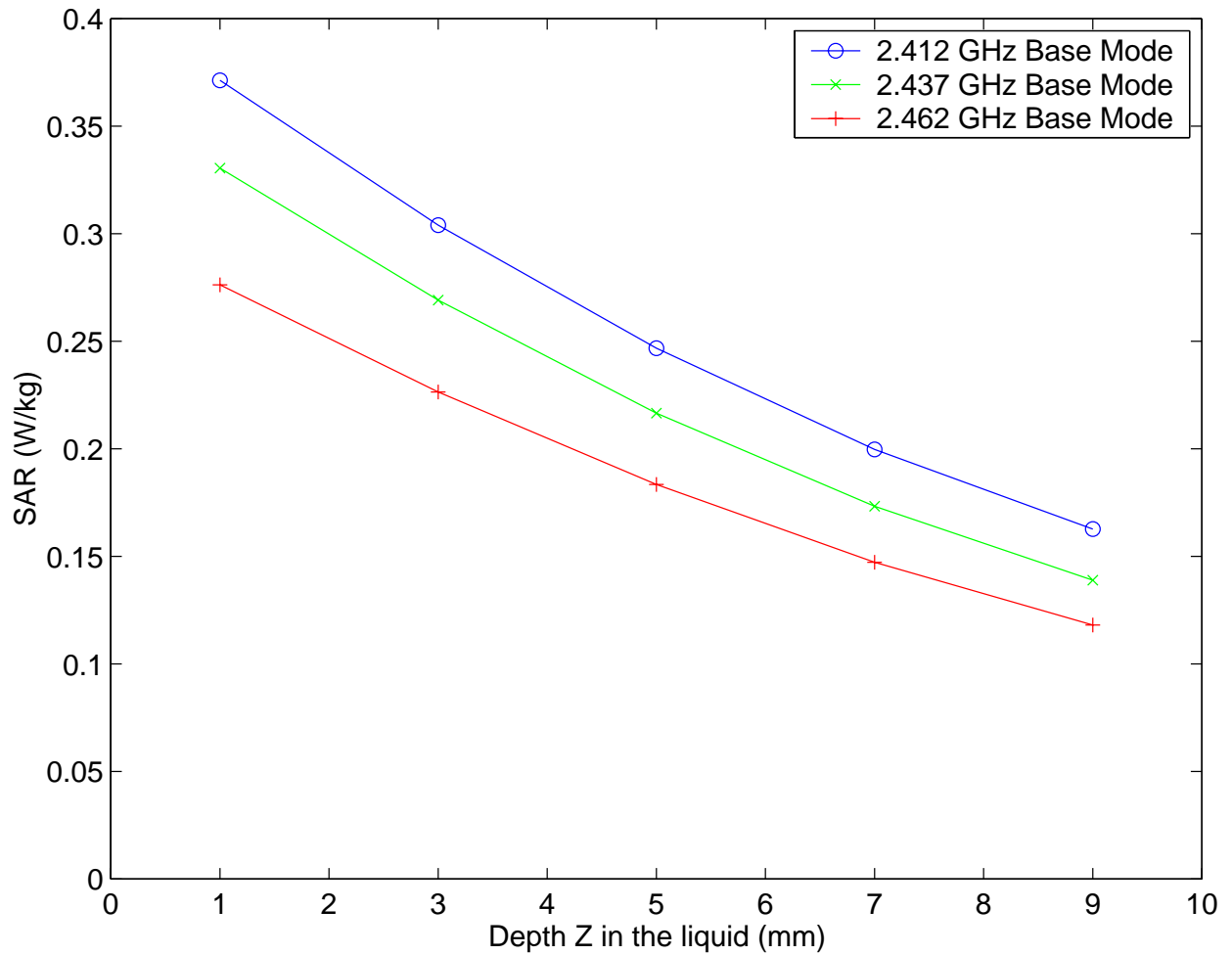


Fig. F-16. **Edge-on, Configuration 1. 802.11b band.** Plot of the SAR variation as a function of depth Z in the liquid for locations of the highest SAR for the 3Com Model SL-3040 Cardbus Card inserted into Dell Inspiron 4000 host computer (from Tables E-56 to E-58).

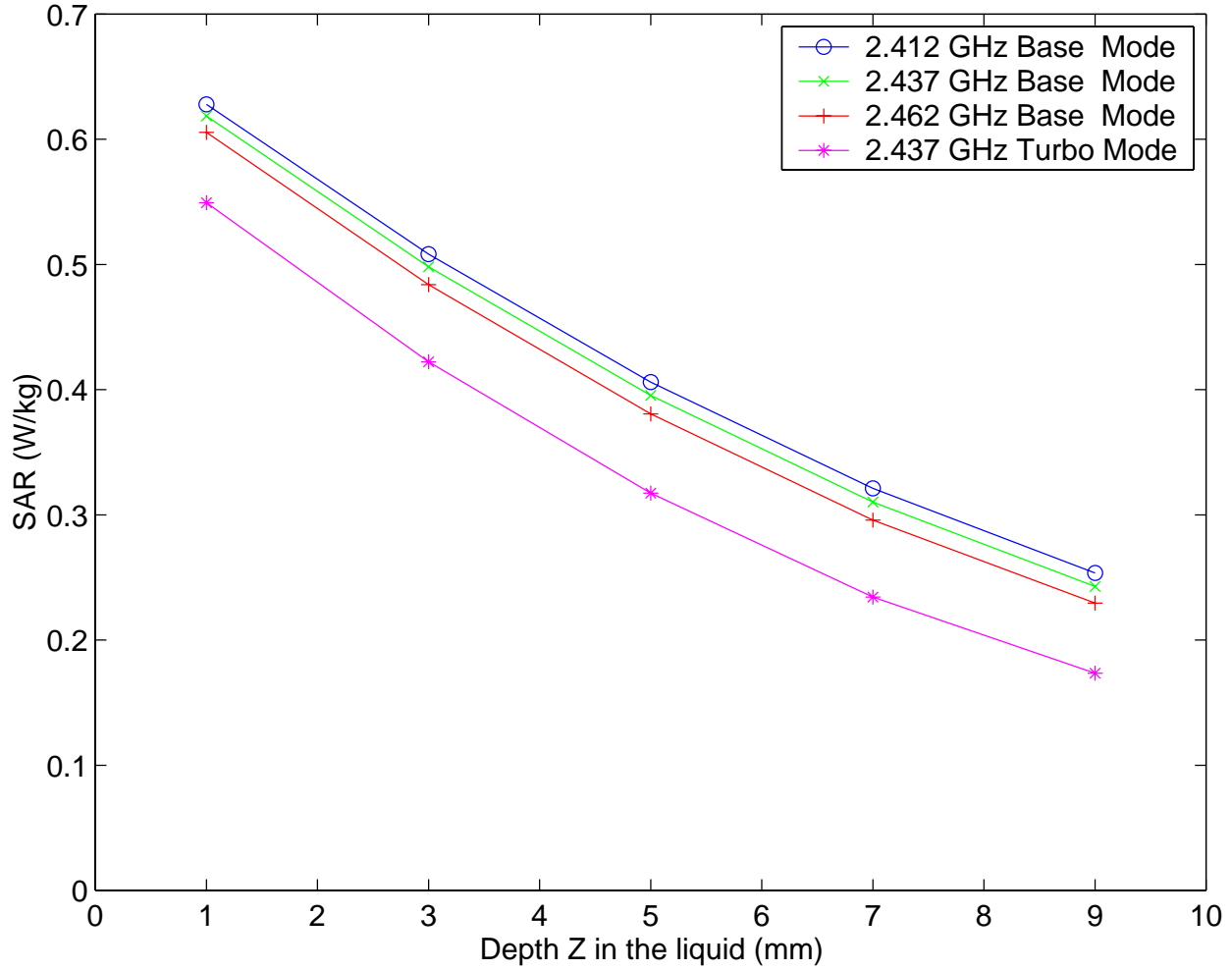


Fig. F-17. **Above-lap, Configuration 1. 802.11g band.** Plot of the SAR variation as a function of depth Z in the liquid for locations of the highest SAR for the 3Com Model SL-3040 Cardbus Card inserted into Dell Inspiron 4000 host computer (from Tables E-59 to E-62).

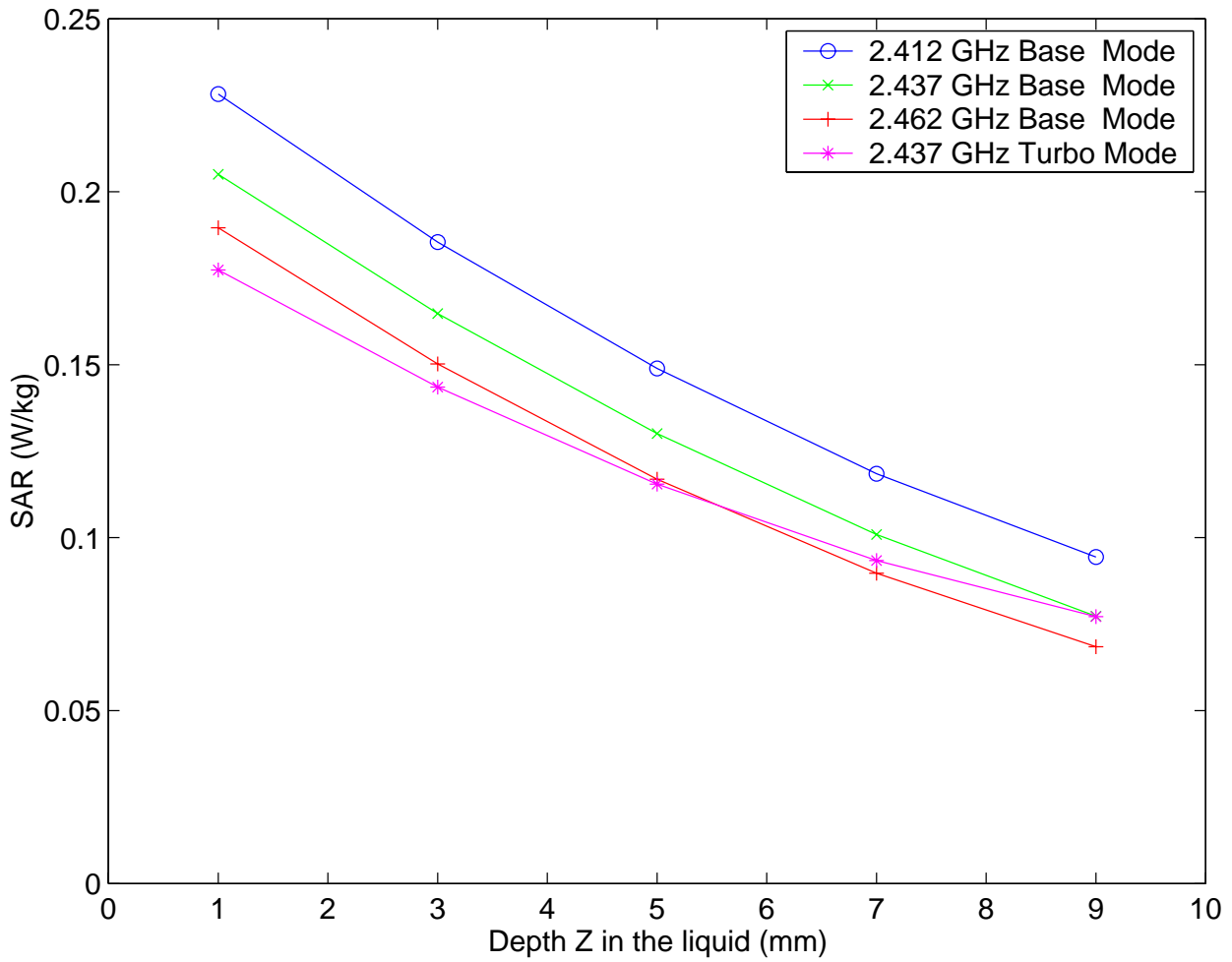


Fig. F-18. **Edge-on, Configuration 2. 802.11g band.** Plot of the SAR variation as a function of depth Z in the liquid for locations of the highest SAR for the 3Com Model SL-3040 Cardbus Card inserted into Dell Inspiron 4000 host computer (from Tables E-63 to E-66).